

R
152
26

YILDIZ TEKNİK ÜNİVERSİTESİ * FEN BİLİMLERİ ENSTİTÜSÜ

Elektromagnetik Yüzey Dalgasının
Sureksız Ortamlardaki Davranışı

Cavit Canbay
Doktora Tezi

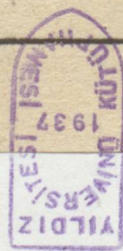
Sureksiz Ortamlardaki Elektromagnetik Yüzey Dalgasının
Davranışı

Ref
EHM
219
1985

YILDIZ ÜNİVERSİTESİ
GENEL KİTAPLIĞI

R 152

Kot : 26
Alındığı Yer : Fen. Bil. Enst.
Tarih : 30/3/1987
Fatura : -
Fiyatı : 1000 TL
Ayniyat No : 1/6
Kayıt No : 44762
UDC : 621.34 378.242
Ek :



UNSUZ
KULLANILAN - STİPİ
ÖZET
SUMMARY

ELEKTROMAGNETİK YÜZEY DALGASININ
SÜREKSİZ ORTAMLARDAKİ DAVRANIŞI VE
JEOFİZİK AMAÇLAR İÇİN UYGULANABILIRLİĞİ

1. BÖLÜM
1.1 - GİRİŞ
1.2 - RADAR DALGA
1.3 - FİZİKSEL İLKELER
1.4 - YÜZEY DALGASI İLE ELEKTRİKSEL ÇARACıTLERİN İLGİSİ
1.5 - KAYACAPLARDAKİ ELEKTRİKSEL VE ETRAK DEĞİŞİMİ
(SKIN-DEPTH)
2. BÖLÜM
2.1 - YÜZEY DALGASININ DÜZENLENMESİ (WAVE TILT)
2.2 - DALGA DAHİNESİNİN İLGİSİ
2.3 - ELEKTROMAGNETİK Dalganın Yatay Olarak Tabakalanmış
ORTamlarDaki Deltası
2.4 - DALGA EĞİMESİ
2.5 - ATE HODİNER DALGA EĞİMESİ
2.6 - DALGA EĞİME SINUSU
3. BÖLÜM
3.1 - İN HODİNDAKİ YÜZEY DALGASININ İLGİSİ
KARGISINDAKİ DAVRANIŞI
4. BÖLÜM
4.1 - ELEKTRİKSEL SABİTLERİN İLGİSİ İLE İLGİLİ OPTİMİM ÇÖZÜM YAKLAŞIMI
5. BÖLÜM
5.1 - SORUCLARIN TAKİT EDİLMESİ
5.2 - BİLGİSAYAR PROGRAMI
YAZARI ANİMAN KAYNAKLARI
ÖZGEÇMİŞ

İSTANBUL-1985



İÇİNDEKİLER

| | <u>SAYFA NO</u> |
|--|-----------------|
| ÖNSÖZ | II |
| KULLANILAN SİMGELER | III |
| ÖZET | VI |
| SUMMARY | VIII |
| 1. BÖLÜM | |
| 1.1 - GİRİŞ, ÇALIŞMANIN AMACI VE KAPSAMI | 1 |
| 1.2 - RADYO DALGALARININ KAYNAĞI | 3 |
| 1.3 - ELEKTROMAGNETİK DALGALARIN YAYILMA YOLLARI VE AUD | 8 |
| 1.4 - YÜZYEY DALGASI İLE ELEKTRİKSEL PARAMETRELERİN BULUNMASI | 14 |
| 1.5 - KAYAÇLARIN ELEKTRİK İLETKENLİĞİ VE ETKIN DERİNLİK (SKIN-DEPTH) | 16 |
| 2. BÖLÜM | |
| 2.1 - YÜZYEY DALGASININ DALGA EĞİLMESİ (WAVE TILT) | 21 |
| 2.2 - DALGA EĞİLMESİNİN İLKESİ | 21 |
| 2.3 - ELEKTROMANYETİK DALGALARIN YATAY OLARAK TABAKALANMIŞ ORTAMLARDAKİ DÄVRANIŞI | 22 |
| 2.4 - DALGA EĞİLMESİ (TM) | 26 |
| 2.5 - TE MODUNDA DALGA EĞİLMESİ | 33 |
| 2.6 - DALGA EĞİLMESİİNDE JEOFİZİK DEĞERLENDİRME | 36 |
| 3. BÖLÜM | |
| 3.1 - TM MODUNDAKİ YÜZYEY DALGASININ DÜSEY SÜREKSİZLİKLER KARŞISINDAKİ DÄVRANIŞI | 45 |
| 4. BÖLÜM | |
| 4.1 - ELEKTRİKSEL SABİTLERİN BULUNMASINDA OPTİMUM ÇÖZÜM YAKLAŞIMI | 52 |
| 5. BÖLÜM | |
| 5.1 - SONUÇLARIN TARTIŞILMASI | 58 |
| 5.2 - BİLGİSAYAR PROGRAMLARI | 61 |
| YARARLANILAN KAYNAKLAR | 65 |
| ÖZGELÇMİŞ | 68 |



KULLANTILAN SİMGELER

SİMGE

Sİ DİRME

NICELİK

R/L

Geçici ve menzeli tek toru jasam

YES

yes

R/L

Menzeli bir yasam huku

Ö N S Ö Z

Tez çalışmasının başlangıcında doktora yürütütcülüğünü üstlenen, önerileri ve yardımları, tartışmaları ile bana yön veren değerli hocam Prof.Haldun GÜRMEN, YÖK Oyesi seçilmesi sonucunda ayrılmak zorunda kalmıştı.Kendisine minnetle, teşekkürü borç sayıyorum. Prof.Haldun GÜRMEN'den sonra yürütütcülüğü üstlenen değerli hocam Doç.Tuncer KODAMANOĞLU ile yürüttüğüm bu çalışmada tecrübe, görüş, öneri ve bilgilerinden oldukça yararlandım. Kendilerine çok teşekkür ederim. Ayrıca tez çalışması süresince jeofizik görüş açımın genişlemesinde katkıda bulunan uygulama, ders, seminer ve arazi çalışmalarının bazlarına katılmama olanak tanıyan, bilgi ve kaynaklarından yararlandığım değerli bilim adamları İ.T.Ü.Jeofizik bölümü öğretim üyeleri Prof.Dr.Nezihi CANITEZ, Doç.Dr. Ahmet ERCAN'a yine yardımlarını esirgemeyen Yıldız Üniversitesi Elektronik Bölümü mesai arkadaşlarına ve hesapların yapılmasına olanak sağlayan Yıldız Üniversitesi E.H.B.Araştırma Merkezine teşekkürü borç bilirim.

Cahit CANBAY

Kış - Kasım - 1985

İşte in Fazla bir şebeke atsayı
Antene olup uzaktı
Eğerin yayılma düzleme dik dalga
(yatay polarize)
Hacettek yayılma düzleme dik dalga
(düzey polarize)
Seyrsel uzaklığın genişliği
Herhangi bir doğrultuda yüzeyin
sevrsel aralıkları



KULLANILAN SİMGELER

| <u>SİMGE</u> | <u>SI BİRİMİ</u> | <u>NİCELİK</u> |
|-------------------------------|------------------|---|
| \vec{A} | Wb/m | Gecikmiş manyetik vektör potansiyel |
| $\vec{B} = \mu H$ | Tesla | Manyetik akı yoğunluğu |
| D | C/m ² | Elektrik yer değiştirme (Elektriksel akı yoğunluğu) |
| $dB = 10 \log P_2/P_1$ | | Desibel |
| E | V/m | Elektrik alan şiddeti |
| e=2.71828 | | e sayısı |
| exp (x) | | e ^x |
| erfc | | Yanılıgı fonksiyonu |
| f | Hz | Frekans |
| F = A | | Sommerfeld azalma fonksiyonu |
| H | A/m | Manyetik alan şiddeti |
| J = -1 | | Birim sanal sayı |
| I | Amp. | Akım şiddeti |
| \vec{J} | A/m ² | Akım yoğunluğu |
| \vec{J}_c | A/m ² | İletkenlik akım yoğunluğu |
| J_d | A/m ² | Yerdeğiştirme akım yoğunluğu |
| K _m | Ohm | Karakteristik dalga emp. |
| L | m | Anten uzunluğu |
| $N = (\epsilon_r - JX)^{1/2}$ | | Kırılma endisi |
| P | | Poyinting vektörü |
| R _{II} | | TM için Fresnel yansıtma katsayıısı |
| R ₁ | | TE için Fresnel yansıtma katsayıısı |
| r | m | Antene olan uzaklık |
| TE | | E alanı yayılma düzlemine dik dalga (yatay polarize) |
| TM | | H alanı yayılma düzlemine dik dalga (düşey polarize) |
| P _" | | Sayısal uzaklığın genliği |
| w _e | | Herhangi bir doğrultuda yayılma için sayısal uzaklık |



| <u>SİMGE</u> | <u>SI BİRİMİ</u> | <u>NİCELİK</u> |
|---|------------------|--|
| b | Derece veya Rd | Sayısal uzaklığın fazı |
| t | sн | Zaman |
| W_τ | kW | Anten gücü |
| Z_0 | Ohm | Transmisyon hattının karakteristik empedansı |
| α | Np/m | Sönüm sabiti |
| β | Rd/m | Faz sabiti |
| γ | | Yayılma sabiti |
| δ_τ | m | Tam etkin derinlik |
| δ | m | Yaklaşık etkin derinlik |
| ϵ | F/m | Mutlak dielektrik sabiti |
| $\epsilon_0 = (1/36\pi) \times 10^{-9}$ | F/m | Boşluğun mutlak dielektrik sabiti |
| $\epsilon_r = \epsilon / \epsilon_0$ | | Göresel dielektrik sabiti |
| λ | m | Dalga boyu |
| μ | H/m | Mutlak manyetik geçirgenlik |
| $\mu_0 = 4\pi \times 10^{-7}$ | H/m | Boşluğun manyetik geçirgenliği |
| μ_r | | Göresel manyetik geçirgenlik |
| η | Ohm | Gerçek empedans |
| W | | Dalga eğilmesi (Wave tilt) |
| ρ | Ohm | Özdirenç |
| $\sigma = 1/\delta$ | mho/m (S/m) | Öz iletkenlik |
| ϕ | Derece veya Rd. | Azalma fonksiyonunun fazı |
| $\pi = 3.1415926$ | | Pi sayısı |
| σ | C/m ³ | Serbest yük yoğunluğu |
| $\omega = 2\pi f$ | Rd/sн | Açısal hız |
| Q | | Düzelme çarpanı |
| ∇ | | Del (Nabla) operatörü |
| $\nabla \phi$ | | ϕ nin Gradyenti |
| $\nabla \cdot \vec{A}$ | | \vec{A} ün diverjansı |
| $\nabla \times \vec{A}$ | | \vec{A} ün rotasyoneli |
| ∇^2 | | Laplasyen |
| Δ | Ohm | Yüzey empedansı |



| SİMGİ | SI BİRİMİ | NİCELİK |
|---|-----------|---|
| R_r | Ohm | Anten ışıma direnci |
| $Si(x) = \int_0^x \frac{\sin u}{u} du$ | | Sinüs tümlemesi |
| $Ci(x) = - \int_x^{\infty} \frac{\cos u}{u} du$ | | Cosinüs tümlemesi |
| $C = 0.5772157$ | | Euler sabiti |
| W_{OTM} | | TM için homojen yarı uzay dalgası eğilmesi |
| W_{OTE} | | TE için homojen yarı uzay dalgası eğilmesi. |



BÜLÖM - I

GİRİŞ

CALIŞMAKİ ARAÇI

ÖZET

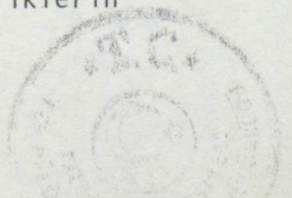
Elektromanyetik dalgaların yayılmasına ilişkin araştırmalar 20. yüzyılın başından beri sürdürmektedir. Yapılan çalışmaların çoğu, iletişimdeki sorunları çözmeye yönelikti. Son yıllarda ise meteoroloji, uzay bilimleri, jeofizik gibi bilim dallarını elektromagnetiksiz düşünmek olanaksız gibi oldu. Özellikle Jeofizik bilim dalı elektriksel olaylardan oldukça yararlanmaktadır. Etkin derinlik sorunu nedeniyle ya doğru akım yöntemleri ya da çok alçak frekans (CAF) elektromanyetik yöntemler kullanılmaktadır.

Bu tezin birinci bölümünde, orta ve daha alçak frekanslarda kullanılabilen ve ancak yeryüzünün örtü tabakasının elektriksel parametrelerinin bulunmasına olanak veren alanın uzaklıkla değişimi (AUD) yöntemi incelenmiştir. Tek başına uygulandığında, sadece örtü tabakasının elektriksel parametreleri hakkında bilgi veren (AUD), dördüncü bölümde açıklandığı gibi elektrik alanın yatay bileşeninin iki ayrı frekansta ölçülmesiyle, dalga eğilmesi yöntemiyle birlikte alt tabakanın elektriksel parametrelerinin bulunmasına olanak sağlayabileceği gösterilmiştir.

İkinci bölümde dalga eğilmesi kavramı yüzey dalgasına uygulanarak yatay süreksızlıkların ve tabakaların elektriksel özelliklerinin, Q_z düzeltme çarpanının tam ifadesinin alınması ile geniş bir frekans aralığında (etkin derinlik sınırlaması dışında) hassas olarak bulunabileceği alınan matematik modeller üzerinde yapılan hesaplamalarla açıklanmıştır.

Yatay süreksızlıkların bulunmasında, dalga eğilmesi yöntemi birden çok frekansta ölçme yapmayı gerektiriyorsa da yeryüzüne yakın olarak yerleşmiş yerey süreksızlıkların ortaya çıkarılması için tek bir frekansta ölçme yapmanın yeterli olabileceği gösterilmiştir.

Üçüncü bölümde düşey süreksızlıklar nedeniyle dalga eğilmesinde oluşan kısmen duran dalgaların değerlendirmesile bu süreksızlıkların

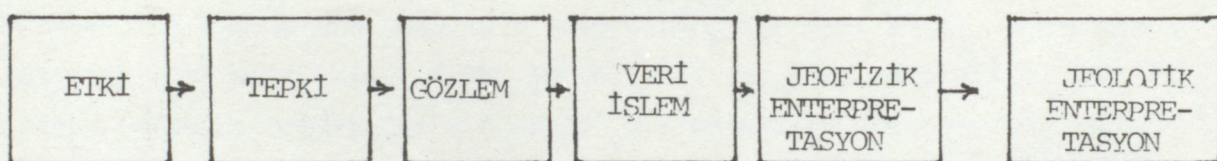


BÖLÜM - 1

GİRİŞ

1.1. ÇALIŞMANIN AMACI VE KAPSAMI

Yer fiziğinin amacı yerin iç yapısını, kabuk yapısını, atmosfer yapısını ve bunları oluşturan oluşukların dağılımlarını, davranışlarını, hareketlerini nedenlerine eğilerek fiziksel yöntemlerle açıklığa kavuşturmak tır. Araştırmalarda kullanılan kaynaklar doğal ve yapay kaynaklar olabilir, burada önemli olan, doğal ya da yapay kaynak olsun yere bir etki yapıp, etkiye karşın yerin tepkisini algılayarak değerlendirmektir. İzlenecek yol Çizelge-I'de görüldüğü gibi olacaktır.



Çizelge - I

Yukarıda görüldüğü gibi zincirin ilk halkası ETKİ'dir. Doğal etki kaynakları isminden de anlaşılacağı gibi bizim tarafımızdan yönlendirilemezler. Bunlar yerküre dışı gök cisimlerinin güneş, ay ve diğer gök cisimlerinin maddesel çekim, radyasyon ve bu radyasyonun manyetosferde neden olduğu elektriksel olaylar (manyetotellürik etkiler), iyonosferde neden olduğu elektriksel olaylar (iyonosfer içinde iyon dağılımının değişmesine neden olan etkiler), yerin manyetik alanında, yeryüzünün elektriksel yapısında değişimlere, yerin iç yapısındaki değişimlere, depremlere, oluşukların özdirençlerinin, elektriksel ve manyetik özelliklerinin değişmesine, ısı akısı değişimlerine vb. olaylara yolaçan doğal etki kaynaklarıdır. Yapay etki kaynakları ise yer ve zaman sınırlaması gerektirmeyen, tarafımızdan yönlendirilebilir ve ayarlanabilen etkilerdir. Etki türü ne olursa olsun yukarıdaki zincir oluştururken kullanılan yöntemler ana hatları ile sınıflandırılırsa Çizelge - 2 'deki görünüm elde edilir.



ortaya çıkarılabilceği gösterilmiştir.

Bu tezde verici antenin düşey polarize modunda çalıştığı, topografyanın ve süreksizliklerin düzlemsel olduğu kabul edilmiştir.



which develop due to reflections from those discontinuities.

In this thesis is the a S U M M A R Y used to be operating in the vertical polarization mode and the topography and discontinuities all the time of

Researches on electromagnetic wave propagation have been continuing since the beginning of the century. Most of the work so far done has been concerned with communication problems. In recent years, however, such areas as meteorology, geophysics and space technology also have become inseparable from the science and means of electromagnetics. Of these, geophysics in particular has immense scope for its applications, although the methods currently in use are confined only to those of direct current and very low frequency (VLF) owing to limitations imposed by the skin-depth problem.

The first section of the thesis looks at the change-of-field-by-distance (CFD) method, which can be employed at medium wave and lower frequencies and is applicable in determining the electrical parameters of only the uppermost layer of the earth. That is, when used alone, the CFD method helps determine the electrical parameters of the covering layer only. However, as presented later in the fourth section, the similar parameters of the lower layer also could be found if the horizontal component of the electrical field were measured on at least two different frequencies.

In the second section, a verification is given through computations on mathematical models that, by applying the wave-tilt concept to surface waves and by employing the expression of the correction factor Q_y in its full form, the horizontal discontinuities and electrical parameters of the layers can be determined within a wide frequency range and with precision.

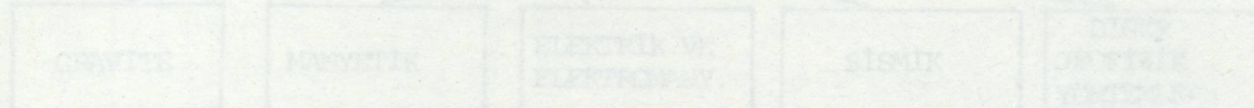
It is further shown that, whereas the wave-tilt method requires measurements at more than one frequency for detecting horizontal discontinuities, a single frequency will be sufficient in cases where discontinuities are local and close to the surface.

The third section is devoted to how vertical discontinuities could be located by making use of the partially standing waves in the wave-tilt



which develop due to reflections from those discontinuities.

In this thesis the antenna was assumed to be operating in the vertical polarization mode and the topography and discontinuities all to be of planar form.

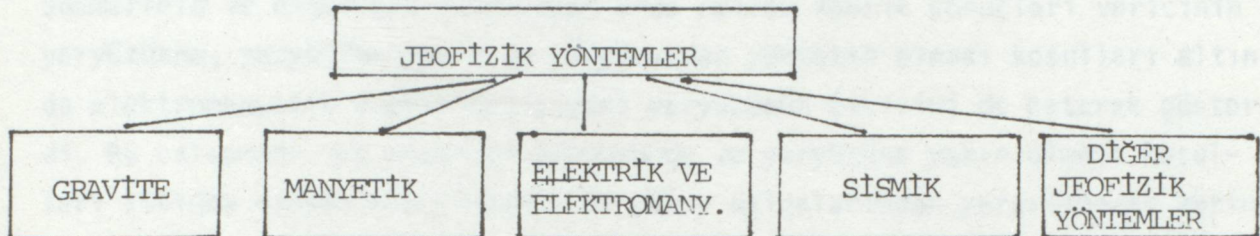


Cizelge - 2

Bu yöntemler arasında elektrik ve elektromanyetik yöntemler-ğiderler genel kazançları açısından en iyi yöntemdir. Elektronik, bilgi işlem, seismik gibi teknolojilerdeki hızlı gelişmeler ve ekonomik olumsuz nedeniyile bu yöntemleri kullanmaya hayatı artırmaktır. Verilen devrin tabakalarının arazideki etkin derinlik serüveni nedeniyile ya da bu teknik rezistivite, doğal potansiyel, doğa potansiyeli, IP (1) ya da çok yüksek frekanslı akıntılar (Kavşakpotansiyeli) (2), yapay kavşaklar elektrik ve elektromanyetik (3), yöntemleri kullanılır. Bu yöntemler sadece kaz delme, çökme, bilyül, çapta tel surarılarını kullanır, kuru aşın ve çok sayıda eleman kullanma işlemlerini gerekten giderler. Ancak sadece (1-3) elektrik-elektromanyetik yöntemlerinden radyo-aktivitelerini yöneten delme, çökme ve gibi çevreyi bozucu etkisi olmayan, yer-yleme ve kim-katmacların, jeolojik fay zonlarının, fletkenlik farklılıklarının, anten etrafına verseninin, çukur, kum deposunun, çözelil seziklerde yeraltı salıncaklarının, fletkeninde yer etkenliğinin etkisini hâlde yarerlik etmektedir. Kaynaklı ve yoncalı nehir akarsa olsun Jeofizik problemlerinin çözümünde fiziksel problemlere göre önemli faktörler varır, fiziksel problemlerde bilinmeyen parametreler sayesin genellikle denklemler sayısından fazla veya çok az kısıtlı durumlarda esterdir. Bu nedenle bulutları gerkenen prosesin Shreve-Kausinski (4) verilerin çok fazla işlenmesi, özümde en fazla matematik modelde olusurken de gerekmektedir (4).

Verilen çok elektrik-manyetik delme aramalarına ilişkin problemler, 1960'lı decade'da tespit edilmiştir. Völkl ve Van Den Berg (5) tarafından da Sommerfeld'in bulduğu etkisizlik faktörlerinden haberdar edilmiştir (6). Ancak bulunan faktörlerin sınırlılığından dolayı bu etkisizlik faktörlerini daha getirici bir Burton'un çözümü ile ilişkili olmak üzere





Çizelge - 2

Bu yöntemler arasında elektrik ve elektromanyetik yöntemler giderek önem kazanmaya başlamış son yıllarda elektronik, bilgi işleme, değerlendirme araçlarındaki hızlı gelişmeler ve ekonomik olması nedeniyle bu yöntemleri kullanmaya meyli arttırmıştır. Yerin derin tabakalarının araştırılmasında etkin derinlik sorunu nedeniyle ya doğru akım (rezistivite, doğal potansiyel, eş potansiyel, IP) (1) ya da çok alçak frekanslı akımlar (Manyetotelliürik) (2), yapay kaynaklı elektrik ve elektromanyetik (3), yöntemler kullanılır. Bu yöntemler çoğu kez delme, çakma, büyük çapta tel sargılarını kullanma, kuyu açma ve çok sayıda eleman kullanma işlemlerini gerektirir. Ancak yüzey (sığ) elektrik-elektromanyetik yöntemlerinden radyo dalgaları yöntemi delme, çakma vb. gibi çevreyi bozucu etkisi olmayan, yer-yüzüne yakın katmanların, jeolojik fay zonlarının, iletkenlik farklılıklarının, anten oturtma yerlerinin, çakıl, kum depolarının, çölsel arazilerde yeraltı sularının, iletişimde yer iletkenliğinin etkisini bulmada yararlı olmaktadır. Kaynağı ve yöntemi ne tür olursa olsun jeofizik problemlerin çözümünde fiziksel problemlere göre önemli farklar vardır, fiziksel problemlerde bilinmeyen parametre sayısı genellikle denklem sayısından fazla veya çok az rastlanır durumlarda eşittir, bu nedenle bulunması gereken parametreye kavuşmak için verilerin çok iyi işlenmesi, çözüme en iyi uyan matematik modelin oluşturulması gerekmektedir. (4)

- Vericiden çıkan elektromanyetik dalgaların yayılmasına ilişkin problemler 1909'da Sommerfeld tarafından çözülmüş, Veyl ve Van Der Pol tarafından da Sommerfeld'in bulduğu ifadelere farklı yöntemlerden hareketle erişilmiştir (5). Ancak bulunan ifadelerin mühendislikte kullanılabilir hale getirilmesi Norton'un çalışmaları ile olanaklı olmuştur.



Norton 1935-1941 yılları arasında yayınladığı bir dizi makalelerle Sommerfeld ve diğerleri tarafından elde edilen teorik sonuçları vericinin yeryüzünde, yeryüzüne yakın ve yeryüzünden yüksekte olması koşulları altında elektromanyetik alanın değişimini yeryüzünün etkisini de katarak gösterdi. Bu çalışmada ise antenler yeryüzünde ve yeryüzüne yakın olması koşulları altında oluşan elektromanyetik yüzey dalgalarından yararlanarak yerin elektriksel parametrelerinin bulunması problemine geniş açıdan bakılmış, yeryüzündeki hem yatay hem düşey süreksızlıkların birlikte olması veya tek başına birinin olması ya da hiç süreksızlık olmaması koşullarında alan değişimlerini dolayısıyla bu alan değişimlerinden farklı biçimlerde (alanın uzaklıkla değişimi, dalga eğilmesi, girişim saçakları) yöntemler uygulayarak yerin elektriksel parametrelerinin bulunması problemine kullanılabılırlik sınırları içinde uygulanabilen yararlı ifadeler elde edilmiştir. Sonuçlar matematiksel modeller kullanılarak değerlendirilmiştir. Çalışmada baştan sona kadar elektromanyetik dalganın düşey polarize (TM) modunda olduğu, yerin elektriksel parametrelerinin süreksızlık sınırları dışında homojen, izotrop ve magnetik olmayan ortamlar oluşturduğu kabul edilmişdir. Bu bölüm içinde yüzey dalgalarının oluşumu, etkili olduğu bölgelerin sınırları, gerçeklediği bağıntılar, yer değiştirmeye akımlarının da göz önüne alındığında (yayın frekansı aralığının orta ve uzun dalga frekans bandında olduğu düşünülürse) tam etkin derinlik sorunu, ikinci bölümde dalga eğilmesinin (Wave tilt) yerin tek düzeye yarı uzay kabul edilmesi, yatay tabakalı kabul edilmesi koşullarında, üçüncü bölümde dalga eğilmesinin düşey süreksızlıklar ve yerel süreksızlıkların bulunması koşullarındaki davranışını, dördüncü bölümde ise yatay ve düşey süreksızlıkların birarada bulunması koşullarını içeren ve gerçekleyen karışılık bağıntılar elde edilmiş sayısal sonuçlar matematik modeller üzerinde denenmiştir. Çıkarılan bağıntılar radyo yayın bandında kullanılabilmesiyle birlikte her frekans aralığında hiç bir ihmäl yapmaya gerek olmadan kullanılabilecek dolasıyla iki ile sınırlı tutulmuş tabaka sayısı arttırlabilecektir. Ancak yayın bandında çalışılması halinde yöntemlerin verimliliğini arttırmak için iletken olmayan ortamlarda çalışılması gerekecektir.

1.2. RADYO DALGALARININ KAYNAĞI

Radyo dalgalarının kaynağı antenlerdir, antenlerin elektriksel özelliklerinde değişim yapılarak Maxwell denklemleri gereği elektrik ve manye-

tik alanların karşılıklı birbirini oluşturması sonucu elektromanyetik dalgalar oluşur. Antenlerin ışına alanlarını bulmada başlangıç çoğu problemlerde olduğu gibi Maxwell denklemeleridir. Maxwell denklemeleri :

$$\vec{\nabla} \times \vec{E} = - \frac{\partial \vec{B}}{\partial t} \quad (1.1)$$

$$\vec{\nabla} \times \vec{H} = \vec{J}_c + \frac{\partial \vec{D}}{\partial t} \quad (1.2)$$

$$\vec{\nabla} \cdot \vec{D} = \rho \quad (1.3)$$

$$\vec{\nabla} \cdot \vec{B} = 0 \quad (1.4)$$

şeklinde yazılabilir. Alanların zamanla değişimi koşullarında

$$\vec{B} = \vec{\nabla} \times \vec{A} \quad (1.5)$$

bağıntısını gerçekleyen, tanımlanan bölge içinde ikinci dereceden kısmi türevleri hiz bir \vec{A} vektörü olmak üzere elektrik alanı

$$\vec{E} = - \vec{\nabla} V - \frac{\partial \vec{A}}{\partial t} \quad (1.6)$$

V skaler potansiyeli ve \vec{A} manyetik vektör potansiyeli aracılığı ile bulunabilir. (1.5), (1.6) ve Maxwell denklemeleri kullanılarak,

$$\vec{\nabla} \cdot \vec{A} = - \epsilon \mu \frac{\partial V}{\partial t} - \sigma \mu V \quad (1.7)$$

(1.7) Lorentz koşulu altında \vec{A} vektör potansiyeli ve V skaler potansiyeli

$$\nabla^2 \vec{A} - \epsilon \mu \frac{\partial^2 \vec{A}}{\partial t^2} - \mu \sigma \frac{\partial \vec{A}}{\partial t} = - \mu J_V \quad (1.8)$$

$$\nabla^2 V - \epsilon \mu \frac{\partial^2 V}{\partial t^2} - \mu \sigma \frac{\partial V}{\partial t} = - \rho / \epsilon \quad (1.9)$$

içinde elektrik akımı ve yükleri bulunmayan basit ortam içinde (1.8) ve

$$\nabla^2 \vec{A} - \epsilon \mu \frac{\partial^2 \vec{A}}{\partial t^2} = 0 \quad (1.10)$$

$$\nabla^2 V - \epsilon \mu \frac{\partial^2 V}{\partial t^2} = 0 \quad (1.11)$$

denklemlerine dönüşür bunlar ise \vec{A} ve V nin etkisinin havada ışık hızı ile yayılacağını yani antendeki bir elektriksel değişim uzaktaki noktalara $t' = r/c$ zaman gecikmesiyle ulaşacağını ifade eder. Bu nedenle geçikmiş manyetik vektör potansiyeli (1.8) in çözümü olarak

$$\vec{A} = \frac{\mu}{4\pi} \int_v \frac{\vec{J}(t - r/c)}{r} du \quad (\text{Wb/m}) \quad (1.12)$$

gecikmiş skaler potansiyeli

$$V = \frac{1}{4\pi\epsilon} \int_v \frac{\rho(t - r/c)}{r} du \quad (\text{Volt}) \quad (1.13)$$

şeklinde olur. İşıma yapan antenin şekli, boyutları, oturduğu zemininin özellikleri ve üzerinden akan akımın dağılımı bilindiğinde ışıma alanı (1.12), (1.13) den hareketle (1.6) ve Maxwell denklemlerinden yararlanılarak bulunur. Çoğu hallerde orta ve uzun dalga yayın istasyonlarında kullanılan antep tipleri Hertz dipol anten, ince uzun antenler, rombik antenler, direk antenler, yatay tel, tepesi yüklü ters L, T antenler (9,10,11) bunların içinde uygulamada en çok kullanılan düşey konumlu Hertz dipol (kısa dipol), ters L, T antenleridir.

Şekil (1.1)'deki antenlerden direk anten İstanbul radyo vericisinde T anten ise tepesi yüklenerek boyu arttırılmış olup Ankara radyo vericisinde kullanılmaktadır. Her iki anten biçimde düşey polarizasyonlu elektromanyetik dalga üretir, bu antenlerde yüzey dalgası ile iletişim ön planadır.

Hertz dipolünün ışıma alanı yakın alan ifadesi

$$E_r = \frac{I_0 L e^{j(\omega t - \beta r)}}{4\pi\epsilon_0} \cos \theta \left(\frac{1}{cr^2} + \frac{1}{j\omega r^3} \right) \quad (1.14)$$

$$E_\theta = \frac{I_0 L e^{j(\omega t - \beta r)}}{4\pi\epsilon_0} \sin \theta \left(\frac{j\omega}{c^2 r} + \frac{1}{cr^2} + \frac{1}{j\omega r^3} \right) \quad (1.15)$$

$$E_\theta = 0 \quad (1.16)$$

$$H_r = 0 \quad (1.17)$$

$$H_\theta = 0 \quad (1.18)$$



$$H_{\phi} = \frac{\rightarrow |H|}{4\pi} = \frac{I_0 L e^{j(\omega t - \beta r)}}{4\pi} \left(\frac{j\omega}{cr} + \frac{1}{r^2} \right) \quad (1.19)$$

uzak alan ifadeleri ise $r \gg \lambda$ koşulunda

$$E_r \approx 0$$

$$E_{\theta} = \frac{j\omega}{4\pi} \frac{I_0 L}{\epsilon_0 c^2 r} e^{j(\omega t - \beta r)} \sin \theta \quad (1.20)$$

$$H_{\phi} = \frac{j I_0 \beta L}{4\pi r} e^{j(\omega t - \beta r)} \sin \theta \quad (1.21)$$

değerlerine yakınsar (1.20) anten gücü cinsinden yazılırsa (W_T : k Watt)
 r : km olmak koşuluyla elektrik alanın tepe değeri

$$\frac{E_{\theta}}{t} = \frac{300 \sqrt{W_T}}{r} \sin \theta \quad (\text{mV/m}) \quad (1.22)$$

efektif değeri ise

$$E_{\theta \text{ ef}} = \frac{212 \sqrt{W_T}}{r} \sin \theta \quad (\text{mV/m}) \quad (1.23)$$

Antenin tipi Hertz dipolu olabileceği gibi iletken bir zemin üzerine dikilmiş çubuk, direk antenlerde olabilir. Bu iletken zemin üzerindeki antenler görüntülerini ile birlikte yarım dalga dipol antenleri kabul edilebilir.
 İşıma alanları

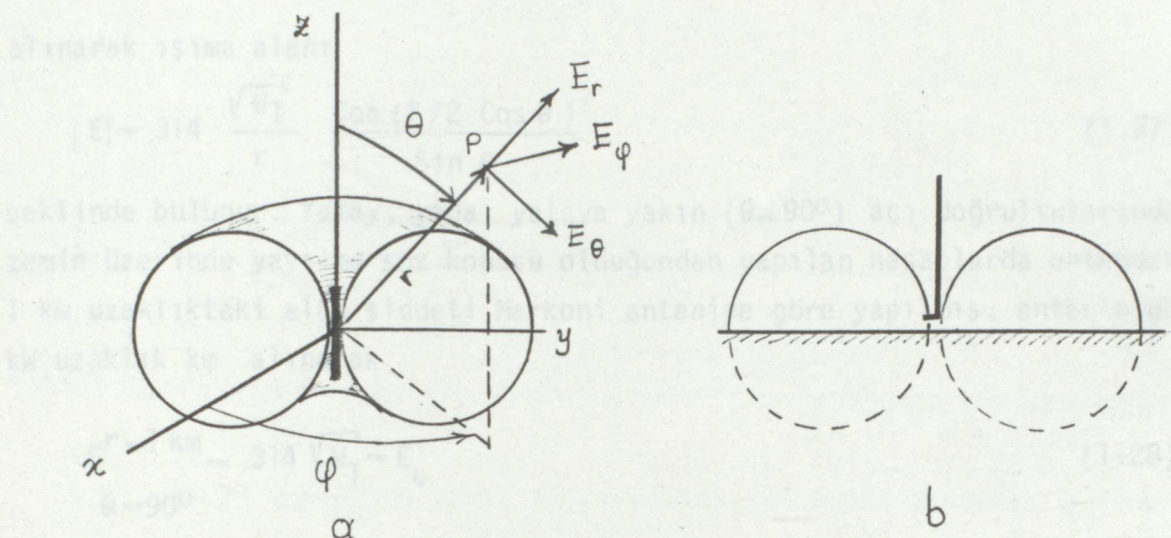
$$|E| = \frac{60 \text{ Im}}{r} \left[\frac{\cos(\beta L \cos \theta) - \cos \beta L}{\sin \theta} \right] \quad (1.24)$$

ile hesaplanır. İşıma sadece zeminin üst tarafındaki yarı uzaya olacağın-dan ışıma direnci

$$R_r = 30 \{ C + \ln 2\beta L - Ci(2\beta L) + \frac{1}{2} \sin(2\beta L) [Si(4\beta L) - 2 Si(2\beta L)] \\ + \frac{1}{2} \cos(2\beta L) [C + \ln \beta L + Ci(4\beta L) - 2 Ci(2\beta L)] \} \quad (1.25)$$

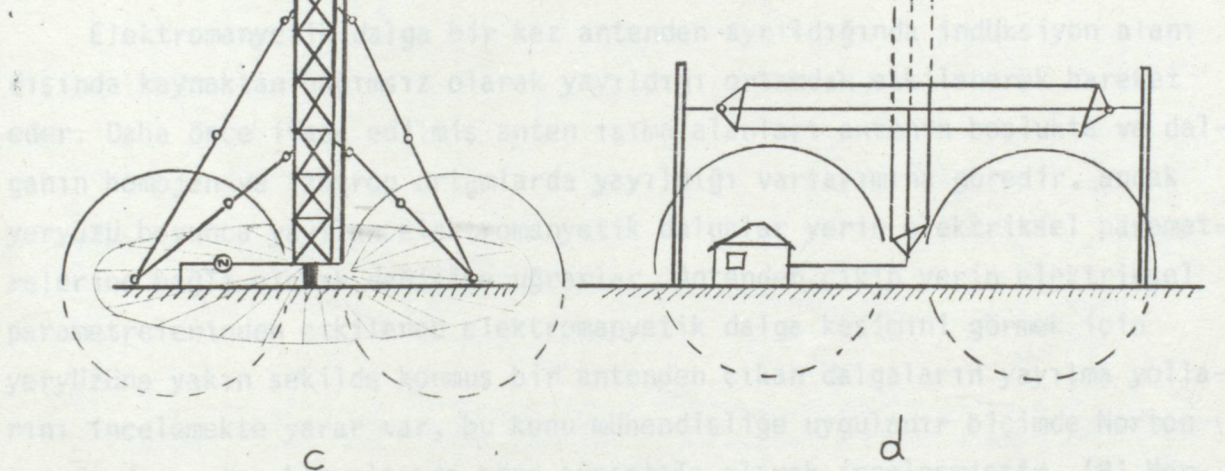
bağıntısından yararlanılarak hesaplanır $L = \frac{\lambda}{4}$ ise anten Markoni anten olup ışıma direnci

$$R_r = 15 \text{ Cin}(2\pi) = 15 \times 2.4377 = 36.56 \Omega \quad (1.26)$$

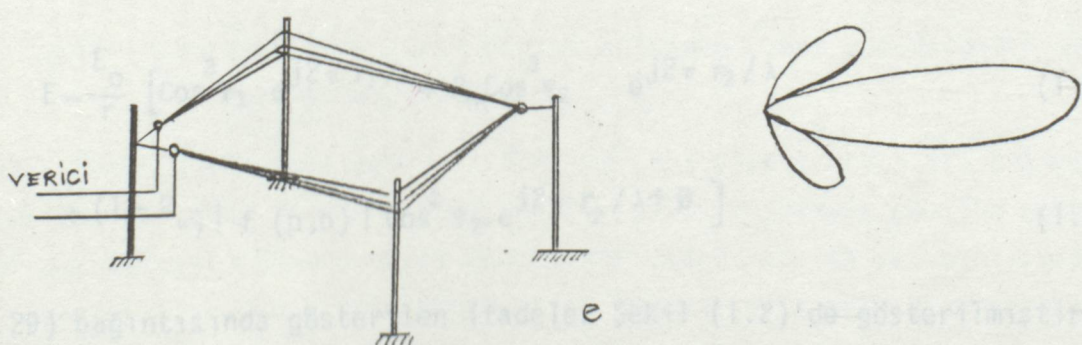


Eşitlerdeki farklı anten tipleri ve ışınma diyagramları
verilmiştir.

1.3. ELEKTRONİK ANTENLERİN ZAVILMA YOLLARI



İşinme fazlamak için bu antenlerin uygulandığı yerdeki bir bina (Norden)
sağlarken, antenin ışınma konusunu olaraka gösterilmiştir. (E) Rombik
antennelerden verilen ışınma konusunun iradesi



Şekil (1.1) Farklı anten tipleri ve ışınma diyagramları

- a- Hertz dipole anten b- Monopol anten c- Direk anten d- T anten
- e- Rombik anten



alınarak ışıma alanı

$$|E| = 314 \frac{\sqrt{W_T}}{r} \frac{\cos(\pi/2 \cos \theta)}{\sin \theta} \quad (1.27)$$

şeklinde bulunur. Yatay, yada yataya yakın ($\theta=90^\circ$) açı doğrultularında zemin üzerinde yayılma söz konusu olduğundan yapılan hesaplarda antenden 1 km uzaklıktaki alan şiddeti Markoni antenine göre yapılmış, antenin gücü kW uzaklık km alınarak

$$E^{r=1\text{ km}} = 314 \sqrt{W_T} = E_0 \quad (1.28)$$

$\theta=90^\circ$

kabul edilmiştir. Şekil (1.1)'de farklı anten tipleri ve ışıma diyagramları verilmiştir.

1.3. ELEKTROMANYETİK DALGANIN YAYILMA YOLLARI

Elektromanyetik dalga bir kez antenden ayrıldığında induksiyon alanı dışında kaynaktan bağımsız olarak yayıldığı ortamdan etkilenerek hareket eder. Daha önce ifade edilmiş anten ışıma alanları antenin boşlukta ve dalganın homojen ve izotrop ortamlarda yayıldığı varsayımlına göredir, ancak yeryüzü boyunca yayılan elektromanyetik dalgalar yerin elektriksel parametrelerine bağlı olarak değişime uğrarlar. Antenden çıkış yerin elektriksel parametrelerinden etkilenen elektromanyetik dalga kesimini görmek için yeryüzüne yakın şekilde konmuş bir antenden çıkan dalgaların yayılma yollarını incelemekte yarar var, bu konu mühendisliğe uygulanır biçimde Norton tarafından anten konumlarına göre ayrıntılı olarak incelenmiştir. (8) Norton tarafından verilen yer dalgasının ifadesi

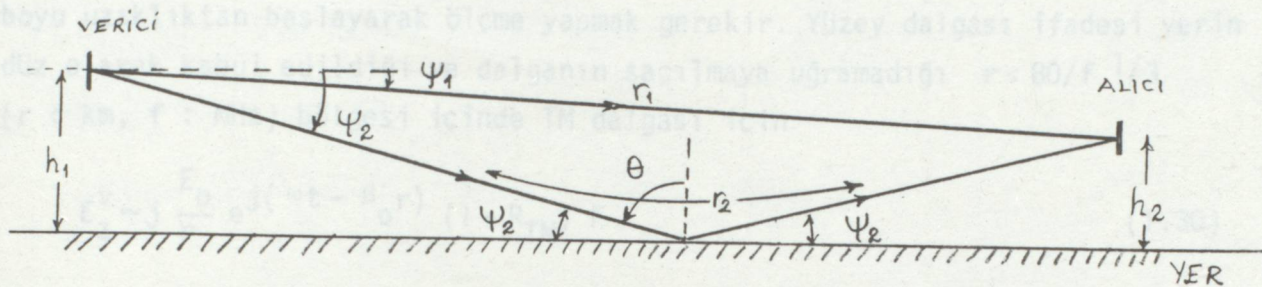
$$E = \frac{E_0}{r} \left[\cos^3 \psi_1 e^{j2\pi r_1/\lambda} + R_{TM} \cos^3 \psi_2 e^{j2\pi r_2/\lambda} \right] \quad (1.29)$$

$$+ (1 - R_{TM}) |f(p,b)| \cos^2 \psi_2 e^{j2\pi r_2/\lambda + \phi} \quad (1.29)$$

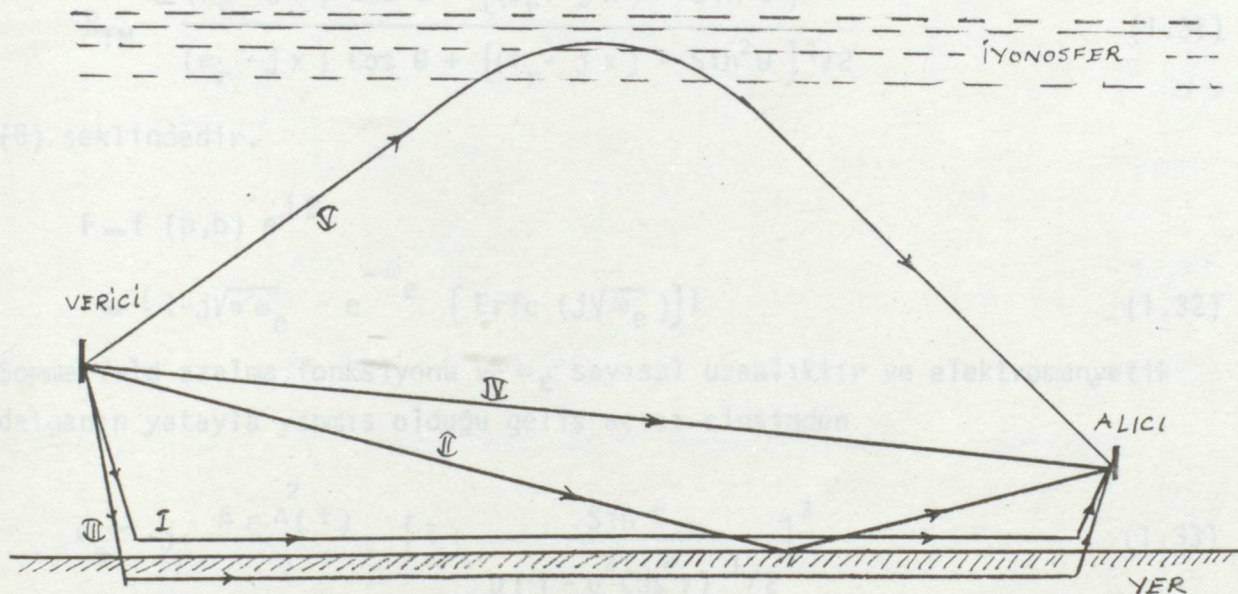
(1.29) bağıntısında gösterilen ifadeler Şekil (1.2)'de gösterilmiştir. Antenden çıkan elektromanyetik dalga yollarına genelde bakmak gerekirse Şekil (1.3)'te olduğu gibi



şü sonucu II. ile gösterilen dalga da gözlenmez. Sekü edilen yarım uzaklıklarında alıcıdan alınan sadece yüzey dalgası olur. Ancak antene yakın uzaklıklarda dalga tam bir düzlem dalga değildir. Bu nedenle en az anteneden bir kaç dalga boyutları heslayarak ölçme yapmak gereklidir. Yüzey dalgası ifadesi yerin



Şekil (1.2) Yeryüzüne yakın alıcı-verici konumunda doğrudan ve yansıyarak gelen dalga.



Şekil (1.3) Yeryüzüne yakın verici antenden çıkan e.m.dalganın alıcıya ulaşma yolları.

I.Yüzey dalgası (surface wave) II.Uzay dalgası (space wave) III.Lateral wave IV.Gök dalgası (Sky wave) adını alırlar. I.II.III yoluyla yayılan gruba genelde yer dalgası (Ground wave) denir. Vericiden yapılan yayının frekansına bağlı olarak alıcıdan alınan sinyalin ne tür yollarla geldiği incelenebilir. Ancak vericiden çok uzak olmayan uzaklıklarda (50-60 dalga boyu) iyonosfer dalgası gözlenmez yaklaşık bu uzaklıklara kadar olan yerlerde topografiya özellikleri uygun olması, antenin çok yüksekte olmaması ve frekansın yüksek olmaması koşullarında doğrudan gelen ve yansıyan dalganın birbirini yok etmeye

si sonucu II ile gösterilen dalga da gözlenmez. Sözü edilen yakın uzaklıklar-
da alıcıdan alınan sadece yüzey dalgası olur. Ancak antene yakın uzaklıklarda
dalga tam bir düzlem dalga değildir. Bu nedenle en az antenden bir kaç dalga
boyu uzaklıktan başlayarak ölçme yapmak gereklidir. Yüzey dalgası ifadesi yerin
düz olarak kabul edildiği ve dalganın saçılmasına uğramadığı $r < 80/f^{1/3}$
(r : km, f : MHz) bölgesinde TM dalgası için

$$E_z^V = j \frac{E_0}{r} e^{j(\omega t - \beta_0 r)} (1 - R_{TM}) F \quad (1.30)$$

Burada R_{TM} Fresnel yansımıma katsayısı olup dalganın normalle yaptığı açı ve
yerin elektriksel parametreleri cinsinden

$$R_{TM} = \frac{(\epsilon_r - jx) \cos \theta - [(\epsilon_r - jx) - \sin^2 \theta]^{1/2}}{(\epsilon_r - jx) \cos \theta + [(\epsilon_r - jx) - \sin^2 \theta]^{1/2}} \quad (1.31)$$

(5) şeklindedir.

$$F = f(p, b) e^{j\phi} \\ = \{1 - j\sqrt{\pi \omega_e}\} e^{-\frac{\omega}{\omega_e}} [erfc(j\sqrt{\omega_e})] \quad (1.32)$$

Sommerfeld azalma fonksiyonu ve ω_e sayısal uzaklıktır ve elektromanyetik
dalganın yatayla yapmış olduğu geliş açısı cinsinden

$$\omega_e = -j \frac{\beta r \Delta(\Psi)}{2} \left[1 + \frac{\sin \Psi}{u (1 - u^2 \cos^2 \Psi)^{1/2}} \right]^2 \quad (1.33)$$

şeklinde ifade edilir. Bu ifadedeki $u = 1/N$ ve $N = (\epsilon_r - jx)^{1/2}$

$$erfc(j\omega_e) = \frac{2}{\sqrt{\omega_e}} \int_{j\omega_e}^{\infty} e^{-v^2} dv \quad (1.34)$$

yanılıgı fonksiyonudur.

Sommerfeld azalma fonksiyonu verici yakınlarında bire yakınsar, bu alanın
kaynaktaki ifadesidir.

F fonksiyonu kaynaktan uzaklaşılıkça 1'den küçük değerler alarak azalır
Bu alanın uzaklıkla azalması anlamına gelmektedir. (1.32), (1.29) ile birlikte
uygulandığında yer dalgasının (ground wave) değişimini ifade eder. Biz an-
tenlerin yeryüzüne yakın olduğunu düşündüğümüzden ($\Psi \approx 0^\circ$) açısıyla gelen



yüzey dalgası (surface wave) ile ilgileniyoruz $\psi=0$ için sayısal uzaklığın alacağı değer P_e ile gösterilirse

$$P_e = \omega_e |_{\psi=0} = -j \frac{\beta r \Delta^2(0)}{2} \quad (1.35)$$

p_e yine karmaşık sayıdır.

$$\Delta(0) = \frac{(N^2 - 1)^{1/2}}{N^2} \quad \text{Normalize yüzey empedansı}$$

$$N = (\epsilon_r - jx)^{1/2} \quad \text{ortamın kırılma endisidir. } p_e = p_u e^{jb} \quad (1.36)$$

şeklinde yazılabilir. b sayısal uzaklığın fazı, p_u sayısal uzaklığın genlidir. TM modunda

$$p_u = \frac{\pi r \cos^2 b''}{\lambda x \cos b'} \cong \frac{\pi r}{\lambda x} \cos b \quad (1.37)$$

$$b' = \tan^{-1} \frac{\epsilon_r}{x} \quad (1.38)$$

$$b'' = \tan^{-1} \frac{\epsilon_r - 1}{x} \quad (1.39)$$

$$b = (2b'' - b') \cong \tan^{-1} \frac{\epsilon_r - 1}{x} \quad (1.40)$$

yazılabilir. $\omega_e|_{\psi=0} = p_e$ olması koşulundaki Sommerfeld azalma fonksiyonu

$$F = \{ 1 - j \sqrt{\pi p_e} e^{-p_e} \operatorname{erfc}(j \sqrt{p_e}) \} \quad (1.41)$$

şekline dönüşür. Ancak Sommerfeld azalma fonksiyonunun hesabının karmaşık olması yüzünden azalma fonksiyonunun genliği $|F|=A$ için araştırmacılar tarafından empirik formüller önerilmiştir.(2), p_u nin ve b nin tüm değerleri için iyi sonuçlar Van Der Pol tarafından önerilmiş

$$|F| = A = \frac{2 + 0.3 P_u}{2 + p_u + 0.6 p_u^2} - (p_u/2)^{1/2} e^{-5 p_u/8} \sin b \quad (1.42)$$

formülüdür. p_e sayısal uzaklı, frekansa, vericiden olan uzaklığa ve yerin elektriksel parametrelerine, b açısı da (1.40)'a göre doğrudan frekans ve yerin elektriksel parametrelerine bağlı olarak değişir. Jeofizik uygulamalar-



da $0^\circ < b < 90^\circ$ almak yeterli olmaktadır. Düşey konumlu bir vericiden çıkan yüzey dalgasının, uzaklığa ve yerin elektriksel parametrelerine bağlılığını araştırmak amacıyla (1.30) bağıntısı elde edilmiştir. Buradaki E_0 antenin tipine, konumuna ve polarizasyon biçimine bağlı olan ve (1.28) de bulunduğu gibi bulunan yeryüzü boyunca 1 km uzaklıkta ölçülen alanın düşey bileşenidir. $(1-R_{TM})$ çarpanı yüzey dalgası koşulunda $\theta=90^\circ$ için $R_{TM} \rightarrow -1$ olması nedeniyle 2 değerine erişir. $F(p_e)$ Sommerfeld azalma fonksiyonun hesabında ise p_e nin 1 den küçük değerleri için yanlış fonksiyonu ($\text{erfc}(x)$, x in tüm değerleri için yakınsayan Maclaurin serisine açılarak ifade edildiğinde $F(p_e)$ azalma fonksiyonu

$$F(p_e) = 1 - j\sqrt{\pi p_e} e^{-p_e} e^{-2p_e} e^{-p_e} \sum_{k=0}^{\infty} \frac{p_e^k}{k! (2k+1)} \quad (1.43)$$

şeklini alır. Burada $\text{erf}(z) = \frac{2}{\sqrt{\pi}} \sum_{s=0}^{\infty} \frac{(-)^s z^{2s+1}}{s! (2s+1)}$ (1.44)

ve $\text{erfc}(z) = 1 - \text{erf}(z)$ (1.45)

dir. p_e sayısal uzaklığının birden çok büyük değerleri için yanlış fonksiyonunun

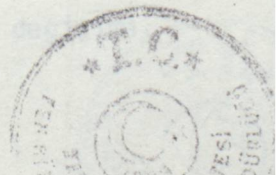
$$\text{erfc}z \cong \frac{e^{-z^2}}{\sqrt{\pi}z} \sum_{s=0}^{\infty} \frac{(-)^s 1 \times 3 \times 5 \times \dots (2s-1)}{s! (2s+1)} \quad (1.46)$$

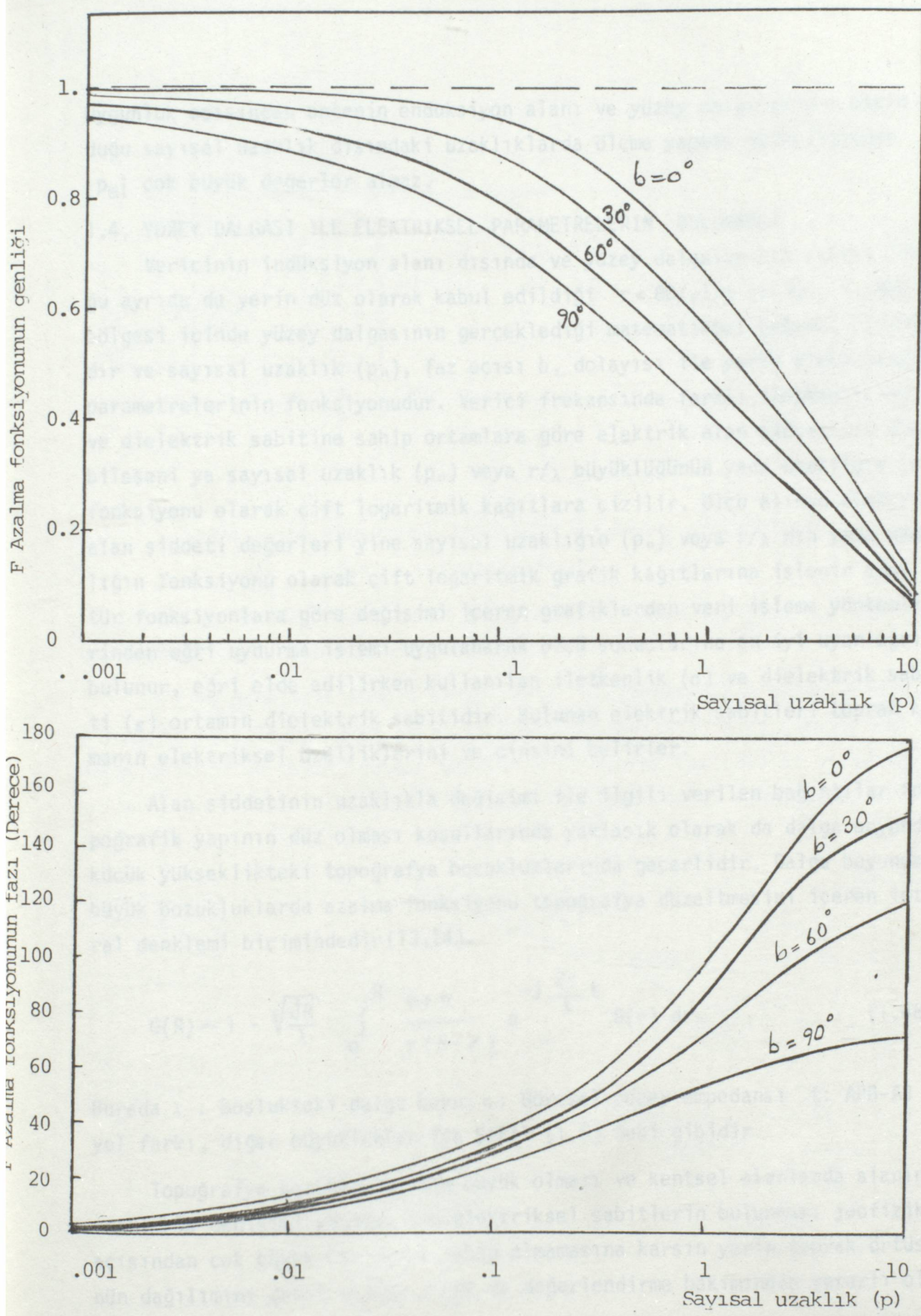
asimtotik ifadesi kullanılarak. Azalma fonksiyonu

$$F(p_e) \cong -\frac{1}{2p_e} - \frac{1 \times 3}{(2p_e)^2} - \frac{1 \times 3 \times 5}{(2p_e)^3} - \frac{1 \times 3 \times 5 \times 7}{(2p_e)^4} \dots \quad (1.47)$$

şeklinde bulunur. Sayısal uzaklık p_e nin iletken olmayan kumsal arazilerde aynı frekans ve uzaklık için iletken olan arazilere göre çok büyük değer alması, azalma fonksiyonunun, bu büyük p_e değerleri için çok çabuk azalmasına neden olacaktır.

Bu ise iletken ortamlarda yüzey dalgalarının çok yavaş zayıflayacağı, iletken olmayan ortamlarda ise hızla zayıflayacağı anlamına gelir. Şekil (1.4) $F(p_e) = |F| e^{-j\phi}$ şeklinde ifade edilen azalma fonksiyonunun genlik ve fazının sayısal uzaklıkla değişimi çizilmiştir. Jeofizik değerlendirmede





Şekil (1.4) Sommerfeld azalma fonksiyonunun faz ve genliğinin değişimi.

uygunluk açısından antenin enduksiyon alanı ve yüzey dalgalarının etkin olduğu sayısal uzaklık dışındaki uzaklıklarda ölçme yapmak gereğiinden $|P_e|$ çok büyük değerler almaz.

1.4. YÜZYEY DALGASI İLE ELEKTRİKSEL PARAMETRELERİN BULUNMASI

Vericinin induksiyon alanı dışında ve yüzey dalgalarının etkili olduğu ayrıca da yerin düz olarak kabul edildiği $r < 80/f^{1/3}$ (r : km, f : MHz) bölgesi içinde yüzey dalgasının gerçeklediği matematiksel bağıntı (1.30)dır ve sayısal uzaklık (p_{\parallel}), faz açısı b , dolayısı ile yerin elektriksel parametrelerinin fonksiyonudur. Verici frekansında farklı iletkenlik (σ) ve dielektrik sabitine sahip ortamlara göre elektrik alan şiddetinin düşey bileşeni ya sayısal uzaklık (p_{\parallel}) veya r/λ büyülüğünün yada uzaklığın (r) fonksiyonu olarak çift logaritmik kağıtlara çizilir. Ölçü alınan elektrik alan şiddeti değerleri yine sayısal uzaklığın (p_{\parallel}) veya r/λ nın yada uzaklığın fonksiyonu olarak çift logaritmik grafik kağıtlarına işlenir aynı tür fonksiyonlara göre değişimi içeren grafiklerden veri işleme yöntemlerinden eğri uydurma işlemi uygulanarak ölçü sonuçlarına en iyi uyan eğri bulunur, eğri elde edilirken kullanılan iletkenlik (σ) ve dielektrik sabiti (ϵ) ortamın dielektrik sabitidir. Bulunan elektrik sabitleri toprak katmanın elektriksel özelliklerini ve cinsini belirler.

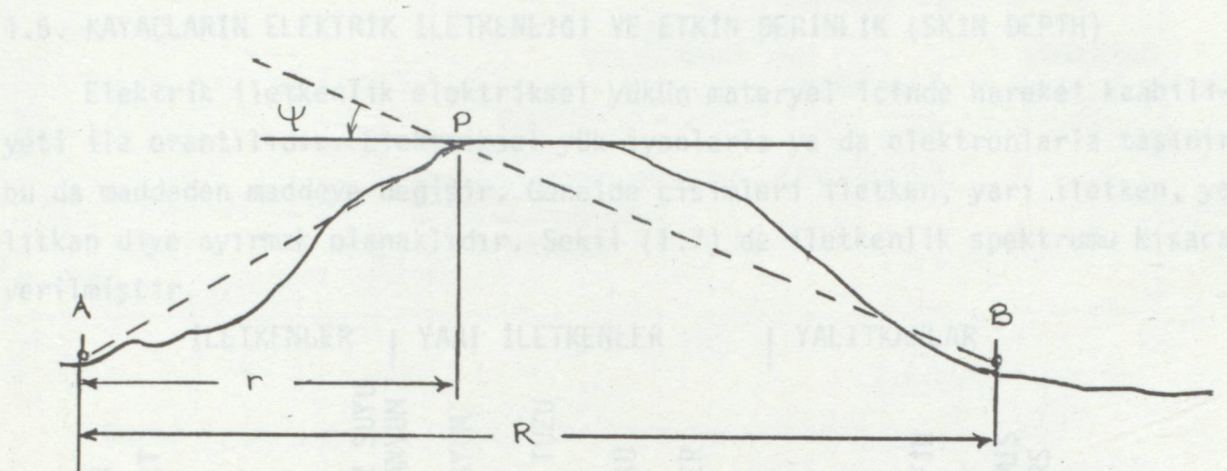
Alan şiddetinin uzaklıkla değişimi ile ilgili verilen bağıntılar topografik yapının düz olması koşullarında yaklaşıklık olarak da dalga boyundan küçük yükseklikteki topografya bozukluklarında geçerlidir. Dalga boyundan büyük bozukluklarda azalma fonksiyonu topografya düzeltmesini içeren integral denklemi biçimindedir (13,14).

$$G(R) = 1 - \sqrt{\frac{JR}{\lambda}} \int_0^R \frac{\psi + n}{r(R-r)} e^{-j\frac{2\pi}{\lambda} t} G(r) dr \quad (1.48)$$

Burada λ : Boşluktaki dalga boyu, n : Göresel yüzey empedansı t : APB-AB yol farkı, diğer büyüklükler ise Şekil (1.5) deki gibidir.

Topografya bozukluklarının büyük olması ve kentsel alanlarda alanın uzaklıkla değişimi yöntemi ile elektriksel sabitlerin bulunması jeofizik açısından çok büyük bir öneme sahip olmamasına karşın yerin toprak örtüsünün dağılımını genel olarak görme ve değerlendirme bakımından yararlı ola-

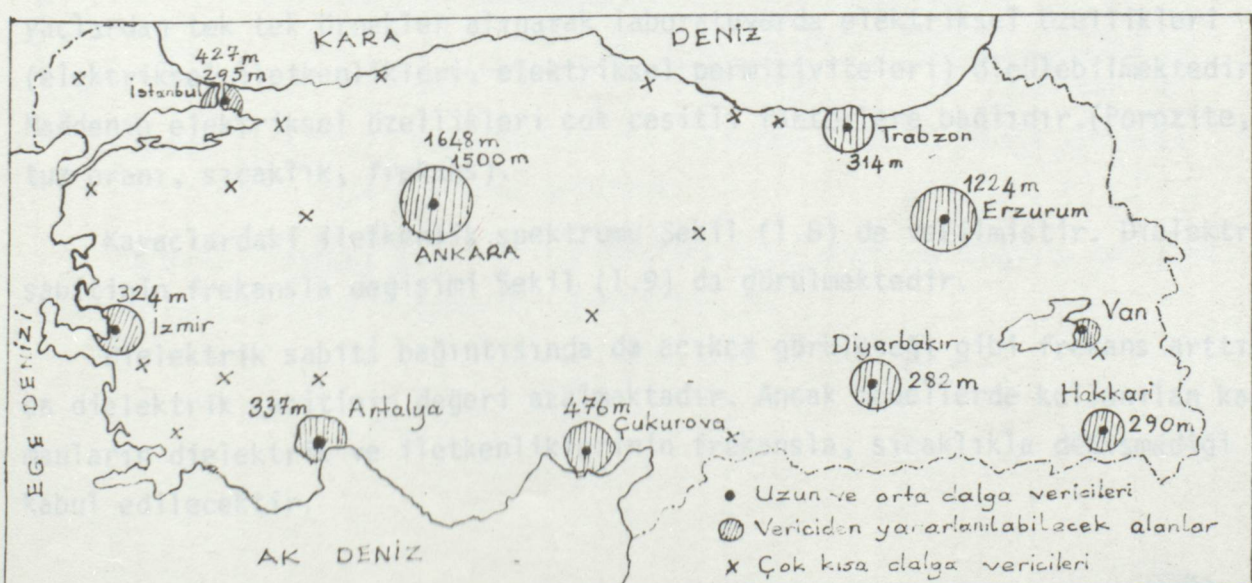




Şekil (1.5) Topografya bozukluğu koşulunda azalma fonksiyonuna etkiyen parametreler.

bilir. Ancak toprak örtünün ülke düzeyinde bilinmesi iletişim açısından önemsenmesi gereken bir konudur.(16,28)

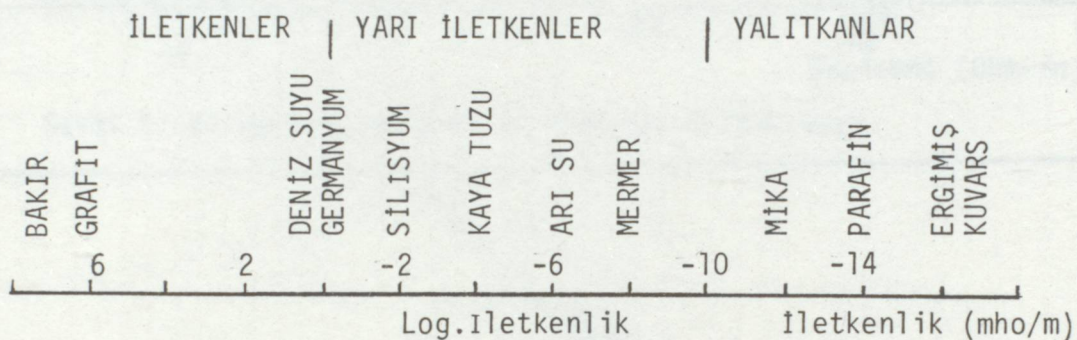
Türkiye genelinde kurulu radyo yayın istasyonlarından yüzey dalgalarının kullanılabileceği alan Şekil (1.6)'da gösterildiği gibi sınırlı kalır. Ancak ekonomi ve zaman kazancı gözönünde tutularak taşınabilir vericiler kullanıp bu sınırlı alan topografyanın elverişli olduğu koşullarda Türkiye genelinde arttırılabilir.



Şekil (1.6) Türkiye'de kurulu TRT radyo vericilerinin dağılışı ve jeofizik açıdan kullanılabilir alanlar.

1.5. KAYAÇLARIN ELEKTRİK İLETKENLİĞİ VE ETKİN DERİNLİK (SKIN DEPTH)

Elektrik iletkenlik elektriksel yükün materyel içinde hareket kabiliyeti ile orantılıdır. Elektriksel yük iyonlarla ya da elektronlarla taşınır bu da maddeden maddeye değişir. Genelde cisimleri iletken, yarı iletken, yalıtkan diye ayırmak olanaklıdır. Şekil (1.7) de iletkenlik spektrumu kısaca verilmiştir.



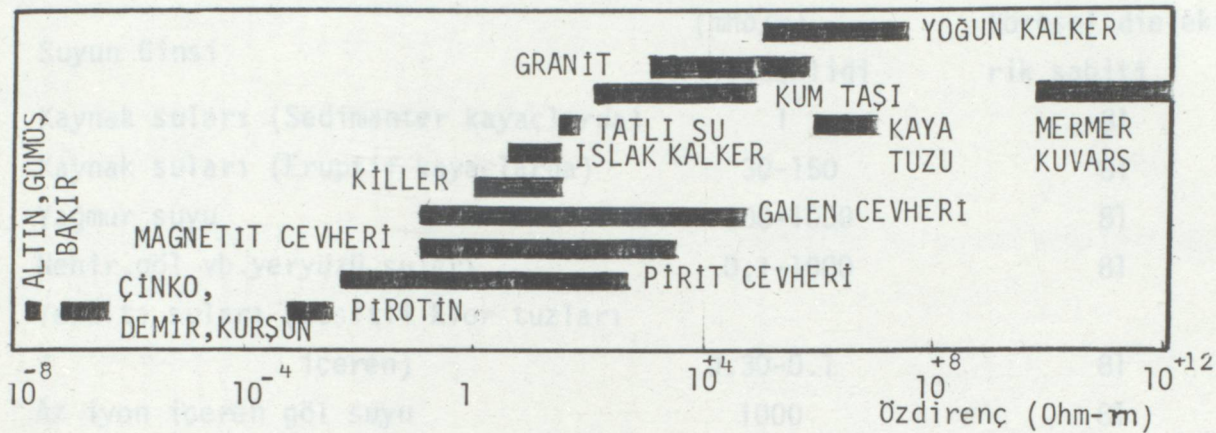
Şekil (1.7) iletken, yarı iletken ve yalıtkan cisimler (1).

Yeryüzünde kayaç ve minerallerin çoğu iletkenlik mineral tanelerinde değil gözeneklerde yer alır. Elektrik akımı iletten iyonlar, tuzların suda erimesi sonucunda ortaya çıkar. Her bir iyon belli miktarda yük taşıyabileceğinden eriyikte ne kadar çok iyon varsa ve bunlar ne kadar hızlı hareket ederse o kadar çok elektrik yük taşınmış olur. Bu nedenle çok iyon taşıyan eriyiğin iletkenliği yüksektir ve tuzluluk, iyon sayısını arttırması nedenile kayaçların özdirençlerinin belirlenmesinde önemli bir faktördür. Kayaçlardan tek tek örnekler alınarak laboratuvara elektriksel özelliklerini (elektriksel iletkenlikleri, elektriksel permitiviteleri) ölçülebilir. Maddenin elektriksel özellikleri çok çeşitli faktörlere bağlıdır. (Porozite, tuz oranı, sıcaklık, frekans).

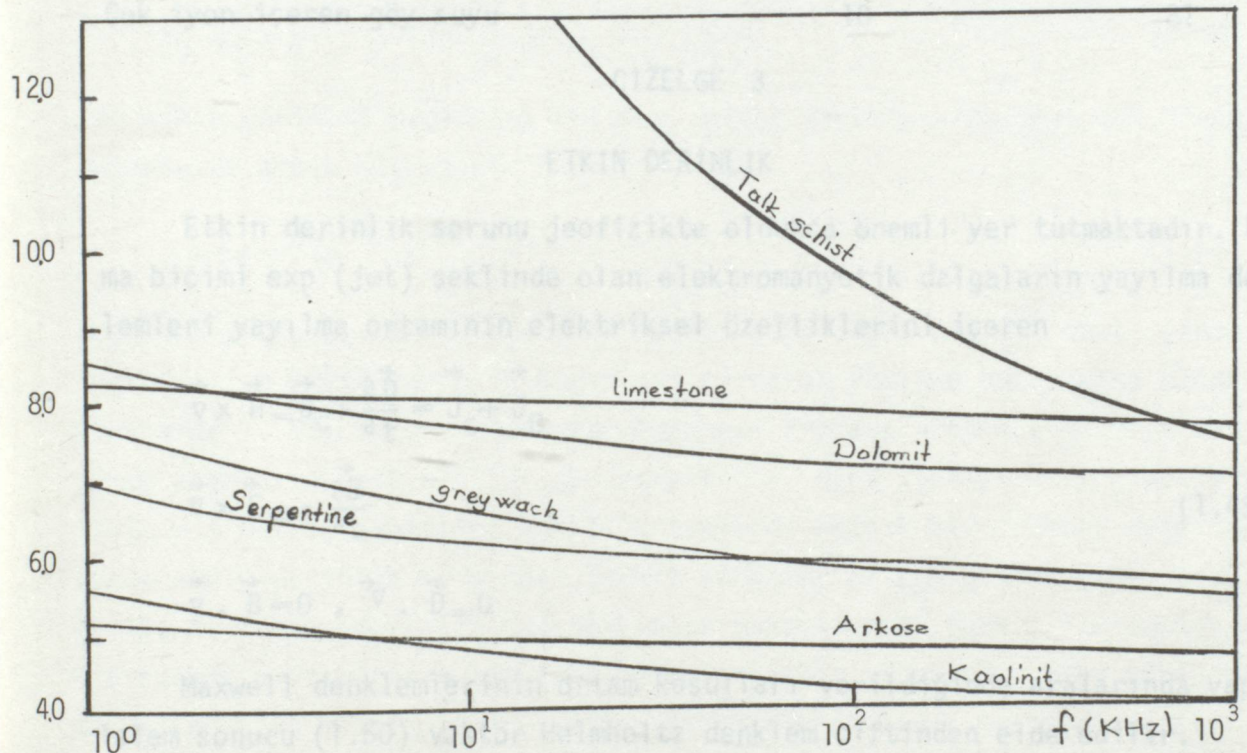
Kayaçlardaki iletkenlik spektrumu Şekil (1.8) de verilmiştir. Dielektrik sabitinin frekansla değişimi Şekil (1.9) da görülmektedir.

Dielektrik sabiti bağıntısında da açıkça görüleceği gibi frekans arttıkça dielektrik sabitinin değeri azalmaktadır. Ancak modellerde kullanılan katmanların dielektrik ve iletkenliklerinin frekansla, sıcaklıkla değişmediği kabul edilecektir.





Şekil (1.8) Çeşitli mineral ve kayaçların özdirenci.



Şekil (1.9) Kuru kaya tiplerinin dielektrik sabitlerinin frekansa bağlı olarak değişimi.

Suların iletkenlikleri de içerdikleri iyon oranında değişim gösterir, aşağıda onlara ilişkin örnekler gösterilmiştir.



| Suyun Cinsi | (mho/m) iletkenliği | Göresel dielekt- rik sabiti |
|---|------------------------|--------------------------------|
| Kaynak suları (Sedimanter kayaçlarda) | 1 | 81 |
| Kaynak suları (Eruptif kayaçlarda) | 30-150 | 81 |
| Yağmur suyu | 300-1000 | 81 |
| Nehir,göl vb.yeryüzü suları | 0.1-1000 | 81 |
| Yeraltı suları (çeşitli klor tuzları içeren) | 0.30-0.1 | 81 |
| Az iyon içeren göl suyu | 1000 | 81 |
| Orta yeğinlikte iyon içeren göl suyu | 100 | 81 |
| Çok iyon içeren göy suyu | 10 | 81 |

ÇİZELGE 3

ETKİN DERİNLİK

Etkin derinlik sorunu jeofizikte oldukça önemli yer tutmaktadır. Uyarma biçimini exp ($j\omega t$) şeklinde olan elektromanyetik dalgaların yayılma denklemleri yayılma ortamının elektriksel özelliklerini içeren

$$\begin{aligned} \vec{\nabla} \times \vec{H} &= \vec{J}_C + \frac{\partial \vec{D}}{\partial t} = \vec{J}_C + \vec{J}_D \\ \vec{\nabla} \times \vec{E} &\equiv - \frac{\partial \vec{B}}{\partial t} \\ \vec{\nabla} \cdot \vec{B} &= 0, \quad \vec{\nabla} \cdot \vec{D} = 0 \end{aligned} \tag{1.49}$$

Maxwell denklemlerinin ortam koşulları verildiğinde aralarında yapılan işlem sonucu (1.50) vektör Helmholtz denklem çiftinden elde edilir.

$$\nabla^2 \begin{Bmatrix} \vec{H} \\ \vec{E} \end{Bmatrix} = \gamma^2 \begin{Bmatrix} \vec{H} \\ \vec{E} \end{Bmatrix} \tag{1.50}$$

Burada $\gamma = (j\omega\mu\sigma - \omega^2\epsilon\mu)^{1/2}$ olup yayılma sabitidir. $\sigma/\omega \ll 1$ olduğunda yer değiştirmeye akımları, $\sigma/\omega \ll 1$ olduğunda ise iletkenlik akımları ihmal edilebilir. Çok yüksek frekanslarda yayılma sabitinin tam ifadesinin alınması gereklidir. γ yayılma sabitinin real kesimi α , sanal kesimi β ile gösterilirse söñüm ve faz sabitleri olmak üzere



$$\alpha = \omega \left(\frac{\mu \epsilon}{2} \left(\sqrt{1 + (\sigma / \omega \epsilon)^2} + 1 \right) \right)^{1/2} \text{ Np/m} \quad (1.51)$$

$$\beta = \omega \left(\frac{\mu \epsilon}{2} \left(\sqrt{1 + (\sigma / \omega \epsilon)^2} - 1 \right) \right)^{1/2} \text{ Rd/m} \quad (1.52)$$

Etkin derinlik ise bir ortama giren elektromanyetik dalganın genliğinin 1/e kez azaldığı uzaklık olarak tanımlanır.

$$\alpha \delta = 1 \quad (1.53)$$

bağıntısından

$$\delta_t = \left\{ \frac{\omega^2 \mu \epsilon}{2} \left[\left(1 + \frac{\sigma^2}{\omega^2 \epsilon^2} \right)^{1/2} - 1 \right] \right\}^{-1/2} \quad (1.54)$$

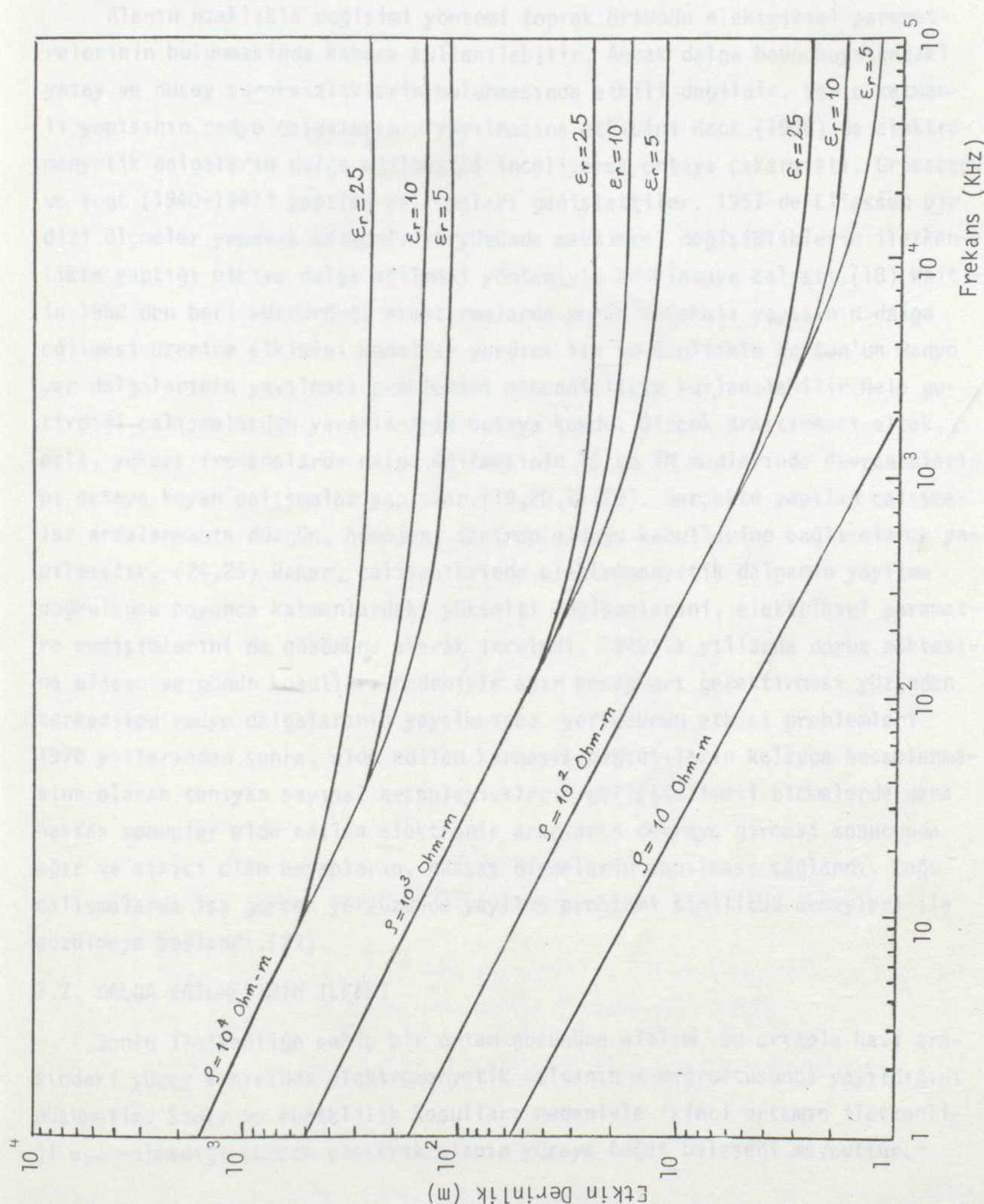
tam etkin derinlik bağıntısı bulunur. Alçak frekanslarda veya çok iletken ortamlarda etkin bağıntısı

$$\delta = (\omega \mu \sigma / 2)^{-1/2} \quad (1.55)$$

değerine yakınsar. Etkin derinlik hesabı yapılırken hiç bir ihmam yapmadan doğrudan tam etkin derinlik bağıntısı alınarak yapılan hesaplarda alçak frekanslarda ile bulunan sonuçlar bulunur. Frekans arttıkça giderek yer değiştirmeye akımları etkinliğini göstermektedir. Aynı iletkenlikte olmakla birlikte dielektrik sabitleri farklı ortamlarda kritik bir frekans değerinden sonra etkin derinlik açısından farklı sonuçlar ortaya çıkmaktadır. Şekil (1.10) tam etkin derinlik bağıntısından yararlanarak farklı iletkenlik ve dielektrik sabitli ortamlar için hesaplanmıştır. Görüldüğü gibi yerin derin tabakalarından bilgi almak için çok alçak frekanslarda çalışmak gereklidir. Radyo yayın frekanslarında etkin derinlik yer iletkenliklerinde pek fazla değerde olmamaktadır. Ancak radyo yayın frekanslarında çalışılması durumunda yerin üst tabakalarının belirli bir kesimi incelenebilir. Ancak iletkenliği az olan arazilerde ise hatırlı sayıları derinliklere kadar bilgi alma olanağı doğar. Alanın uzaklığıyla değişimi yönteminde ve üçüncü bölümdeki yeryüzündeki düşey süreksızlıkların ortaya çıkarılmasında etkin derinliğin önemi olmamakla birlikte, yatay tabakalamamanın incelenmesi koşulunda derinlerden bilgi alınıp alınamayıcağıının incelenmesi sırasında önemi ortaya çıkmaktadır.



2.1. YÖZÜY DİFİSİNIN DİLEĞE EĞİLMESİ (MÜEŞİ PİTİ)



Şekil (1.10) Tam etkin derinlik bağıntısından (δT) yararlanılarak hesaplanan farklı ortamlarda etkin derinliğin frekansla değişimi.



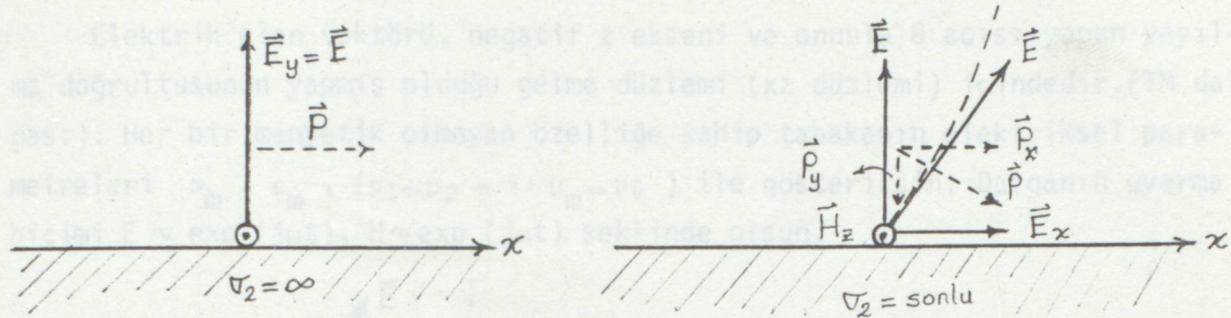
2.1. YÜZEV DALGASININ DALGA EĞİLMESİ (WAVE TILT)

Alanın uzaklıkla değişimi yöntemi toprak örtünün elektriksel parametlerinin bulunmasında kabaca kullanılabilir. Ancak dalga boyu boyutundaki yatay ve düşey süreksızlıkların bulunmasında etkili değildir. Yerin katmanının yapısının radyo dalgalarının yayılmasına etkisini Hack (1908) de elektromanyetik dalgaların dalga eğilmesini inceliyerek ortaya çıkarmıştı. Grosskopf ve Vogt (1940-1941) yapılan çalışmaları genişlettiler. 1957 de Eliassen bir dizi ölçmeler yaparak katmanlı yeryüzünde mevsimsel değişikliklerin iletkenlikte yaptığı etkiye dalga eğilmesi yöntemiyle açıklamaya çalıştı.(18) Wait'in 1952 den beri sürdürdüğü araştırmalarda yerin tabakalı yapısının dalga eğilmesi üzerine etkisini modeller yardımı ile ve özellikle Norton'un Radyo yer dalgalarının yayılması problemini mühendislikte kullanılabılır hale getirdiği çalışmalarдан yararlanarak ortaya koydu. Birçok araştırmacı alçak, orta, yüksek frekanslarda dalga eğilmesinin TE ve TM modlarında davranışlarını ortaya koyan çalışmalar yaptılar.(19,20,21,22). Gerçekte yapılan çalışmalar ardalanmanın düzgün, homojen, izotrop olduğu kabullerine bağlı olarak yapılmıştır. (24,25) Bahar, çalışmalarında elektromanyetik dalganın yayılma doğrultusu boyunca katmanlardaki yükselti değişimlerini, elektriksel parametre değişimlerini de gözönüne alarak inceledi. 1940'lı yıllarda doruk noktasına ulaşan ve günün koşulları nedeniyle ağır hesapları gerektirmesi yüzünden terkedilen radyo dalgalarının yayılmasına yeryüzünün etkisi problemleri 1970 yıllarından sonra, elde edilen karmaşık bağıntıların kolayca hesaplanması olana tariyan sayısal hesaplayıcıların geliştirilmesi ölçmelerde daha hassas sonuçlar elde edilen elektronik araçların devreye girmesi sonucunda ağır ve sıkıcı olan hesapların, hassas ölçmelerin yapılması sağlandı. Çoğu çalışmalarda ise gerçek yeryüzünde yayılma problemi similitüd deneyleri ile çözülmeye başlandı.(27).

2.2. DALGA EĞİLMESİNİN İLKESİ

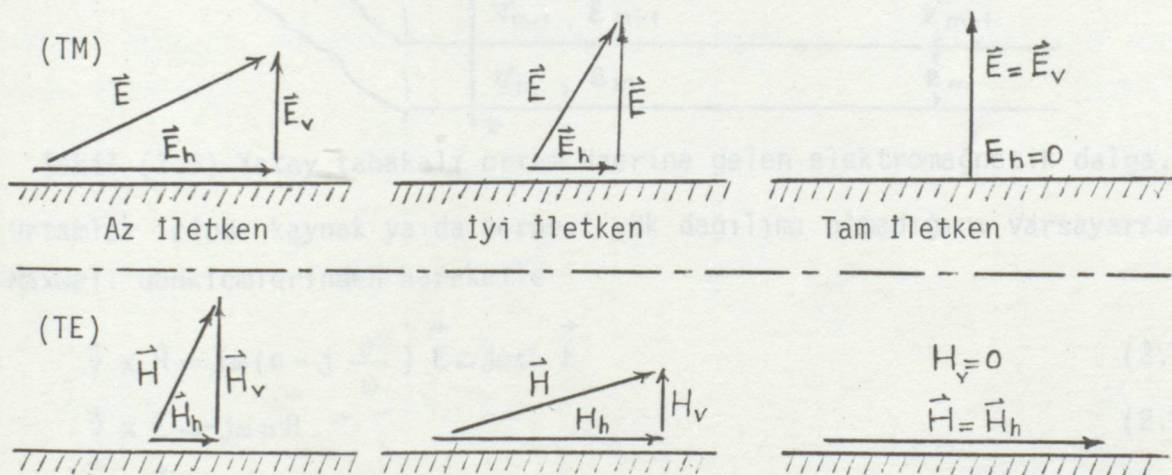
Sonlu iletkenliğe sahip bir ortam gözönüne alalım. Bu ortamla hava arasındaki yüzey sınırlında elektromanyetik dalganın x doğrultusunda yayıldığı düşünelim. Sınır ve süreklilik koşulları nedeniyle ikinci ortamın iletkenliği $\sigma_2 = \infty$ olmadığı sürece elektrik alanın yüzeye teget bileşeni mevcuttur.





Şekil (2.1) Elektrik alanının ileriye doğru devrilmesi (forward tilt)

Elektrik alanın E_x bileşeninin var olması elektromanyetik dalganın ileriye doğru devrilmesi demektir (forward tilt) Şekil (2.1). Hava ve kayıplı ortam durumunda dalganın elektrik alan ve manyetik alan bileşenlerinin davranışları Şekil (2.2) de görüldüğü gibi TM yüzey dalgasının elektrik alan yatay bileşeni, ikinci ortamın zayıf iletken olması halinde çok büyük, ikinci ortamın iletken olması halinde küçük ve tam iletken olması halinde ise sıfır değerindedir. TE modunda ise manyetik alan bileşeni, ikinci ortam zayıf iletken iken çok küçük, iletkenlik arttıkça büyüyen değerler aldığı görülmektedir.



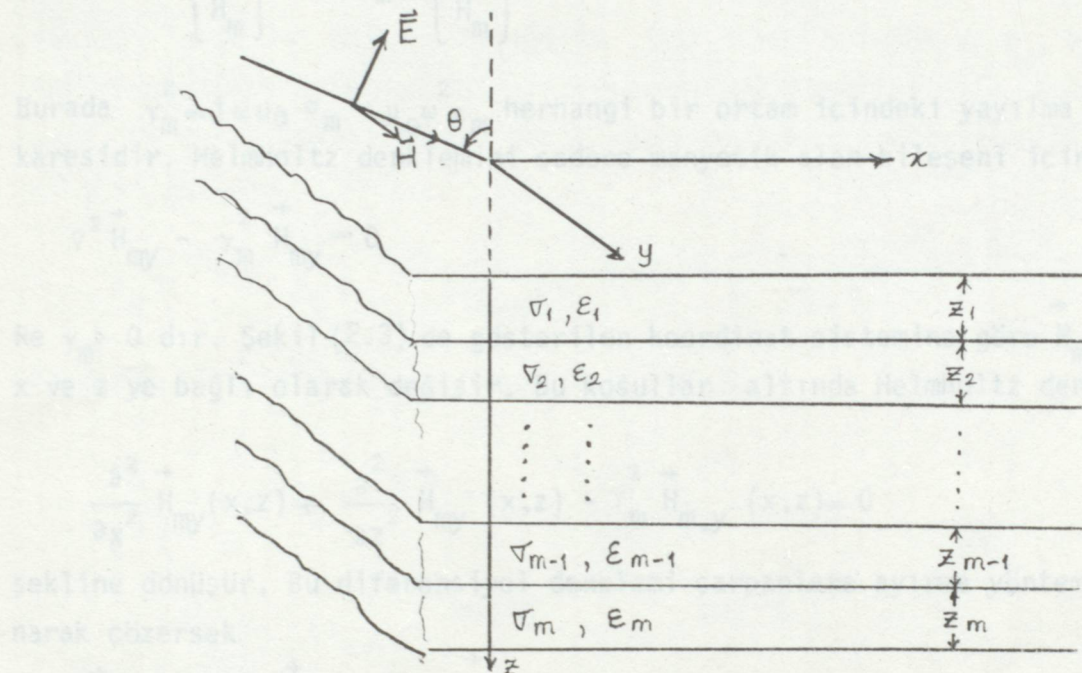
Şekil (2.2) TM ve TE modunda yüzey dalgasının elektrik ve mağnetik bileşenlerin farklı ortamlardaki davranışları.

2.3. ELEKTROMANYETİK DALGALARIN YATAY OLARAK TABAKALANMIŞ ORTAMLARDAKİ DAVRANIŞI

Yatay olarak tabakalanmış sonsuz genişlikteki yarı uzay ortam üzerine herhangi bir açıyla gelen düşey polarize dalganın dalgı eğilmesi (Wave tilt) bağıntılarını ve özel olarak iki tabaklı hal için çıkarmaya çalışalım.



Elektrik alan vektörü, negatif z eksenine ve onunla θ açısı yapan yayılma doğrultusunun yapmış olduğu gelme düzlemi (xz düzlemi) içindedir. (TM dalgası). Her bir manyetik olmayan özelliğe sahip tabakanın elektriksel parametreleri σ_m , ϵ_m , ($\mu_1=\mu_2=\dots=\mu_m=\mu_0$) ile gösterilsin. Dalganın uyarma biçimi $E \sim \exp(j\omega t)$, $H \sim \exp(j\omega t)$ şeklinde olsun.



Şekil (2.3) Yatay tabakalı ortam üzerine gelen elektromağnetik dalga.

Ortamlar içinde kaynak ya da serbest yük dağılımını olmadığı varsayırsak Maxwell denklemlerinden hareketle

$$\vec{\nabla} \times \vec{H} = j\omega(\epsilon - j \frac{\sigma}{\omega}) \vec{E} = j\omega\epsilon^* \vec{E} \quad (2.1)$$

$$\vec{\nabla} \times \vec{E} = -j\omega\mu \vec{H} \quad (2.2)$$

$$\vec{\nabla} \cdot \vec{H} = 0 \quad (2.3)$$

$$\vec{\nabla} \cdot \vec{D} = 0 \quad (2.4)$$

ve $\vec{\nabla} \times (\vec{\nabla} \times \vec{H}) = \vec{\nabla}(\vec{\nabla} \cdot \vec{H}) - \vec{\nabla}^2 \vec{H} \quad (2.5)$

$$\vec{\nabla} \times (\vec{\nabla} \times \vec{E}) = \vec{\nabla}(\vec{\nabla} \cdot \vec{E}) - \vec{\nabla}^2 \vec{E} \quad (2.6)$$

Vektör özdeşlikleri yardımı ile

$$\vec{\nabla}^2 \begin{Bmatrix} \vec{E} \\ \vec{H} \end{Bmatrix} = \gamma^2 \begin{Bmatrix} \vec{E} \\ \vec{H} \end{Bmatrix} \quad (2.7)$$

Vektör Helmholtz denklem çifti elde edilir. Manyeto tellürik yöntemlerde olduğu gibi dalganın herhangi bir tabaka içindeki elektrik ve manyetik alan bileşenleri (2.8) Helmholtz dalga denklem çiftinin çözümünden bulunabilir.

$$\nabla^2 \begin{Bmatrix} \vec{E}_m \\ \vec{H}_m \end{Bmatrix} = \gamma_m^2 \begin{Bmatrix} \vec{E}_m \\ \vec{H}_m \end{Bmatrix} \quad (2.8)$$

Burada $\gamma_m^2 = j\omega\mu_0\sigma_m - \mu_0\omega^2\epsilon_m$ herhangi bir ortam içindeki yayılma sabitinin karesidir. Helmholtz denklemini sadece manyetik alan bileşeni için yazarsak

$$\nabla^2 \vec{H}_{my} - \gamma_m^2 \vec{H}_{my} = 0 \quad (2.9)$$

$\operatorname{Re} \gamma_m > 0$ dır. Şekil (2.3) de gösterilen koordinat sistemine göre \vec{H}_{my} bileşeni x ve z ye bağlı olarak değişir. Bu koşullar altında Helmholtz denklemi

$$\frac{\partial^2}{\partial x^2} \vec{H}_{my}(x, z) + \frac{\partial^2}{\partial z^2} \vec{H}_{my}(x, z) - \gamma_m^2 \vec{H}_{m,y}(x, z) = 0 \quad (2.10)$$

şekline dönüşür. Bu diferansiyel denklemi çarpanlara ayırma yöntemini kullanarak çözersek

$$\vec{H}_{m,y}(x, z) = \vec{H}_{m,y}(x) \cdot \vec{H}_{m,y}(z) \quad (2.11)$$

$$\frac{\partial^2 \vec{H}_{m,y}(x)}{\partial x^2} + \lambda^2 \vec{H}_{m,y}(x) = 0 \quad (2.12)$$

$$\frac{\partial^2 \vec{H}_{m,y}(z)}{\partial z^2} - u_m^2 \vec{H}_{m,y}(z) = 0 \quad (2.13)$$

Burada $\gamma_m^2 = u_m^2 - \lambda^2$ ve λ keyfi bir sabittir (2.10) Diferansiyel denklemının genel çözümü

$$\vec{H}_{m,y}(x, z) = (a_m e^{-u_m z} + b_m e^{u_m z}) e^{-j\lambda x} \quad (2.14)$$

Elektrik alan bileşenleride Maxwell denklemleri yardımcı ile

$$\vec{E}_{m,x} = -(\sigma_m + j\omega\epsilon_m)^{-1} \frac{\partial \vec{H}_{m,y}(x, z)}{\partial z} \quad (2.15)$$

$$\vec{E}_{m,z} = (\sigma_m + j\omega \epsilon_m)^{-1} \frac{\vec{\partial H}_{m,y}(x,z)}{\partial x} \quad (2.16)$$

şeklinde bulunur. Tabakalı ortam üzerindeki manyetik alan vektörü

$$\vec{H}_{0,y} = (a_0 e^{-\gamma_0 z} + b_0 e^{\gamma_0 z}) e^{-\gamma_0 x} \vec{a}_y \quad (2.17)$$

(2.17) ile (2.14) karşılaştırılırsa $j\lambda = \gamma_0 \sin \theta$ bulunur ve a_m , b_m bilinmemeyen katsayıları ortamındaki sınır ve süreklilik koşullarından bulunur.

$z = z_m$ de m . ve $(m+1)$. tabaka geçiş yüzeylerinde manyetik alan bileşeninin sürekliliğinden

$$a_m e^{-u_m z_m} + b_m e^{u_m z_m} = a_{m+1} e^{-u_{m+1} z_{m+1}} + b_{m+1} e^{u_{m+1} z_{m+1}} \quad (2.18)$$

Elektrik alan bileşeninin sürekliliğinden de

$$\begin{aligned} & \frac{u_m}{\sigma_m + j\omega \epsilon_m} (a_m e^{-u_m z_m} - b_m e^{u_m z_m}) \\ & = \frac{u_{m+1}}{\sigma_{m+1} + j\omega \epsilon_{m+1}} (a_{m+1} e^{-u_{m+1} z_m} - b_{m+1} e^{u_{m+1} z_m}) \end{aligned} \quad (2.19)$$

Gelen dalganın $\vec{H}_{0,y} = \vec{H}_0 e^{-\gamma_0 z} e^{-j\lambda x}$ olduğu gözönüne alınarak $a_0 e^{-u_0 z}$, $e^{-j\lambda x}$ in gelen dalgayı $b_0 e^{u_0 z} e^{-j\lambda x}$ in yansıtın dalgayı gösterdiğini çıkarabiliriz. En üst tabakanın yansıtma katsayıısı

$$\frac{b_0}{a_0} = \frac{K_0 - Z_1}{K_0 + Z_1} \quad (2.20)$$

Kaskad bağlanmış transmisyon hatlarında empedans uydurma işlemlerinde olduğu gibi Z_1 empedansı diğer katmanların empedansları cinsinden

$$Z_1 = K_1 \frac{Z_2 + K_1 \tanh u_1 h_1}{K_1 + Z_2 \tanh u_1 h_1}$$

$$Z_2 = K_2 \frac{Z_3 + K_2 \tanh u_2 h_2}{K_2 + Z_3 \tanh u_2 h_2}$$

.

.

.



$$Z_{m-1} = K_{m-1} \frac{Z_m + K_{m-1} \tanh u_{m-1} h_{m-1}}{K_{m-1} + Z_m \tanh u_{m-1} h_{m-1}} \quad (2.21)$$

$$Z_m = K_m$$

olarak yazılır.

Burada $K_m = \frac{u_m}{(\sigma_m + j\omega \epsilon_m)}$ karakteristik dalga empedansıdır.

2.4. DALGA EĞİLMESİ (WAVE TILT)

Dalga eğilmesi elektromanyetik düzlem dalganın yatay bileşeninin düşey bileşenine oranı şeklinde tanımlanır.

$$W_{TM} = \frac{E_{ox}}{E_{oz}} \Big|_{z=0} \quad (2.22)$$

Alanların teğetsel bileşenlerinin sürekliliğinden

$$W_{TM} = \frac{E_{1x}/H_{1y}}{E_{oz}/H_{oy}} \Big|_{z=0} \quad (2.23)$$

alarak

$$E_{1x}/H_{1y} = Z_1, \quad E_{oz}/H_{oy} = -\frac{\gamma_0 \sin \theta}{j\omega \epsilon_0} \quad (2.24)$$

yerine konarak dalga eğilmesi

$$W_{TM} = \frac{j\omega \epsilon_0 Z_1}{\gamma_0 \sin \theta} \quad (2.25)$$

bulunur. Yerin homojen yarı sonsuz uzay olması koşulunda $h_1 \rightarrow \infty$ iken

$$Z_1 = K_1 = \frac{u_1}{(\sigma_1 + j\omega \epsilon_1)} \quad (2.26)$$

Burada $u_1 = (\gamma_1^2 - \gamma_0^2)^{1/2}$, $\gamma_1 = j\beta_0 N_1$, $\beta_0 = \frac{\omega}{c}$, N ise katmanın kırılma endisi olup değeri

$$N_1 = (\epsilon_{r1} - j\frac{\sigma_1}{\omega \epsilon_0})^{1/2} \quad (2.27)$$

$$x_1 = \frac{\sigma_1}{\omega \epsilon_0} = \frac{18 \times 10^3 \times \sigma_1}{f(\text{MHz})} \quad \text{kısaltması sonucu} \quad N_1 = (\epsilon_r - jx_1)^{1/2} \quad \text{alınarak yarı uzay için dalga eğilmesi}$$

$$W_{OTM} = \frac{(N_1^2 - \sin \theta)^{1/2}}{N_1^2 \sin \theta} \quad (2.28)$$

elde edilir. Elektromanyetik dalganın yalayarak gelmesi yani yüzey dalgası olması ($\theta=90^\circ$) koşulunda dalga eğilmesi

$$W_{OTM} \Big|_{\theta=90^\circ} = \frac{(N_1^2 - 1)^{1/2}}{N_1^2} \quad (2.29)$$

bulunur. Jeofizik açıdan büyük önemi olacak olan bu büyüklüğün genliği $|\Delta| < 1$ dir ve iletken yarı sonsuz ortam için sıfıra yakın çok küçük değerler alır. Δ nın fazı ise $0^\circ < |\Delta| < 45^\circ$ aralığında değişir.

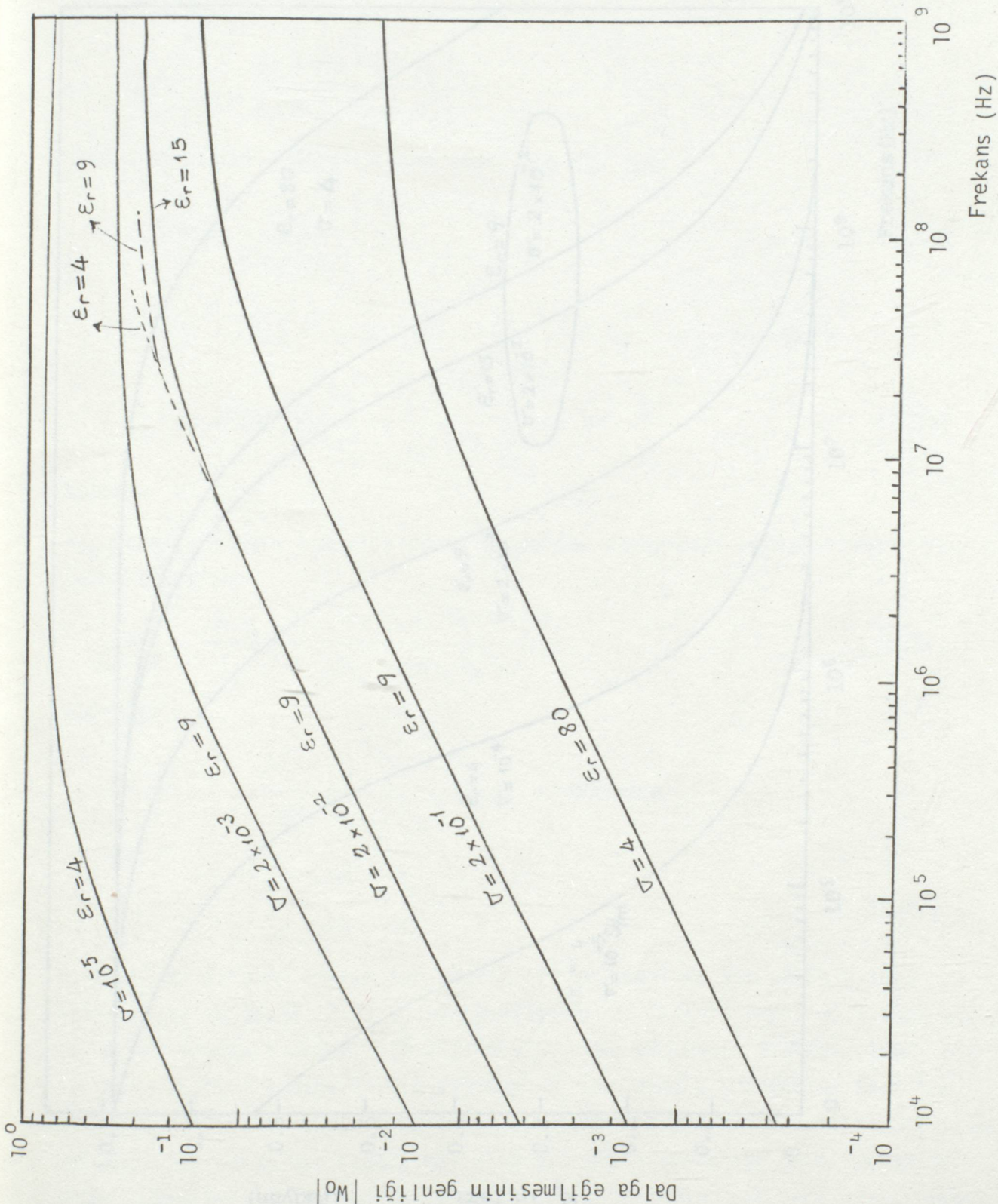
Şekil (2.4) ve Şekil (2.5) de farklı iletkenlik, dielektrik özelliğe sahip ortamlar için frekansa bağlı olarak dalga eğilmesinin faz ve genliği hesaplanmıştır. Yeri oluşturan kayaçların iletkenlik açısından geniş bir spektrum gösterdiği, dielektrik açısından değişimlerin ise iletkenlikteki değişim aralığına göre çok az olduğu koşullarda yöresel dalga eğilmesi :

$$W_{OTM} = \frac{(\epsilon_r - 1 - jx)^{1/2}}{(\epsilon_r - jx)} \cong \frac{1}{(-jx)^{1/2}} \cong \left(\frac{j}{x} \right)^{1/2} \quad (2.30)$$

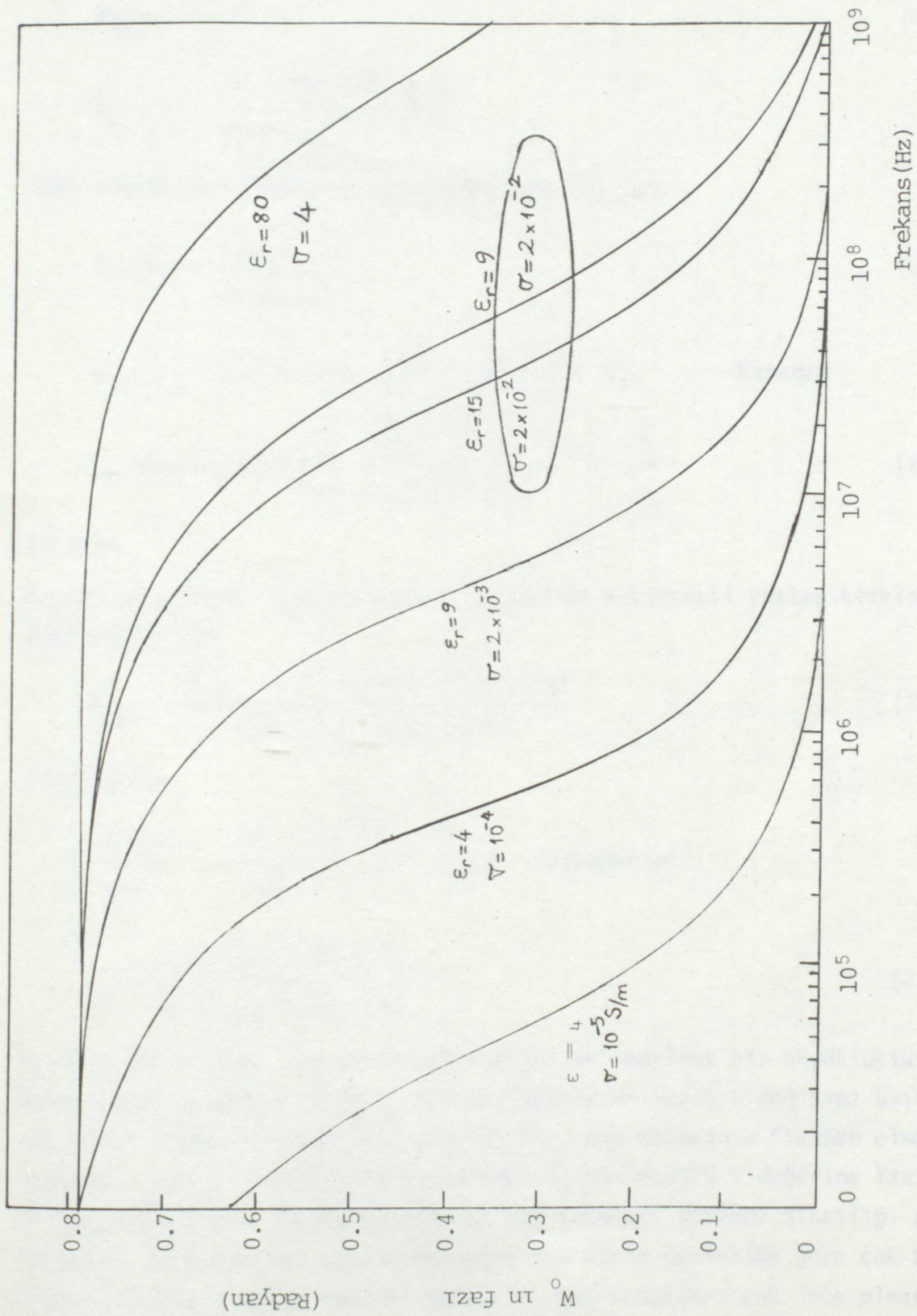
olarak alınabilir. Bu ise yerel iletkenlik değişimlerinin dalga eğilmesinin faz ve genliğinde doğrudan değişme yapması anlamına gelmektedir. Etkin derinlik bağıntılarında da konu edildiği gibi alçak frekanslarda dalga eğilmesi genliğinin dielektrik sabitinin değişimine karşı duyarlı olmadığı, $\sigma > 10^{-3}$ S/m iletkenlikleri için $f < 1$ MHz frekanslarında bu durumun gözüktüğü iletkenlik arttıkça, dielektrik özelliğe duyarsızlık frekans değerlerinininde sınırları arttığı görülmektedir. Dalga eğilmesinin fazı ise 0° ile 45° arasında değişir. Çok iletken ortamlarda hemen hemen tüm frekanslarda faz açısı 45° dolayında seyretmekte iletkenlik azaldıkça frekansın artımıyla birlikte Şekil (2.5) gibi 0'a yaklaşmaktadır.

Tabakalanmış yapı koşulunda dalga eğilmesi yüzey dalgası için ($\theta=90^\circ$)





Şekil (2.4) Homojen yarı uzay koşulunda dalgıç eğilmesi genliğinin değişimi



Şekil (2.5) Homojen yarı uzay koşulunda dalgı eğilmesi fazının değişimi.



$$W_{TM} = \frac{j\omega\epsilon_0}{\gamma_0} Z_1 \quad (2.31)$$

$$Z_1 = K_1 \frac{Z_2 + K_1 \tanh u_1 h_1}{K_1 + Z_2 \tanh u_1 h_1}$$

özel olarak iki tabakalı ortam koşulunda ($h_2 \rightarrow \infty$)

$$Z_2 = K_2 = \frac{u_2}{(\sigma_2 + j\omega\epsilon_2)} \quad (2.32)$$

$$u_2 = (\gamma_2^2 - \gamma_1^2)^{1/2}, \quad u_1 = (\gamma_1^2 - \gamma_0^2)^{1/2} \cong \gamma_1 \quad \text{buradan}$$

$$Z_2 / K_2 = K_2 / K_1 = \frac{(\gamma_2^2 - \gamma_1^2)^{1/2} \gamma_1^2}{(\gamma_1^2 - \gamma_0^2)^{1/2} \gamma_2^2} \cong -\frac{\gamma_1}{\gamma_2} \quad (2.33)$$

bulunur.

W_{TM} dalga eğilmesi bağıntısındaki Z_1 yerine yukarıdaki yaklaşıklıklar yerleştirildiğinde

$$W_{TM} = \frac{j\omega\epsilon_0 K_1 (\gamma_1 / \gamma_2 + \tanh \gamma_1 h_1)}{\gamma_0 (1 + \gamma_1 / \gamma_2 \tanh \gamma_1 h_1)} \quad (2.34)$$

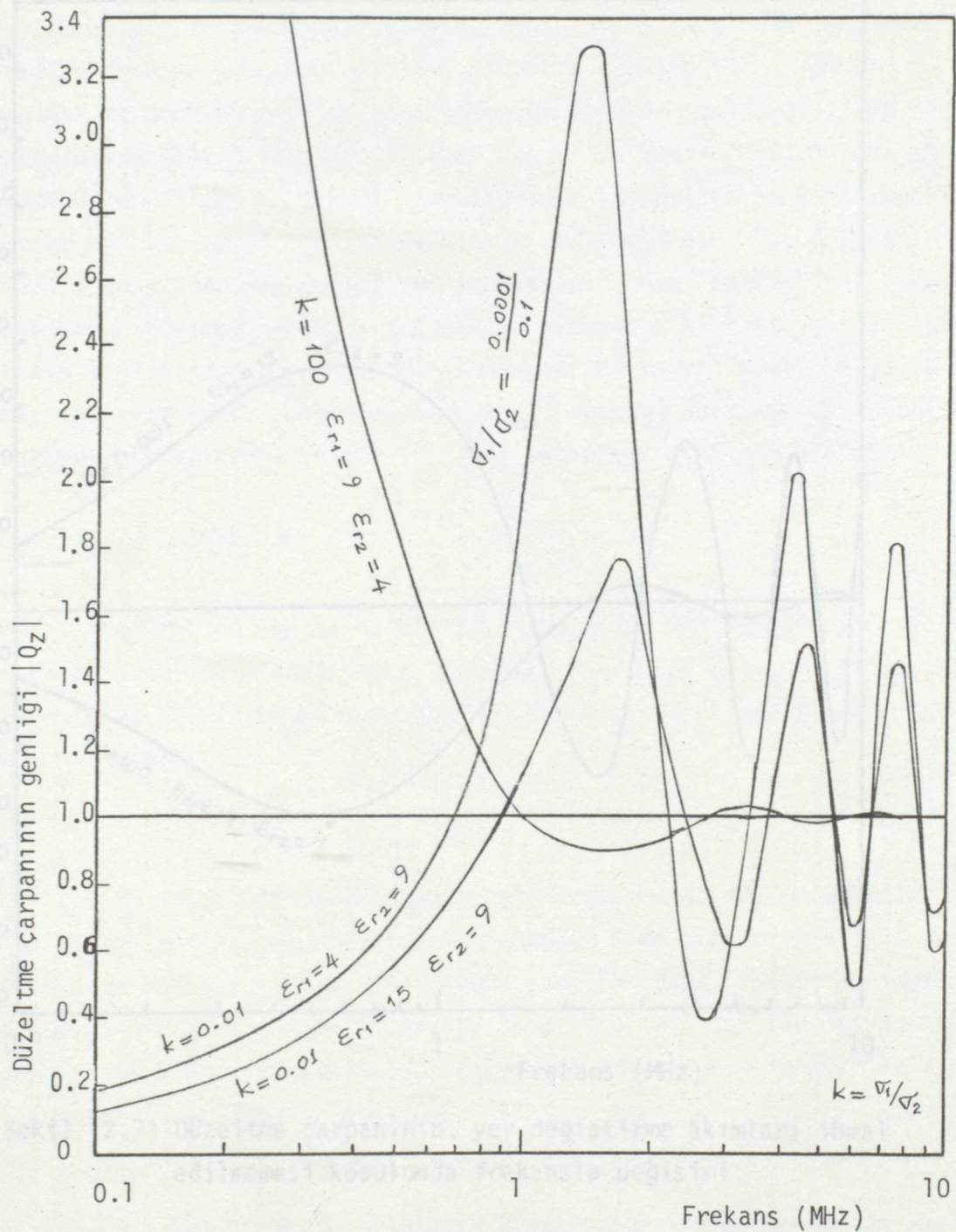
elde edilir.

$$\frac{j\omega\epsilon_0 K_1}{\gamma_0} = \frac{(N_1^2 - 1)^{1/2}}{N_1^2} = W_{OTM} \quad \text{olduğundan}$$

$$Q_z \cong \frac{(\gamma_1 / \gamma_2) + \tanh \gamma_1 h_1}{1 + (\gamma_1 / \gamma_2) \tanh \gamma_1 h_1} \quad (2.35)$$

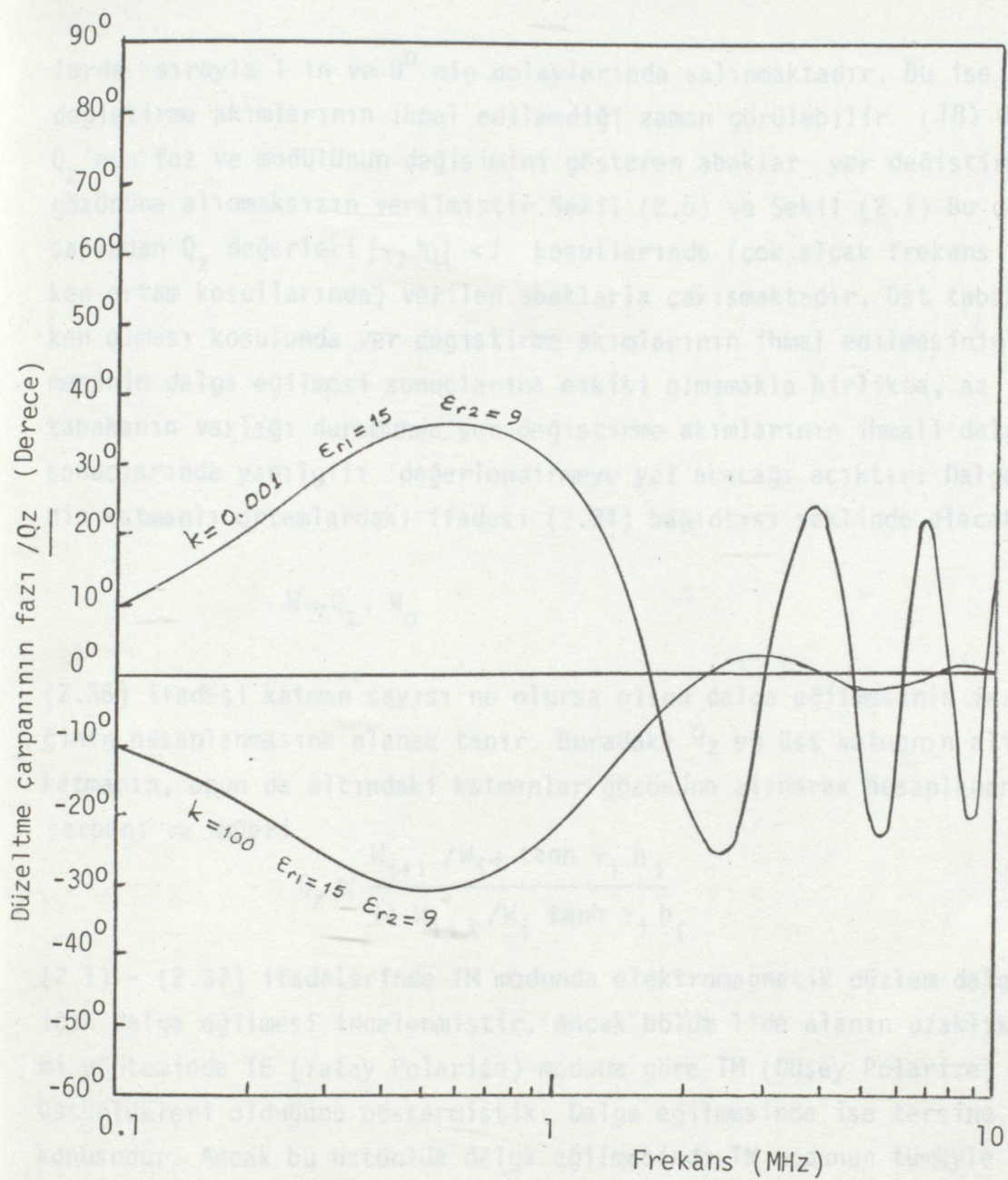
Q_z düzeltme çarpanı olarak tanımlanabilir ve kompleks bir büyüklüktür.

Şekil (2.6) ve Şekil (2.7) Q_z 'nun genliğinin ve fazının değişimi alınan bir kaç örnek tabakalı ortam için çizilmiştir. Üst tabakanın iletken olması koşulunda $|\gamma_1 h_1| \gg 1$ değerleri aldığından Q_z 'nun modülü 1 değerine fazı ise 0° yakınsamaktadır. Böyle koşullarda alt tabakayı gözleme olasılığı çok azalmaktadır. Bu durum üst tabaka kalınlığının etkin derinliğe göre çok büyük olması koşullarında da kendini gösterir. Üst tabakanın çok ince olması koşulunda durum yarı sonsuz tek ortam durumundakinin aynıdır. Üst tabakanın iletkenliğinin $\sigma < 10^{-2} S/m$ olması koşullarında Q_z 'nun faz ve modülü yüksek frekans-



Şekil (2.6) Düzeltme çarpanının genliğinin, yerdeğiştirme akımlarının ihmal edilmemesi koşulunda birkaç farklı ortam için frekansla değişimi.





Şekil (2.7) Düzeltme çarpanının, yer değiştirme akımları ihmal edilmemesi koşulunda frekansla değişimi.



larda sırayla 1 in ve 0^0 nin dolaylarında salınımaktadır. Bu ise ancak yer değiştirmeye akımlarının ihmali edilmediği zaman görülebilir (18) de Q_z 'nun faz ve modülünün değişimini gösteren abaklar yer değiştirmeye akımları gözönüne alınmaksızın verilmiştir. Şekil (2.6) ve Şekil (2.7) Bu çalışmada hesaplanan Q_z değerleri $|\gamma_1 h_1| \ll 1$ koşullarında (çok alçak frekans veya az iletken ortam koşullarında) verilen abaklarla çakışmaktadır. Üst tabakanın iletken olması koşulunda yer değiştirmeye akımlarının ihmali edilmesinin yada edilmesinin dalga eğilmesi sonuçlarına etkisi olmamakla birlikte, az iletken üst tabakanın varlığı durumunda yer değiştirmeye akımlarının ihmali dalga eğilmesi sonuçlarında yanlışlı değerlendirmeye yol açacağı açıklıdır. Dalga eğilmesinin katmanlı ortamlardaki ifadesi (2.34) bağıntısı şeklinde olacaktır.

$$W = Q_z \cdot W_0 \quad (2.36)$$

(2.36) ifadesi katman sayısı ne olursa olsun dalga eğilmesinin faz ve genliğinin hesaplanması olanak tanır. Buradaki Q_z en üst katmanın altındaki katmanın, onun da altındaki katmanlar gözönüne alınarak hesaplanan düzeltme çarpanı ve değeri

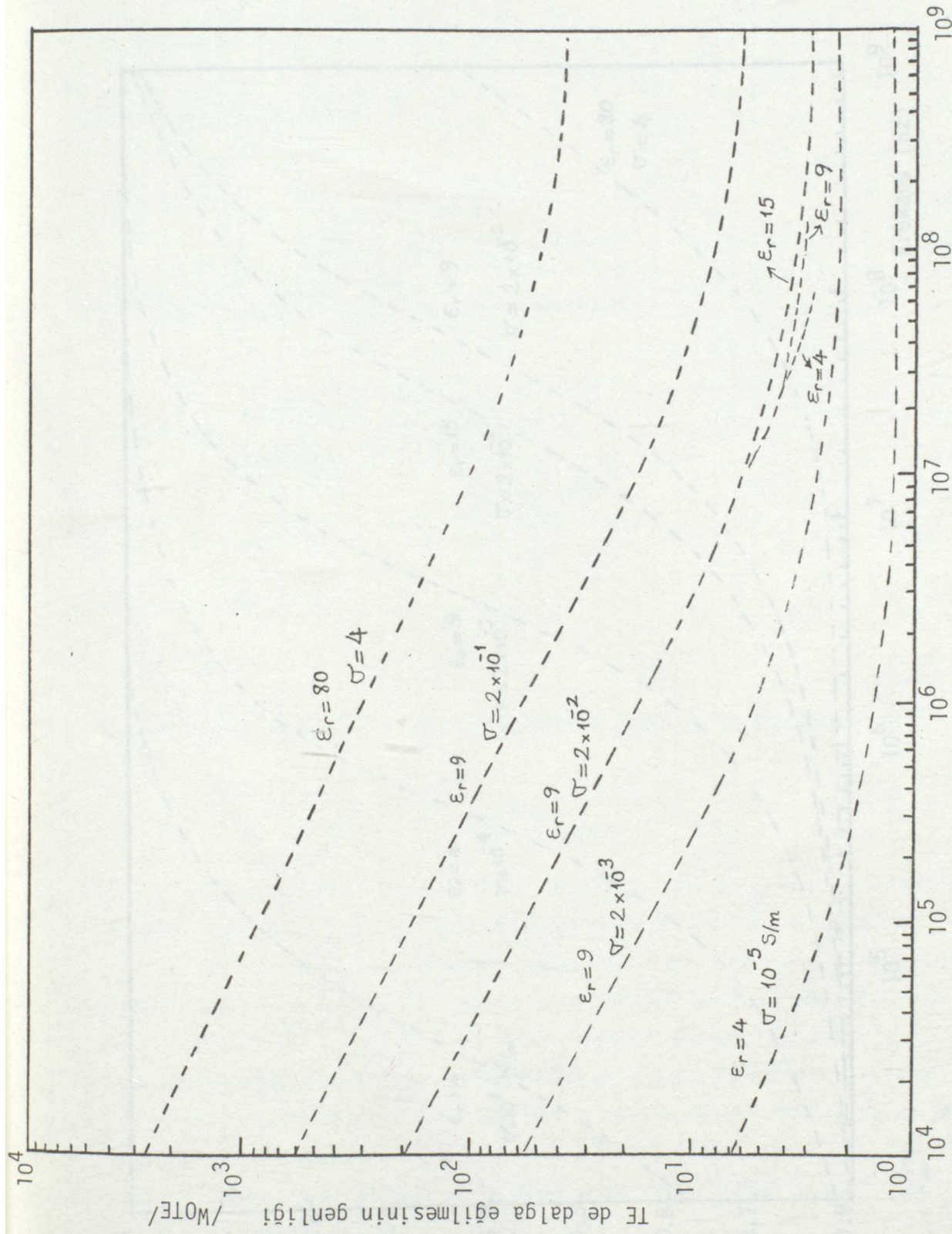
$$Q_z \cong \frac{W_{i+1}/W_i + \tanh \gamma_i h_i}{1 + W_{i+1}/W_i \tanh \gamma_i h_i} \quad (2.37)$$

(2.1) - (2.37) ifadelerinde TM modunda elektromagnetik düzlem dalgaları için dalga eğilmesi incelenmiştir. Ancak bölüm 1'de alanın uzaklıkla değişimi yönteminde TE (Yatay Polarize) moduna göre TM (Düsey Polarize) modunun üstünlükleri olduğunu göstermiştir. Dalga eğilmesinde ise tersine durum söz konusudur. Ancak bu üstünlük dalga eğilmesinde TM modunun tümüyle kullanılmasını gerektirecek düzeyde değildir.

2.5. TE (Yatay Polarize) MODUNDA DALGA EĞİLMESİ

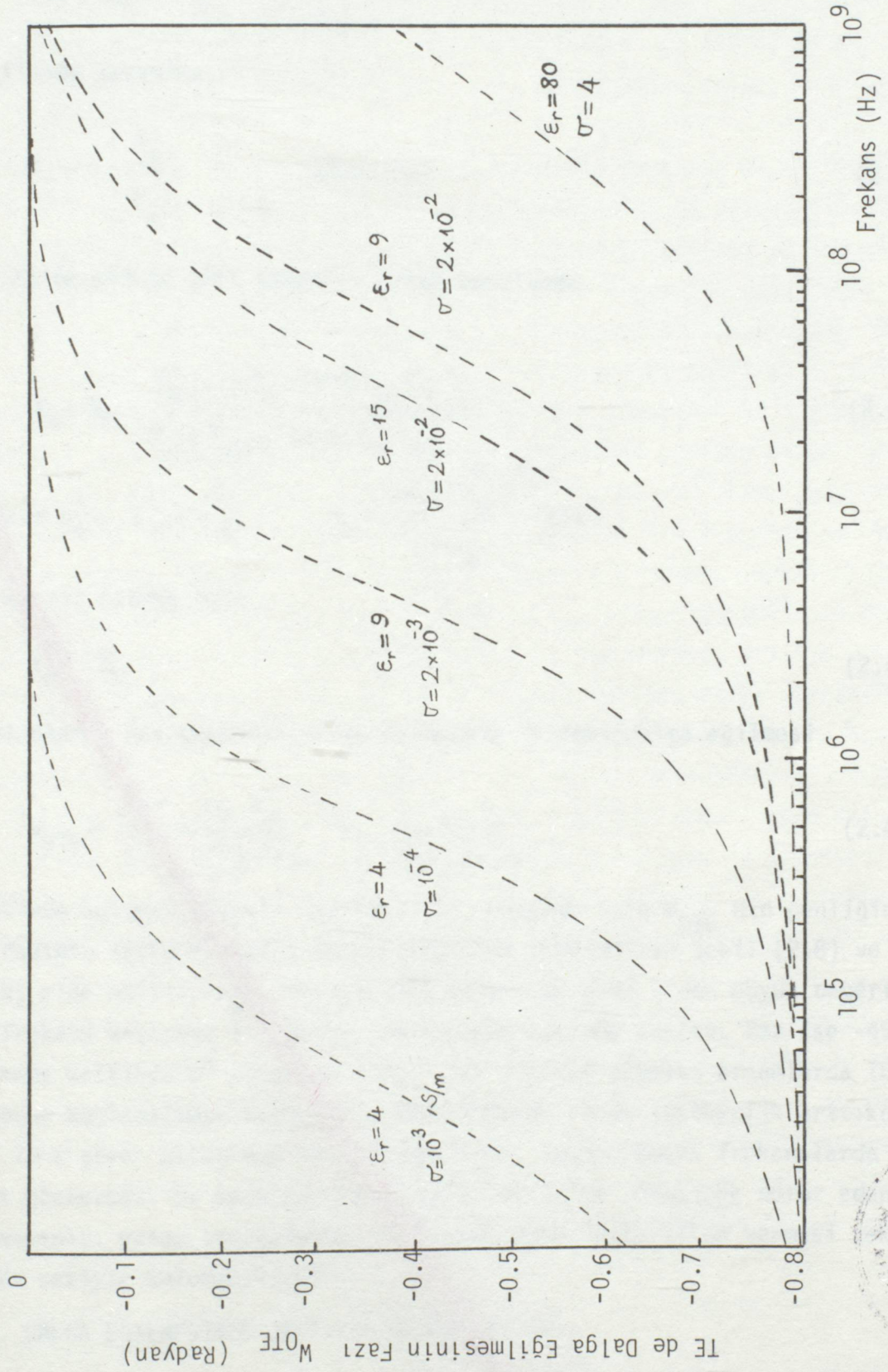
Şekil (2.2) de TE ve TM modundaki elektromagnetik yüzey dalgasının sürekli sınırlarda sınır koşullarının gerçekleşmesi sonucunda elektrik ve mагnetik alan bileşenlerinin alacağı değerler vektörlerle gösterilmiştir. Burada zayıf iletken ortam üzerinde (TM) dalga eğilmesi genliği iletken ortama göre daha büyük ve fazı zayıf iletken ortamda 45^0 den küçük değerde, iletken ve Şekil (2.5) ile de doğrulanmıştır. TE modunda ise dalga eğilmesi





Sekil (2.8) TE modunda yüzey dalgasının homojen yarı uzay koşulunda dalga eğilmesi genliğinin farklı ortamlarda frekansa bağlı olarak değişimi.





Şekil (2.9) TE modunda yüzey dalgasının homojen yarı uzay koşulunda dalga eğilmesi fazının farklı ortamlarda frekansa bağlı olarak değişimi.

$$W_{TE} = \frac{H_z}{H_x} = \frac{H_v}{H_h} = \frac{1}{Y_1 \mu_0 / \epsilon_0} \quad (2.38)$$

şeklinde tanımlanır.

$$Y_1 = - \frac{H_{ox}}{E_{oy}} \Big|_{z=0} \quad (\text{admitans}) \quad (2.39)$$

(2.2)'de olduğu gibi tabakalı ortam koşulunda

$$Y_m = N_m \frac{Y_{m+1} + N_m \tanh u_m h_m}{N_m + Y_{m+1} \tanh u_m h_m} \quad (2.40)$$

burada $u_m^2 = \gamma_0^2 - \gamma_m^2$, $N_m = \frac{(\gamma_0^2 - \gamma_m^2)^{1/2}}{j \omega \mu_0}$ dır.

ve en alt katman için

$$Y_N = N_N \quad (2.41)$$

Özel olarak tek katmanlı ortam durumunda TE deki dalga eğilmesi

$$W_{OTE} = \frac{j \omega \mu_0 \epsilon_0}{(\gamma_0^2 - \gamma_1^2)^{1/2}} = \frac{j}{(N_1^2 - 1)^{1/2}} \quad (2.42)$$

şeklinde bulunur. Farklı iletkenlikli ortamlar için W_{OTE} nin genliğinin ve fazının frekansa bağlı olarak değişimi incelenirse Şekil (2.8) ve Şekil (2.9) elde edilir. W_{OTE} nin genliği görüldüğü gibi 1'den büyük değerler alır, ve frekans arttıkça 1 değerine yaklaşacak biçimde azalır. Faz ise -45° den, frekans arttıkça 0° ye doğru artar. Çok iletken olmayan ortamlarda TE ve TM modunun kullanılması büyük bir fark yaratmaz ancak iletkenlik arttıkça TE nin TM e göre üstünlüğü kendini gösterir. Ancak yüksek frekanslarda bir fark göstermez. Bu sonuçlar yerin derinliklerine daha çok nüfuz eden TE dalgasının, yatay tabakalanma koşulunda daha fazla bilgi vermesi şeklinde de ön sezidle bulunabilirdi.

2.6. DALGA EĞİLMESİİNDE JEOFİZİK DEĞERLENDİRME

TM modunda dalga eğilmesinin faz ve genliğinin frekansa bağlı değişimi

iki tabakalı matematik modeller aracılığı ile bilgisayarla yapılan hesapların alınan sonuçları grafik şecline getirilmiştir. Şekil (2.11) deki modelde üst katmanın iletkenliği $\sigma_1 = 10^{-4} \text{ s/m}$, alt katmanın iletkenliği $\sigma_2 = 10^{-4} \text{ s/m}$ dir. Modelde birinci tabakanın $h_1 = 1, 10, 50 \text{ m}$ kalınlıkları için dalga eğilmesi sonuçları çizilmiştir.

1 m kalınlıklı birinci ortamda dalga eğilmesinin frekansa bağlı değişimi büyük bir frekans aralığında değişme göstermemektedir. Ve dalga eğilmesinin değeri 1-20 MHz frekans aralığında $|W_{TM}| = 0.2 - 0.5$ aralığında çok az bir değişme gösterir. 50 m kalınlıklı birinci ortam koşulunda dalga eğilmesi genliği, $\Delta f = 1.8 \text{ MHz}$ frekans aralığında iki doruk noktasına ulaşarak $|W_{TM}| = 0.4 - 0.74$ aralığında değişir. Aynı ortamlar için fazdaki değişim de genlikteki değişime benzer biçimde seyretmektedir. Birinci tabakanın az iletken olması nedeniyle $h_1 = 50 \text{ m}$ derinlikteki tabakanın altındaki yapının etkisi gözlemlenemektedir. Etkin derinlik grafiklerinden $\sigma_1 = 10^{-4} \text{ s/m}$ için etkin derinlik değerine bakılırsa $\delta \approx 150 \text{ m}$ dolayındadır. $h_1 = 1 \text{ m}$ için ise kalınlığın ince olması nedeniyle üst tabakanın etkisi gözlenemez. Şekil (2.13) ve Şekil (2.14) deki $\epsilon_{r1} = 9, \sigma_1 = 2 \times 10^{-2} \text{ s/m}$ ve $\epsilon_{r2} = 81, \sigma_2 = 2 \times 10^{-1} \text{ s/m}$ dielektrik, iletkenlik özelliklerini içeren modelde ise birinci ortamın etkin derinliği 1 MHz den küçük freksnlarda $\delta > 30 \text{ m}$, 1 MHz den büyük freksnlarda 30 m den küçük değerler alarak azalır. Bu modelde birinci ortamın $h_1 = 50 \text{ m}$ kalınlığındaki değeri için alt tabakanın etkisinin gözlenemediği, diğer $h_1 = 10 \text{ m}$ ve $h_2 = 5 \text{ m}$ kalınlıkları için ise bir önceki modele göre dalga eğilmesinin genliği ve fazındaki dalgalanmanın çok az olduğu görülmektedir. Şekil (2.15) deki $\epsilon_{r1} = 9, \sigma_1 = 0.02 \text{ s/m}$ ve $\epsilon_{r2} = 5, \sigma_2 = 10^{-5} \text{ s/m}$ elektriksel parametrelerine sahip modelde ise birinci tabaka iletkenliğinin altındaki tabaka iletkenliğine göre büyük ve birinci tabaka iletkenliğinin yüksek freksnlarda etkin derinliğinin az olması birinci ortamın kalkan etkisi yaratlığı anlamına gelir. Dolayısıyla tabakaları ayırdetmek güçleşir. Az tabakalı ortamlarda modellerden elde edilen eğriler oldukça sade ve eğri uydurma yöntemlerinden sayısal yada grafik yöntemlerinin herhangi birinin seçiminin sonucta fazla etkili olmayacağı ancak tabaka sayısı 3 veya daha fazla olduğunda görünür rezistivite eğrilerinin değerlendirilmesinde olduğu gibi (1,39) sayısal çözüm yöntemlerini uygulamanın yararları olacaktır. Çalışılan frekansın yüksek olması, etkin derinliğin fazla olmaması bu problemi karşımıza çıkarmaz.



Yatay tabakalı ortam üzerindeki yüzey dalgasının yatay süreksizliklerden yansıması sonucu düşey doğrultudaki katedilen yoldan kaynaklanan faz kayması geometrik optik yaklaşımına göre

$$\phi = 2 h_1 \beta_0 (\epsilon_r - 1)^{1/2} \quad (2.43)$$

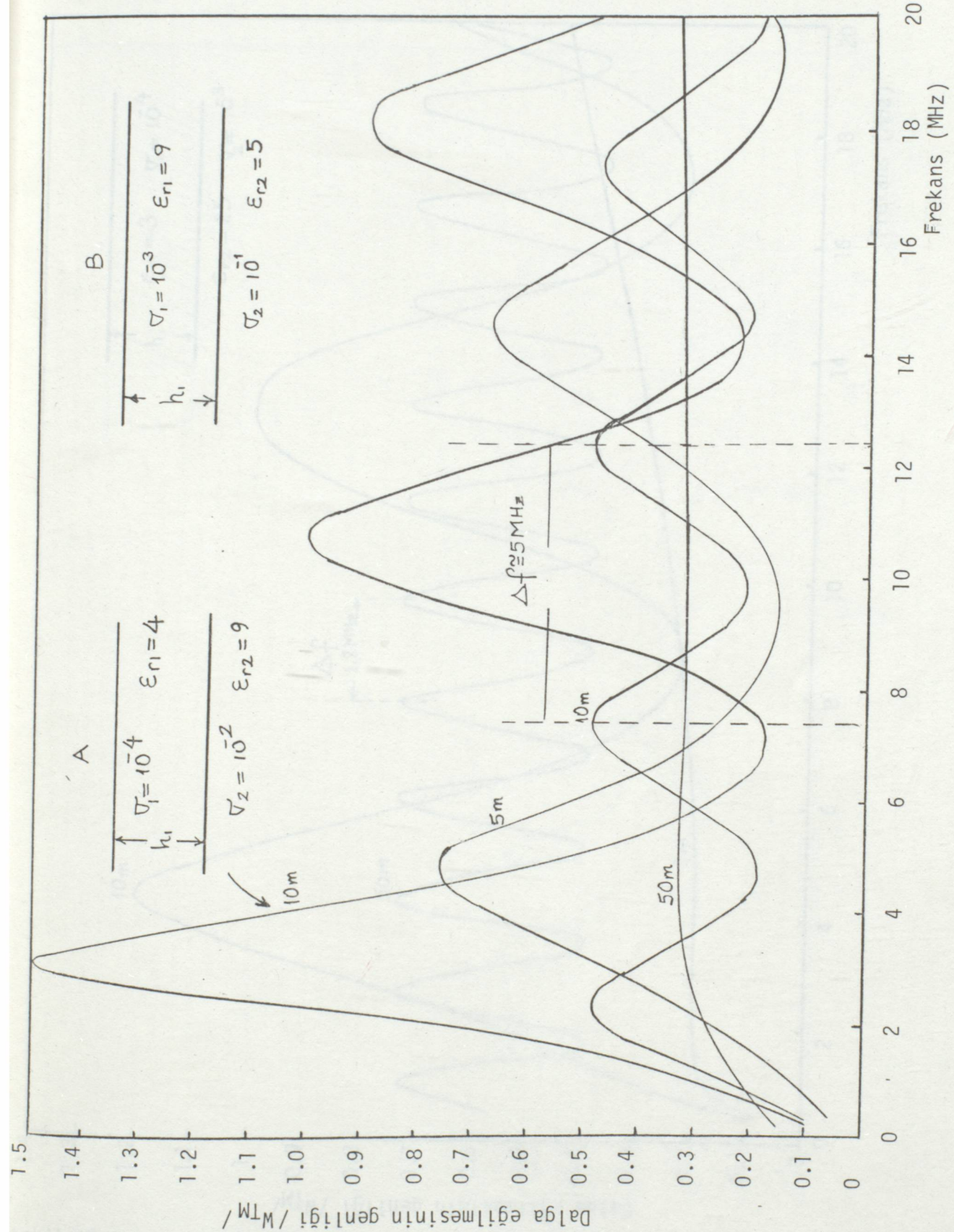
dir.

Yatay süreksizlik koşulunda dalga eğilmesinin genliğinin frekansla değişimi incelendiğinde, dalga eğilmesinin genliğinin ardışık maksimumları ve minimumları arasındaki frekans farkında ($f_2 - f_1 = \Delta f$) , faz kayması farkı $\Delta \phi = 2\pi$ olur. Buna göre (2.43) den

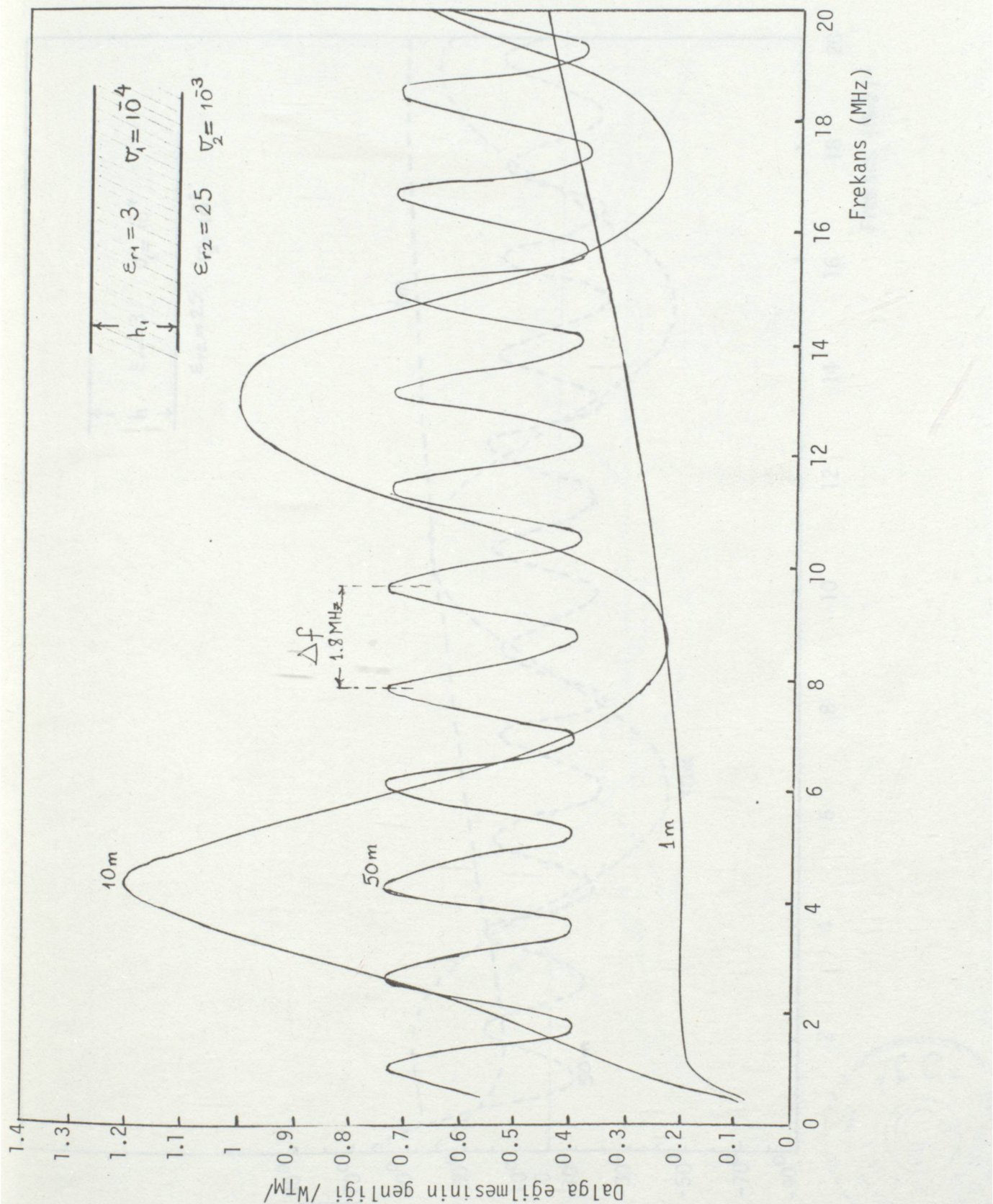
$$h_1 = \frac{c}{2 \Delta f (\epsilon_r - 1)}^{1/2} \quad (2.44)$$

bulunur. Şekil (2.10) daki B modelinde $h_1 = 10$ kalınlıklı model için ince- lendiğinde $\Delta f = 5.1$ MHz, $\epsilon_r = 9$ için katman kalınlığı $h_1 = 10$ m olarak bulu- nır. Şekil (2.10) deki 50 m kalınlıklı ortamla, Şekil (2.11) deki 1 m kalın- lıklı ortamın geniş bir frekans aralığında gözlenebilmesi olanaksızdır. Şekil (2.10) da $\sigma_1 = 10^{-3}$ s/m iletkenlik değerine sahip birinci ortamın $h_1 = 50$ m kalınlığı için bulunan sonuçlar geniş bir frekans aralığında değişme göster- memesine karşın, Şekil (2.11) de $\sigma_1 = 10^{-4}$ s/m iletkenliğine sahip $h_1 = 50$ m kalınlığı için bulunan sonuçlarda dalga eğilmesinin genliği ve fazının ardışık iki maksimumu ve minimumu arasındaki değerleri alabilmesi için $\Delta f = 1.8$ MHz frekans aralığının yeterli olabileceği ortaya çıkar.

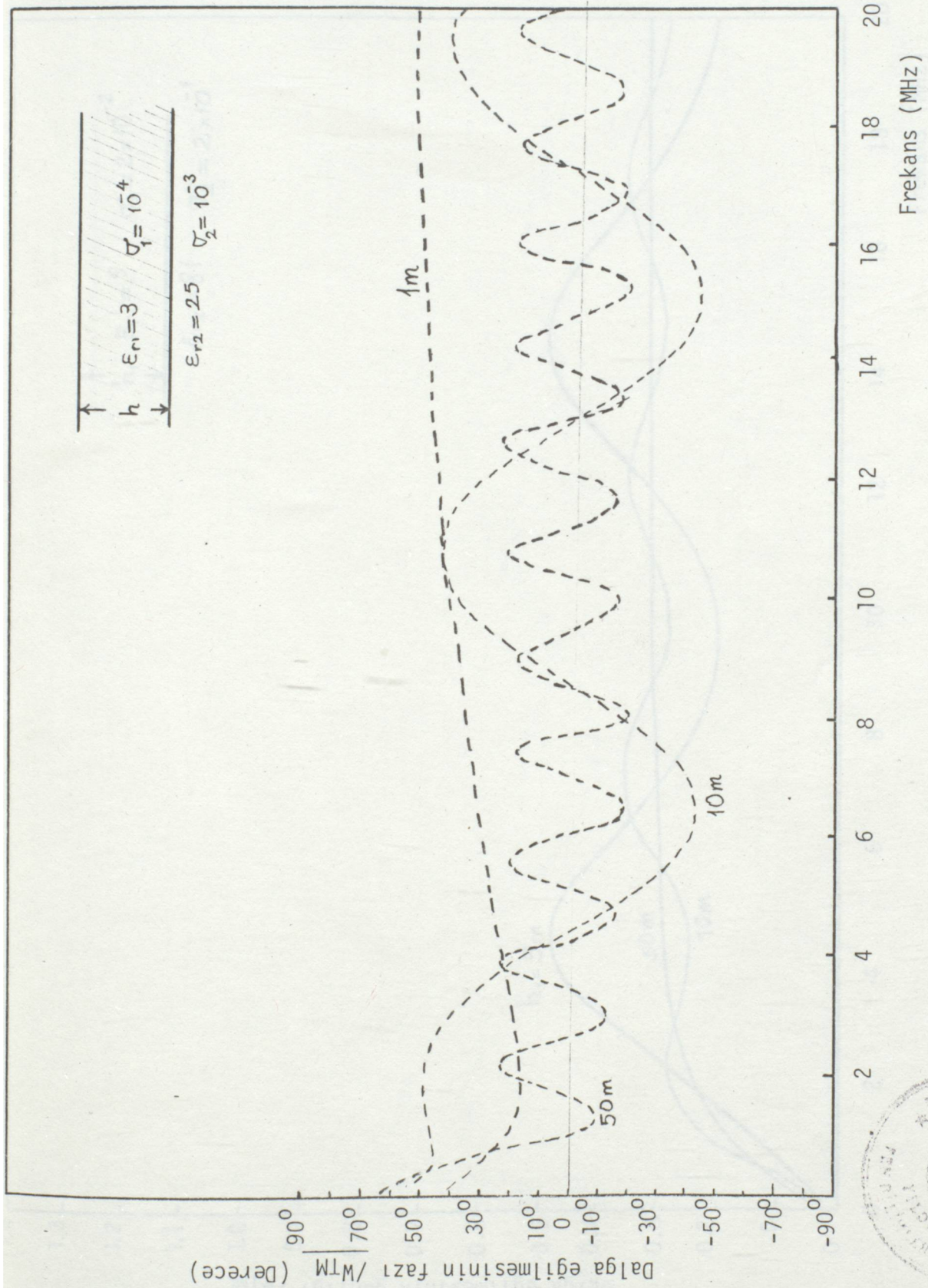




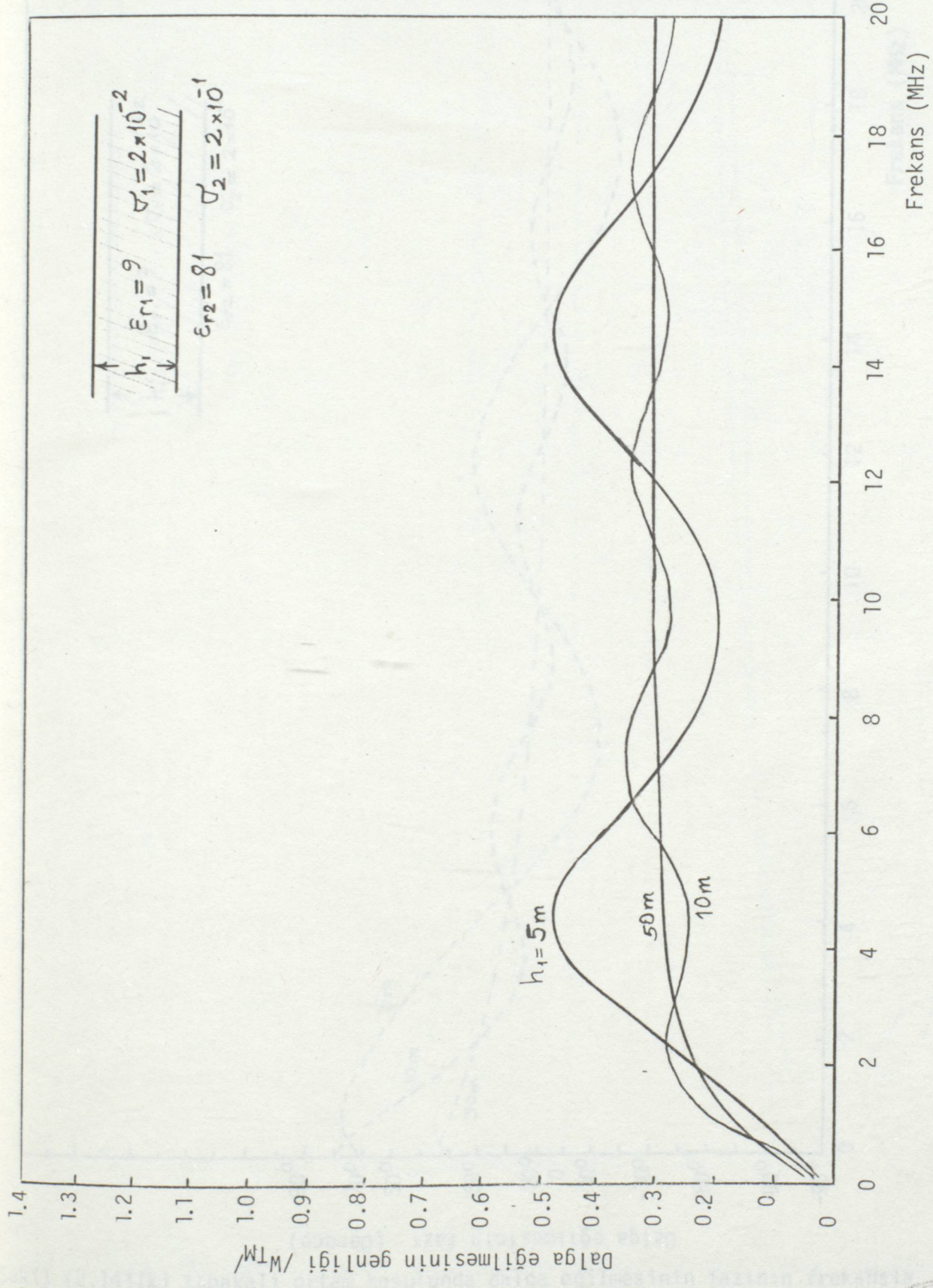
Şekil (2.10) İki tabakalı ortam için dalga eğilmesinin genliğinin W_{TE} frekansla değişimi.



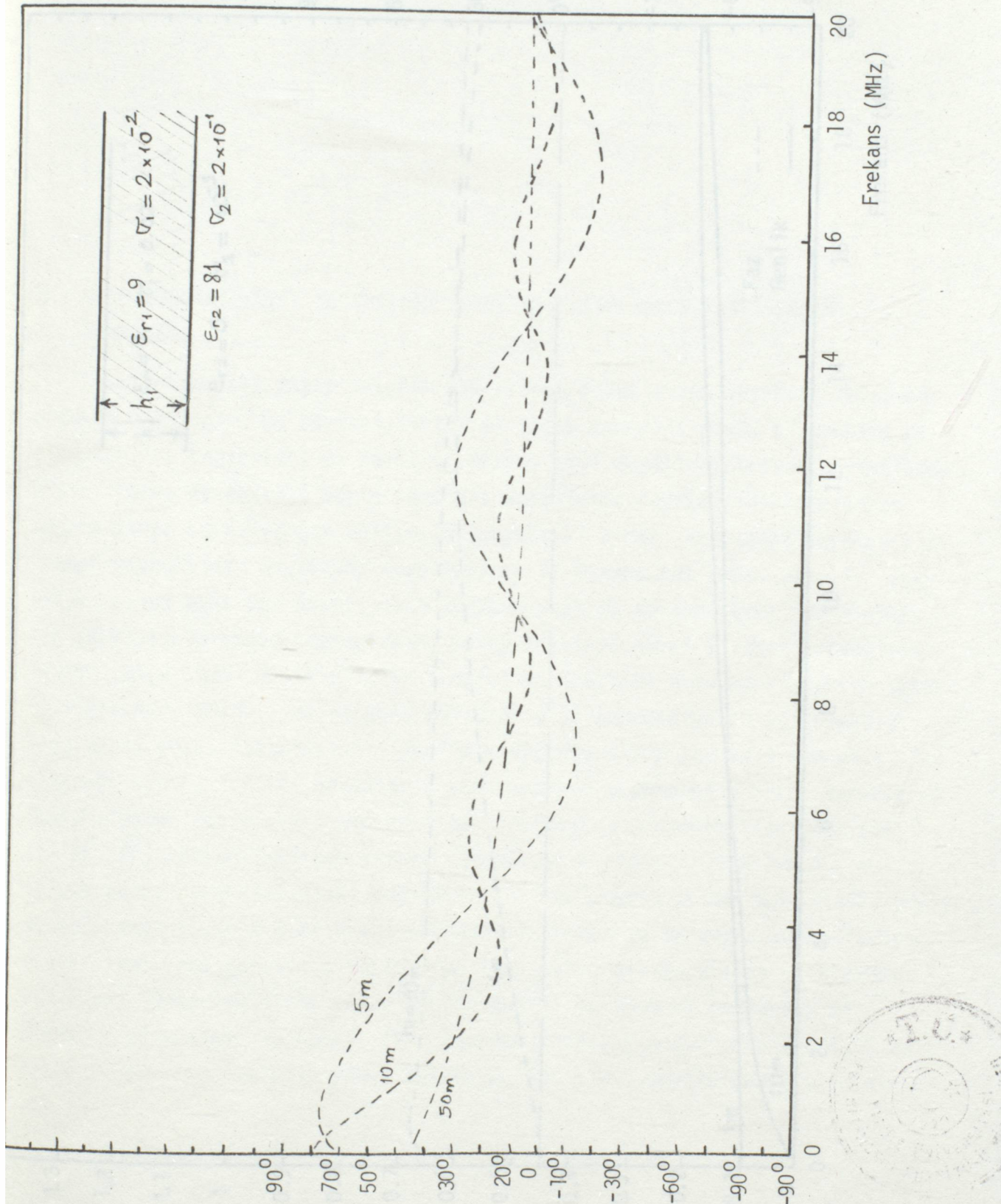
Sekil (2.11) Homojen iki tabakalı koşulda dalga eğilmesinin (ω_{TM}) genliğinin frekansla değişimi.



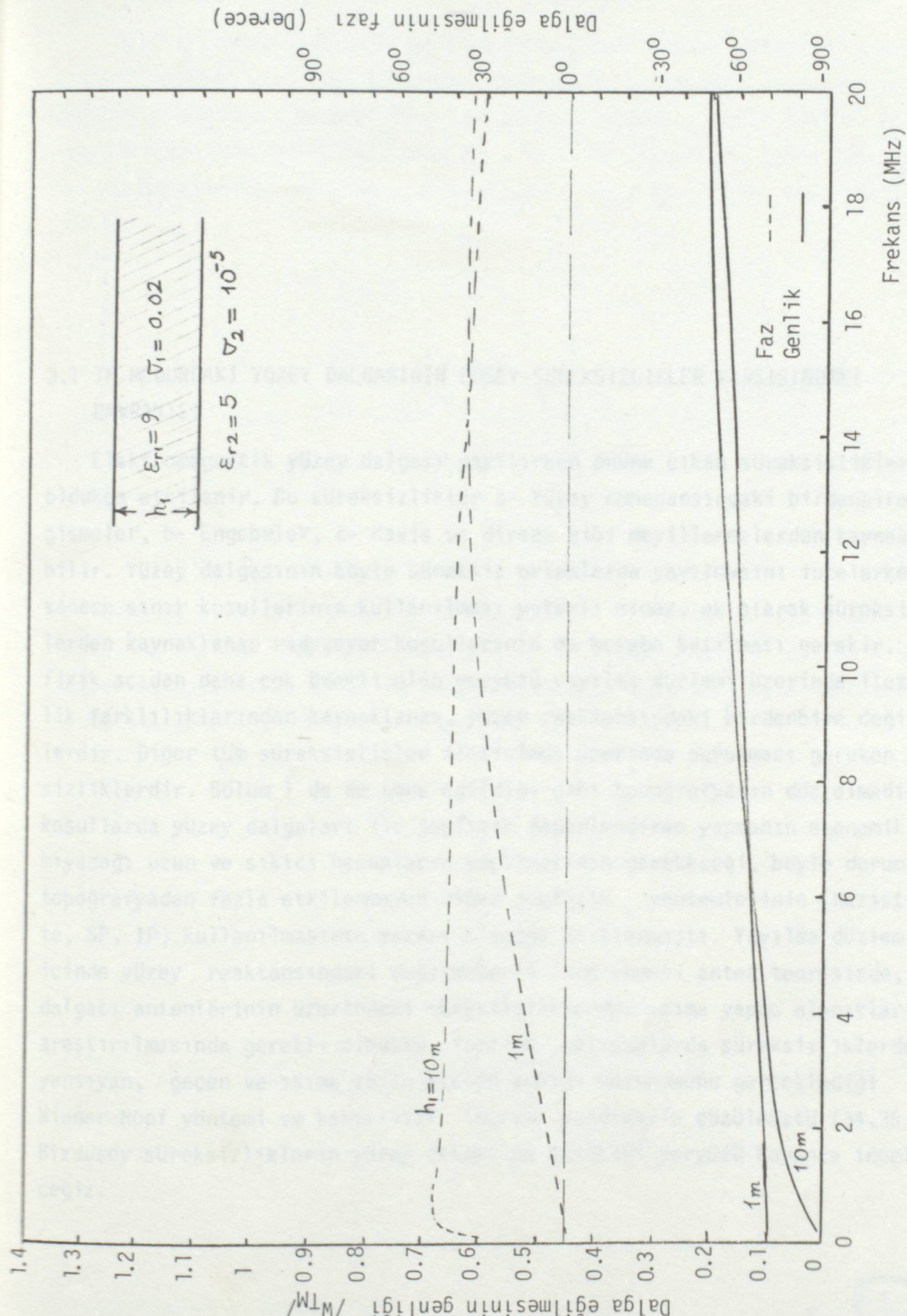
ekil (2.12) İki tabakalı ortam koşulunda dalga eğilmesinin fazının frekansla değişimi.



Şekil (2.13) İki tabakalı ortam koşulunda dalga eğilmesinin genliğinin fre-
kansla değişimi.



(2.14) İki tabaklı ortam koşulunda dalgıç eğilmesinin fazının frekansla değişimi.



Şekil (2.15) İki tabakalı ancak üst tabakanın kısmen iletken olması koşulunda dalga eğilmesinin faz ve genliğinin frekansla değişimi.

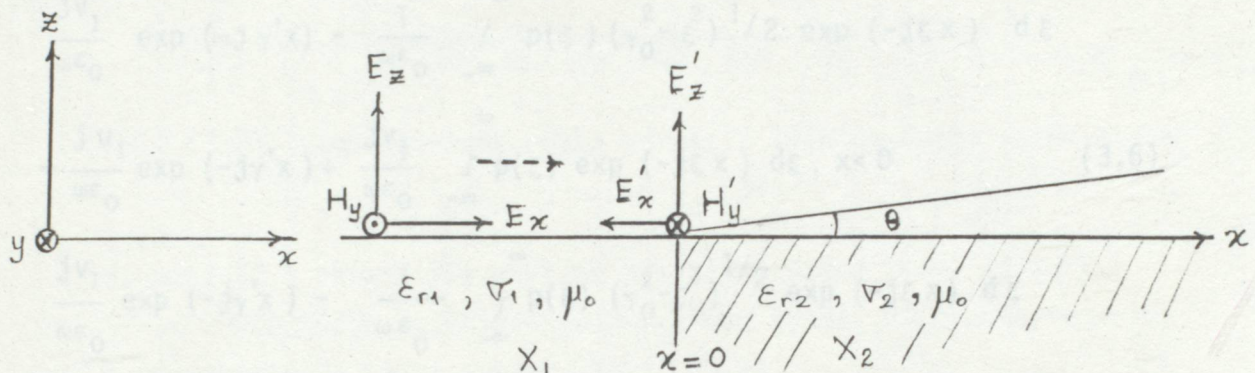
Peritik doğrultusunda yayılan TM modundaki yüzey dalgasını geçmekte alalım. İciler koordinat sistemine göre $x=0$ noktasında yarıçaplı oluşturulan yüzeyin elektriksel parametresindeki değişim oldığını kabul edelim. ϵ_0 düzleminde $x < 0$ için yüzey reaktansı X_{\perp} ve $\epsilon = \epsilon_0$ olursa, dalgan yüzey dalgasının sadece sabit konumda $x < 0$ için $X_{\perp} = X_0$ olur. Sekil 13.1.

3.1 TM MODUNDAKİ YÜZEK DALGASININ DÜŞEK SÜREKSİZLİKLER KARŞISINDAKİ DAVRANIŞI

Elektromagnetik yüzey dalgası yayılırken önüne çıkan süreksızlıklarından oldukça etkilenir. Bu süreksızlıklar a- Yüzey empedansındaki birdenbire değişimler, b- Engebeler, c- Kavis ve dirsek gibi meyillenmelerden kaynaklanabilir. Yüzey dalgasının böyle süreksiz ortamlarda yayılmasını incelerken sadece sınır koşullarının kullanılması yeterli olmaz, ek olarak süreksızlıkların kaynaklanan radyasyon koşullarının da hesaba katılması gereklidir. Jeofizik açıdan daha çok önemli olan yeryüzü yayılma düzlemi üzerinde iletkenlik farklılıklarından kaynaklanan, yüzey reaktansındaki birdenbire değişimlerdir. Diğer tüm süreksızlıklar iletişimde üzerinde durulması gereken süreksızlıklarındır. Bölüm 1 de konu edildiği gibi topografyanın düz olmadığı koşullarda yüzey dalgaları ile jeofizik değerlendirme yapmanın ekonomik olamayacağı uzun ve sıkıcı hesapların yapılması gerekeceği, böyle durumlarda topografyadan fazla etkilenmeyecek diğer jeofizik yöntemlerinin (Rezistivite, SP, IP) kullanılmasının yararı olacağı açıklanmıştır. Yayılma düzlemi içinde yüzey reaktansındaki değişimlerin incelenmesi anten teorisinde, yüzey dalgası antenlerinin üzerindeki süreksızlıkların ışıma yapma olanaklarının araştırılmasında gerekli olmuştur. Yapılan çalışmalarda süreksızlıkların yansıtıcı, geçen ve ışıma yapan alanın enerji korunumunu gerçeklediği Wiener-Hopf yöntemi ve karşılıklık teoremi yardımıyla çözülmüştür (34,35,38). Biz düşey süreksızlıkların yüzey dalgasına etkisini yeryüzü boyunca inceleyeceğiz.



Pozitif x doğrultusunda yayılan TM modundaki yüzey dalgasını gözönüne alalım. Seçilen koordinat sistemine göre $x=0$ noktasında yeryüzünü oluşturan yapının elektriksel parametrelerinde değişme olduğunu kabul edelim. $z=0$ düzleminde $x < 0$ için yüzey reaktansı X_1 , $x > 0$ da X_2 olsun. Gelen yüzey dalgasının azalma sabiti $x < 0$ için $v_1 = \omega \epsilon_0 X_1$, $x > 0$ için $v_2 = \omega \epsilon_0 X_2$ dir. Şekil (3.1)



Şekil (3.1) Düşey süreksizlik üzerine gelen e.m. yüzey dalgası.

Sınırda sınır koşullarının gerçekleşmesi için, toplam alan, gelen yüzey dalgasının alanına, ek bir alanın eklenmesi ile bulunabilir. Alanın y doğrultusunda değişmediğini kabul ederek, alanın sadece E_x , E_z ve H_y bileşenlerinin mevcut olduğunu söyleyebiliriz. Böylece

$$H_y = e^{-v_1 z - j \gamma' x} + \varphi_{ek} \quad (3.1)$$

Burada

$$\psi_{ek} = \int_{-\infty}^{\infty} p(\xi) \exp \left[-j\xi x - jz \left(\gamma_0^2 - \xi^2 \right)^{1/2} \right] d\xi \quad (3.2)$$

$$\gamma'^2 = \xi_0^2 + v_1^2 \quad (\gamma' \text{ faz sabitidir}). \quad (3.3)$$

Bilinmeyen $p(\xi)$ fonksiyonu $z=0$ düzleminde sınır koşulları uygulanarak bulunur.

$$\left. \begin{array}{l} x < 0 \text{ için } E_x/H_y = \frac{jv_1}{\omega\epsilon_0} \\ x > 0 \text{ için } E_x/H_y = \frac{jv_2}{\omega\epsilon_0} \end{array} \right\} \quad (3.4)$$

(3.1) denkleminden hareketle

$$E_x = \frac{jv_1}{\omega\epsilon_0} e^{-v_1 z - j\gamma' x} + \frac{1}{\omega\epsilon_0} \int_{-\infty}^{\infty} p(\xi) (\gamma_0^2 - \xi^2)^{1/2} \exp[-j\xi x - jz (\gamma_0^2 - \xi^2)^{1/2}] d\xi \quad (3.5)$$

$z=0$ için (3.4) den

$$\begin{aligned} & \frac{jv_1}{\omega\epsilon_0} \exp(-j\gamma' x) - \frac{1}{\omega\epsilon_0} \int_{-\infty}^{\infty} p(\xi) (\gamma_0^2 - \xi^2)^{1/2} \exp(-j\xi x) d\xi \\ &= \frac{ju_1}{\omega\epsilon_0} \exp(-j\gamma' x) + \frac{jv_1}{\omega\epsilon_0} \int_{-\infty}^{\infty} p(\xi) \exp(-j\xi x) d\xi, \quad x < 0 \end{aligned} \quad (3.6)$$

$$\begin{aligned} & \frac{jv_1}{\omega\epsilon_0} \exp(-j\gamma' x) - \frac{1}{\omega\epsilon_0} \int_{-\infty}^{\infty} p(\xi) (\gamma_0^2 - \xi^2)^{1/2} \exp(-j\xi x) d\xi \\ &= \frac{ju_2}{\omega\epsilon_0} \exp(-j\gamma' x) + \frac{jv_2}{\omega\epsilon_0} \int_{-\infty}^{\infty} p(\xi) \exp(-j\xi x) d\xi, \quad x > 0 \end{aligned} \quad (3.7)$$

bu denklemlerden sonuç olarak

$$x < 0 \text{ için } \int_{-\infty}^{\infty} p(\xi) [(\gamma_0^2 - \xi^2)^{1/2} + jv_1] \exp(-j\xi x) d\xi = 0 \quad (3.8)$$

$x > 0$ için

$$\int_{-\infty}^{\infty} p(\xi) [(\gamma_0^2 - \xi^2)^{1/2} + jv_2] \exp(-j\xi x) d\xi = j(v_1 - v_2) \exp(-j\gamma' x) \quad (3.9)$$

denklemleri elde edilir. Bu integral denklemleri Wiener-Hopf yöntemiyle çözüldüğünde $r \gg \lambda_0$ koşullarında radyasyon alanının değeri

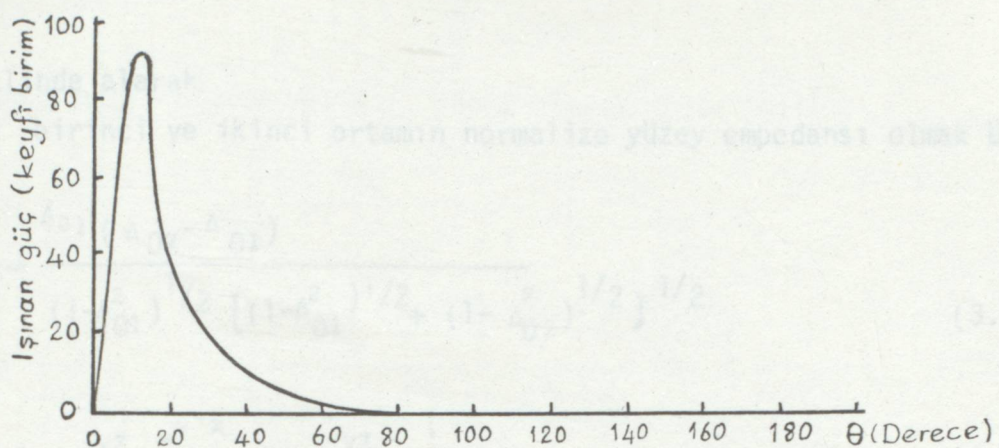
$$H_{y,\text{rad}} = \left(\frac{2\pi\gamma_0}{r} \right)^{1/2} \sin\theta p(\gamma_0 \cos\theta) \exp(-j\gamma_0 r - j\frac{\pi}{4}) \quad (3.10)$$

ve sürekli kaynaklanan ışıma gücü ise

$$Q(\theta) d\theta = \frac{1}{2} Z_0 |H_{y,\text{rad}}|^2 r d\theta = \pi \gamma_0 Z_0 \sin^2 \theta |p(\gamma_0 \cos\theta)|^2 \quad (3.11)$$

(34)





Şekil (3.2) Yüzey reaktansındaki süreksizliğin uyardığı ışıma alanı

$$u_1 = 0.2 \gamma_0, \quad u_2 = 0.5 \gamma_0 \quad (34)$$

θ , pozitif x eksenile yapılan açı olmak üzere ışıma diyagramı çizilirse, θ nin küçük değerleri için maximum ışıma, $\theta=0$ değerinde ise yani x doğrultusunda ışıma yoktur. Şekil (3.2)

Süresizliklerin havadan bulunmasında bu ışıma alanının etkisi vardır. Ancak yeryüzü boyunca dalga eğilmesine düşey süreksizliğin etkisini inceleyeceğimiz için ışımayı gözönüne almamamızda bir sakınca yoktur.

Pozitif x eksenile doğrultusunda yayılan TM modundaki yüzey dalgasının $x=0$ daki süreksizlikten yansımıası nedeni ile $x < 0$ bölgesinde kısmen duran dalga oluşacaktır. E_z ve yansıyan alan bileşeni E_z' fazda olduğunda, E_x' ve H_y bileşenleri, E_x ve H_y ile zıt yönde olacak birbirini yok edeceklerdir. Bu nedenle toplam E_z maximum olduğunda, hem E_x hem de H_y minimum olacak dolayısıyla $x < 0$ bölgesinde E_z ve E_x ile E_z' ve E_x' elektrik alan bileşenlerinin girişim saçakları oluşturulması, dalga eğilmesinde de girişim saçakları oluşmasına neden olacak ancak bu girişim saçakları yüzey empedansında gözükmeyecektir. Söylediğimiz bu ifadeleri matematiksel olarak göstermek istersek, TM yüzey dalgasının toplam yatay magnetik alan bileşeni H_y^t , süreksizlik noktasına gelen magnetik alan bileşeni H_y ile, süreksizlikten yansıyan H_y' bileşenlerinin toplamı olarak

$$\vec{H}_y^t = (H_y e^{-vz} e^{-\gamma' x} + H_y' e^{-vz} e^{\gamma' x}) \hat{a}_y \quad (3.12)$$

ve süreksizlik sınırlarından yansımıma katsayısı

$$R_{TM}^x = H_y'/H_y = \frac{x_1(x_1 - x_2)}{(1+x_1^2)^{1/2} [(1+x_1^2)^{1/2} + (1+x_2^2)^{1/2}]^{1/2}} \quad (3.13)$$

(38) şeklinde alarak

Δ_{01}, Δ_{02} birinci ve ikinci ortamın normalize yüzey empedansı olmak üzere

$$R_{TM}^X = \frac{\Delta_{01} (\Delta_{02} - \Delta_{01})}{(1 - \Delta_{01}^2)^{1/2} [(1 - \Delta_{01}^2)^{1/2} + (1 - \Delta_{02}^2)^{1/2}]^{1/2}} \quad (3.14)$$

alarak

$$\vec{H}_y = H_y (e^{-vz} e^{-\gamma' x} + R_{TM}^X e^{-vz} e^{\gamma' x}) \vec{a}_y \quad (3.15)$$

şeklinde ifade edebiliriz.

$$v = -j \gamma_0 X \quad (3.16)$$

$$X = -j \Delta_0 \quad \text{Normalize yüzey reaktansı} \quad (3.17)$$

$$\Delta_0 = Z_s / n_0 \Big|_{\psi=0} \quad \text{Normalize yüzey empedansı} \quad (3.18)$$

(3.18) in değeri (2.29) bağıntısında olduğu gibi

$$\Delta_0 = \frac{(N^2 - 1)^{1/2}}{N^2} \quad \text{dir.} \quad (3.19)$$

Süreksizlik sınırının sol tarafındaki toplam elektrik alan bileşeni (Maxwell-Ampere) yasası

$$\vec{\nabla} \times \vec{H} = j \omega \vec{E} \quad (3.20)$$

kullanılarak

$$E_x^t = E_x (e^{-vz} e^{-\gamma' x} + R_{TM}^X e^{-vz} e^{\gamma' x}) \quad (3.21)$$

$$E_z^t = E_z (e^{-vz} e^{-\gamma x} - R_{TM}^X e^{-vz} e^{\gamma x}) \quad (3.22)$$

olur. $x < 0$ için düşey süreksızlık koşulunda toplam dalga eğilmesi

$$W_{yTM}^t = \frac{E_x^t}{E_z^t} = W_{OTM} \left(\frac{e^{-\gamma' x} + R_{TM}^X e^{\gamma' x}}{e^{-\gamma x} - R_{TM}^X e^{\gamma x}} \right) \quad (3.23)$$

elde edilir. Buradan görüldüğü gibi dalga eğilmesi süreksızlık sınırlına



olan uzaklığa bağlı olarak değişir. Sonuç olarak dalga eğilmesi

$$w_{yTM}^t = \frac{jx}{(1+x^2)^{1/2}} \left[\frac{1+R_{TM}^x e^{j2\gamma' x}}{1-R_{TM}^x e^{j2\gamma' x}} \right] \\ = \frac{\Delta}{(1-\Delta^2)^{1/2}} \left[\frac{1+R_{TM}^x e^{j2\gamma_0 (1-\Delta^2)^{1/2} x}}{1-R_{TM}^x e^{j2\gamma_0 (1-\Delta^2)^{1/2} x}} \right] \quad (3.24)$$

şeklinde bulunur. Homojen süreksizlik olmayan ortam koşulunda $R_{TM}^x = 0$ alınarak

$$w_{yTM}^t = \frac{\Delta}{(1-\Delta^2)^{1/2}} \cong \Delta \left(1 - \frac{\Delta^2}{2} + \frac{1 \times 3}{2 \times 4} \Delta^4 - \dots \right) \quad (3.25)$$

Binom açılımı sonucunda jeofizik amaçlar için $|\Delta| \ll 1$ olduğu gözönünde bulundurulursa

$$w_{yTM}^t \cong \Delta = w_{OTM} \quad (3.26)$$

olduğu ortaya çıkar.

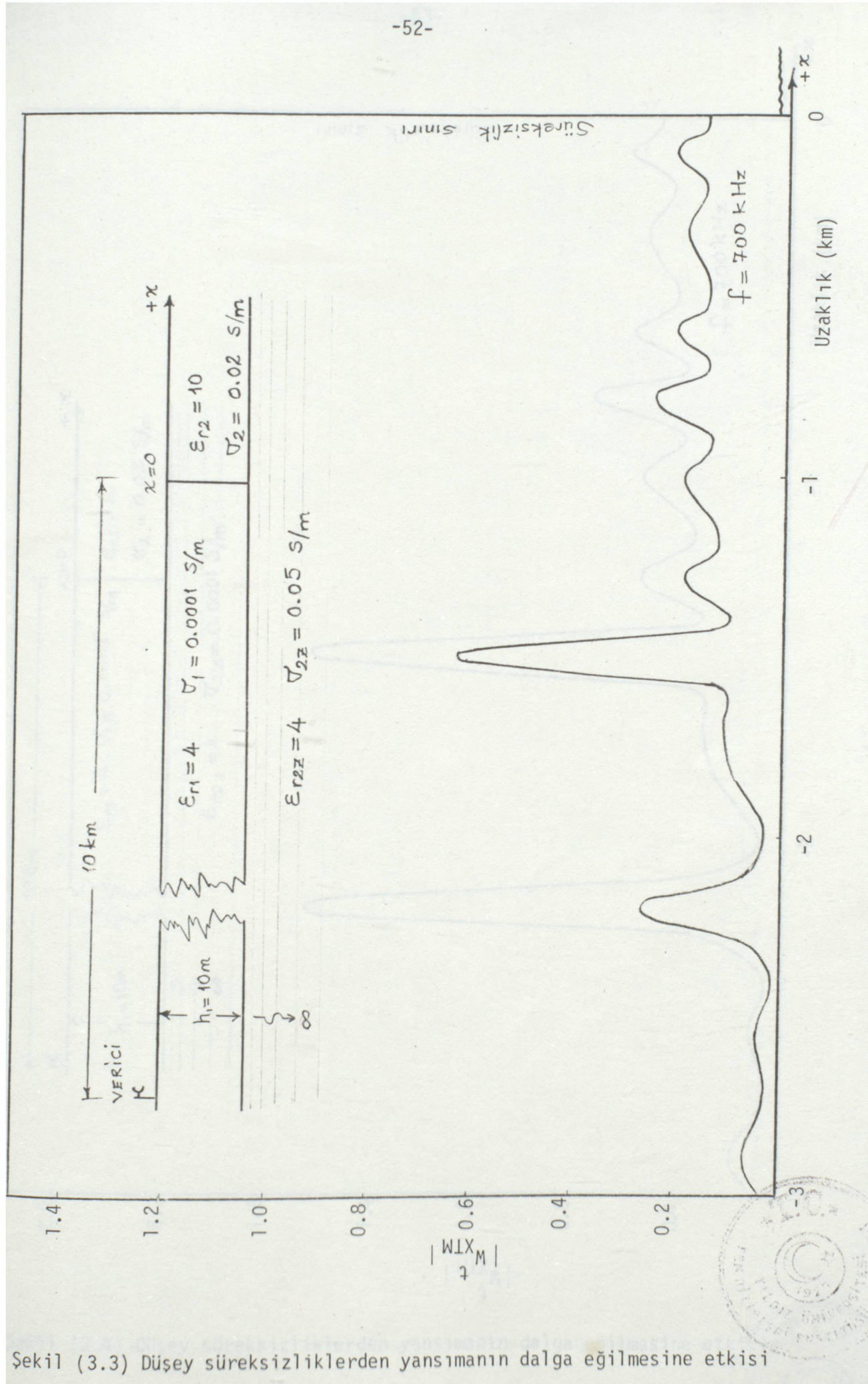
$$\gamma' = \gamma_0 (1+x^2)^{1/2} \text{ dir.} \quad (3.27)$$

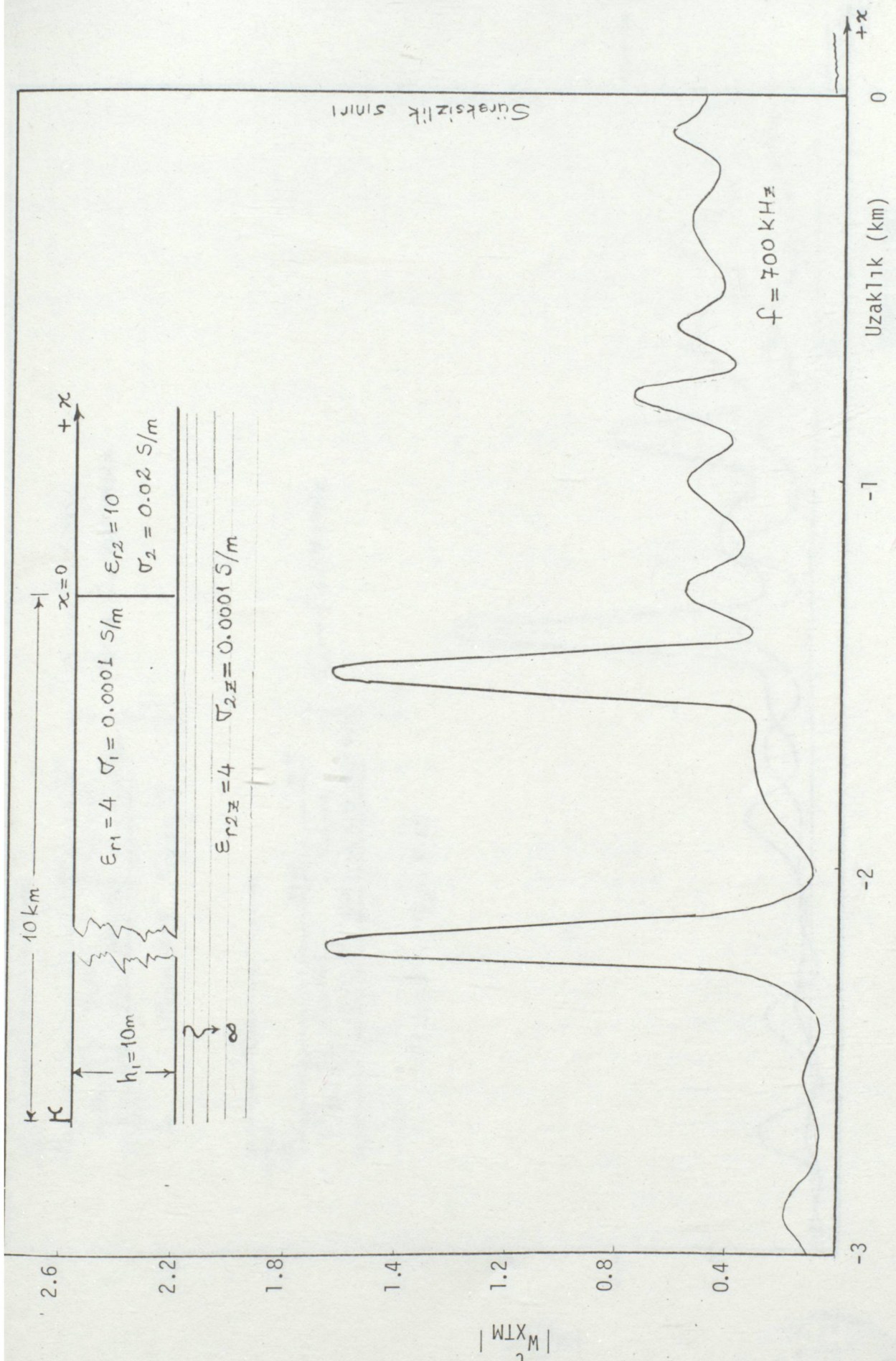
Bu yöntemle süreksizlik noktalarının kabaca kestirilmesinde diğer jeofizik yöntemlere göre dezavantajlı yönü, arazinin topografik yapısının her zaman düzgün olmayacağıdır. Topografya düzeltmesi yapmak da bu yöntemin verimliliğini azaltmaktadır. Dalga eğilmesi ölçmelerinde elektrik alanın yatay ve düşey bileşenlerinin ölçülmesi zorunluluğu vardır. Çalışılan frekansa uygun olarak kullanılacak antenin empedans uyumu da ayrı bir sorun oluşturur. Elektrik alanın yatay bileşeni, bir aracın arkasına takılacak yeryüzüne paralel, ince, izole edilmiş iletken telle, düşey bileşeni de yine araca takılacak düşey konumlu çerçeve antenle yapılır. Ancak (3.21) bağıntısından da görüldüğü gibi özellikle iletkenliği az olan ortamlarda E_x bileşeninin büyük olması yüzünden sadece E_x bileşeninin değişimini ölçmek düşey süreksızlığın yaklaşık olarak bulunmasında etkili olabilir. Düşey süreksizlik olmaması koşulunda ister yatay tabakalanma olsun ister olmasın dalga eğilmesinin değeri, yeryüzü boyunca değişmez. Ancak yatay süreksizlik olmaması ve olması durumundaki dalga eğil-



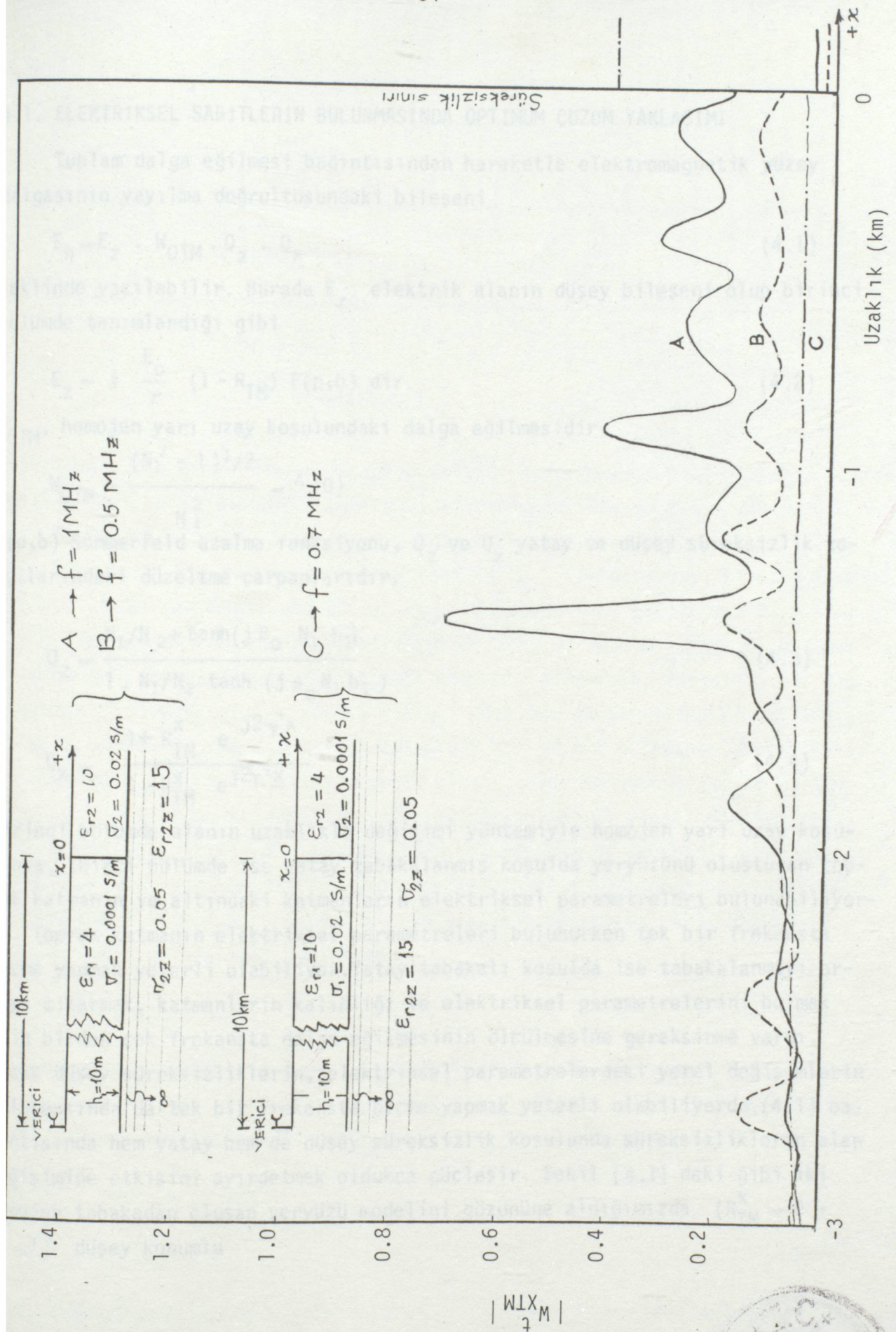
mesi değerleri farklıdır. Şekil (3.3) de yatay süreksızlıkla düşey süreksızlık birlikte gözönüne alınmıştır. Burada birinci ortam diye tanımlanan bölgenin elektriksel sabitleri $\epsilon_{r1} = 4$, $\sigma_1 = 10^{-4}$ s/m, $\mu_1 = \mu_0$ alt katmanınınki $\epsilon_{r2z} = 4$, $\sigma_{2z} = 0.05$ s/m, $\mu_{2z} = \mu_0$ ve ikincininki $\epsilon_{r2} = 10$, $\sigma_2 = 0.02$ s/m, $\mu_2 = \mu_0$, kullanılan frekans 700 KHz dir. Verilen frekansa ve sadece birinci ortam ile altındaki katmanın olması koşulunda dalga eğilmesinin değeri yaklaşık olarak $|W| = 0.1 - 0.2$ değerleri arasında bir değerdir bu değişmez. Düşey süreksızlık olması durumunda ise bu dalga eğilmesi genliğinin değeri düşey süreksızlık sınırlarına olan uzaklığa bağlı olarak $|W| = 0.02 - 0.6$ değerleri arasında değişir. Süreksızlikten sonra ise ikinci ortamın ve altındaki katmanın birlikte olması halindeki dalga eğilmesi değerine birden-bire erişir. Havadan ölçme yapılması koşulunda düşey süreksızlikten kaynaklanan ışıma nedeniyle dalga eğilmesindeki birdenbire değişme beklenemez. Birinci ortam iletken olursa yansımaya katsayısunun çok küçük olması, zaten çok küçük değerde olan dalga eğilmesini ve girişimini gözlemek olanaksız olur. Yaptığımız hesaplarda birinci ortamın elektriksel sabitleri, $\epsilon_{r1} = 10^{-4}$ s/m, $\mu_1 = \mu_0$, ikincininki $\epsilon_{r2} = 4$, $\sigma_2 = 2 \times 10^{-4}$ s/m, $\mu_2 = \mu_0$, alt katmanınınki $\epsilon_{r2z} = 15$, $\sigma_{2z} = 5 \times 10^{-2}$ s/m, $\mu_{2z} = \mu_0$ ve $h_1 = 10$ m alarak dalga eğilmesinin genliği $|W| = 0.000028$, fazı da $/W = 57.3^\circ$ olarak bulunmuş, süreksızlığa yaklaşıldıkça bu değerlerin değişmediği gözlenmiştir. Yeryüzüne yakın kesimlerde yerel süreksızlık varsa dalga eğilmesinin genliği ve fazında birdenbire değişimler olur. Az iletken homojen yarı uzayın yüzeyine yakın kesimlerde iletken bir yapının varlığını düşündüğümüzde, iletken yapının uzaklarında ölçülen dalga eğilmesi ortamın az iletken olduğu gözönüne alınarak örneğin $\epsilon_r = 4$, $\sigma = 10^{-5}$ s/m, frekans 700 KHz için faz açısından $W = 0.03$ Rd, genlik açısından da $|W| = 0.7$ değerleri dolayında gözükecektir. İletken yapı üzerine gelindiğinde ise dalga eğilmesinin fazı büyüyecek $/W = 0.7$ Rd, genliği de küçülecektir. $|W| = 0.003$ (anomalinin elektriksel parametreleri $\epsilon_r = 80$, $\sigma = 4$ s/m olarak alınmıştır. Dalga eğilmesinin girişiminin, yerel iletkenlik değişimlerden, fazının ve genliğinin değişiminin incelenmesi jeolojik fay zonlarının, yüzeye yakın kesimde yerleşmiş maden yataklarının, üzeri ince toprak ile örtülü çakıl, kum, taşınmış topraktan oluşan birkintilerin, baraj yapılacak arazilerin su kaçagini neden olacak kalkerli bölgelerin aşınıp yerine taşıınmış toprağın dolması sonucu gizli deliklerin bulunmasında kaba bir ön bilgi vermesi açısından yararlı olacaktır.







Şekil (3.4) Düşey süreksizliklerden yansımmanın dalga eğilmesine etkisi.



Şekil (3.5) Süreksizliklerden yansımmanın dalga eğilmesine etkisi

4.1. ELEKTRİKSEL SABİTLERİN BULUNMASINDA OPTİMUM ÇÖZÜM YAKLAŞIMI

Toplam dalga eğilmesi bağıntısından hareketle elektromagnetik yüzey dalgasının yayılma doğrultusundaki bileşeni

$$E_h = E_z \cdot W_{OTM} \cdot Q_z \cdot Q_x \quad (4.1)$$

şeklinde yazılabilir. Burada E_z elektrik alanın düşey bileşeni olup birinci bölümde tanımlandığı gibi

$$E_z = j \frac{E_0}{r} (1 - R_{TM}) F(p, b) \text{ dir.} \quad (4.2)$$

W_{OTM} , homojen yarı uzay koşulundaki dalga eğilmesidir.

$$W_{OTM} = \frac{(N_1^2 - 1)^{1/2}}{N_1} = \Delta(0)$$

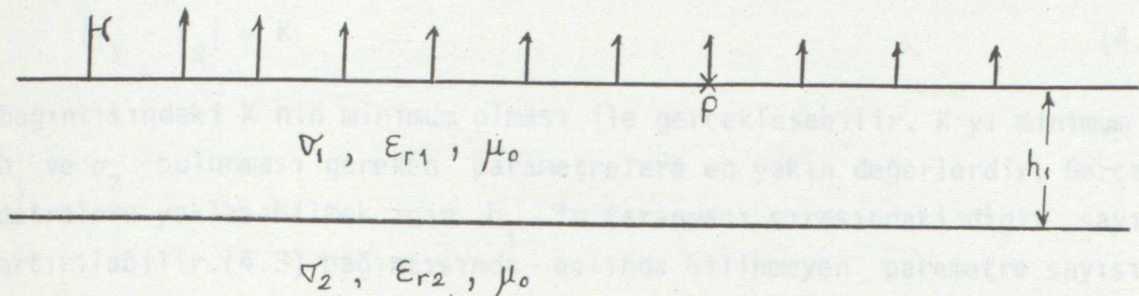
$F(p, b)$ Sommerfeld azalma fonksiyonu, Q_z ve Q_x yatay ve düşey süreksızlık koşullarındaki düzeltme çarpanlarıdır.

$$Q_z = \frac{N_1/N_2 + \tanh(j\beta_0 N_1 h_1)}{1 + N_1/N_2 \tanh(j\beta_0 N_1 h_1)} \quad (4.3)$$

$$Q_x = \frac{1 + R_{TM}^x e^{j2\gamma' x}}{1 - R_{TM}^x e^{j2\gamma' x}} \quad (4.4)$$

Birinci bölümde alanın uzaklıkla değişimi yöntemiyle homojen yarı uzay koşulunda, ikinci bölümde ise yatay tabakalanmış koşulda yeryüzünü oluşturan toprak katmanın ve altındaki katmanların elektriksel parametreleri bulunabiliyor. Toprak katmanın elektriksel parametreleri bulunurken tek bir frekansta ölçme yapmak yeterli olabiliyor. Yatay tabakalı koşulda ise tabakalanmayı ortaya çıkarmak, katmanların kalınlığı ve elektriksel parametrelerini bulmak için birden çok frekansta dalga eğilmesinin ölçülmesine gereksinme vardı. Ancak düşey süreksızlıkların, elektriksel parametrelerdeki yerel değişimlerin bulunmasında da tek bir frekansta ölçme yapmak yeterli olabiliyordu, (4.1) bağıntısında hem yatay hem de düşey süreksızlık koşulunda süreksızlıkların alan değişimine etkisini ayırdetmek oldukça güçleşir. Şekil (4.1) deki gibi iki homojen tabakadan oluşan yeryüzü modelini göz önüne alduğumuzda ($R_{TM}^x = 0 \rightarrow Q_x = 1$) düşey konumlu





Sekil 4.1

Vericiden çıkan elektromagnetik yüzey dalgası hava-yeryüzü sınır boyunca zayıflayarak yayılır. Birinci bölümdeki gibi alanın uzaklıkla değişimi yöntemiyle yeryüzünün üst katmanının σ_1 , ϵ_{r1} elektriksel sabitleri bulunabilir. σ_1 ve ϵ_{r1} bulunması üst katmanda yayılma sabitini γ_1 , dolayısıyla, kırılma endisini bilinmesine, bağlı olarak da W_{OTM} in bulunmasına olanak verir. Alınan bir P ölçü noktasında alanın E_z bileşeni ölçülür ve teorik olarak da bulunan E_z sonucuya uyum sağlayıp sağlamadığı kontrol edilebilir. Vericinin bir frekansında ölçülen E_z ve E_h yardımıyla Q_z düzeltme çarpanının değeri belli olur. Ancak Q_z nin belli olması, katman kalınlığı h_1 ve alt tabakanın elektriksel iletkenliği σ_2 nin bulunmasına yeterli olmaz, giriş bölümünde de söz edilen jeofizik sorumlarda, bulunması gereken paremetre sayısı eldeki denklem sayısından fazladır. İkinci bir frekans için bulunan bir Q_z değerinin bulunmasına gereksinme var. Birinci frekans ile yapılan ölçmeler sonucunda bulunan düzeltme çarpanının değeri Q_{1z} olsun. Q_z nin analitik bağıntısı (4.3) ile belli olduğuna göre bu analitik bağıntıdan

$$\sigma_{2i} = f_1(Q_{1z}, h_{1i}) \quad (4.5)$$

bulunur. Yatay tabakalı ortamda $Q_{1z} \neq 1$ dir ve $h_1 \neq 0$ ve h_1 yine çok büyük değerler alamaz. h_1 in 3 etkin derinlik sınırı içinde olabileceği düşünülebilir. İkinci frekansa bulunan Q_z değeri Q_{2z} ile gösterilirse

Yine Q_{2z} için (4.3) den

$$\sigma_{2i} = f_2(Q_{2z}, h_{1i}) \quad (4.6)$$

h_1 in değişme aralığında sayısal olarak her h_1 değerinin taranması sonucunda bulunan σ_{2i} ve σ_{2i} değer grupları arasında ikinci yada alt katmanın elek-

triksel iletkenliğini ve katman kalınlığını optimum bulunma koşulu

$$|f_1 - f_2| = K \quad (4.7)$$

bağıntısındaki K nin minimum olması ile gerçekleşebilir. K yi minimum yapan h_1 ve σ_2 bulunması gereken parametrelerde en yakın değerlerdir. Gerçek parametrelerde yaklaşabilmek için h_1 in taranması sırasında dğit sayısı daha artırılabilir.(4.3) bağıntısında aslında bilinmeyen parametre sayısı üçtür o da ikinci ortamın göresel dielektrik sabitidir. (ϵ_{r2}). Ancak alçak frekanslarda çok az iletken olmayan yeryüzü koşullarında yer değiştirmeye terimin ihmali edilmesi sonuçta pek büyük yanılığa yol açmaz. Yatay tabakalanmanın bulunduğu yerde ayrıca da düşey bir süreksizliğin varlığı, süreksizlikten yansyan E_x ve E_z elektrik alan bileşenlerinin değişmesine yol açacağından yatay tabaka sonuçlarına olan güvenirliği olumsuz yönde etkileyecektir.



5.1. SONUÇLARIN TARTIŞILMASI

Bu tezin kapsamı içine giren, yayın frekansı ve daha yüksek frekanslarda elektromagnetik yüzey dalgalarından jeofiziksel amaçlarla yararlanılmasında kullanılan bağıntıların hemen tümü çok alçak frekanslarda da kullanılabilir. Birinci bölümdeki alanın uzaklıkla değişimi yönteminin (AUD), VLF de kullanılması ile tek bir verici kullanarak geniş bir alanın örtü tabakasının jeofiziksel taraması gerçekleştirilebilir. Özellikle yüzey dalgasının baskın olduğu uzaklığın büyük olması, bu olanağı sağlar. Jeofizikte dar olan çalışmalarına zemin hazırlayacak olan bu tarama işleminin gerçekleştirilmesi ekip ve ekipman açısından da ekonomi sağlayacağı gibi iletişimde de verimi artırmanın yolunu açacaktır. Uzun ve orta dalga frekanslarında yayın yapan mevcut radyo istasyonlarına, ek olarak, VLF de deniz ve kara taşımacılığında kullanılan radyo istasyonları, komşu ülkelerdeki yine VLF de yayın yapan güçlü radyo istasyonları ve taşınabilir vericilerin kullanılabilmesi olanaklıdır. Komşu ülkelerdeki VLF radyo vericilerinden ulaşan elektromagnetik dalganın deniz üzerinden yayılarak geleninin kullanılmasının tercih edilmesi gereklidir. Bu yolla gelen dalga kara üzerinden gelene oranla daha az difraksiyona ve distorsiyona uğrar. Topografik yapının bozuk olduğu durumlarda AUD nin jeofizik amaçla kullanılması ekonomik açıdan gereksiz ve sonuçların değerlendirilmesi de hassaslığından uzak olur. Ancak kaba bir yaklaşımla sonuçlara ulaşmak isteniyorsa Wagner programı ile bu başarılabilir. Topografya bozukluklarında AUD nin jeofiziksel amaçla kullanıldığına rastlanılmamakla birlikte iletişimde, bu yöntemin Wagner programı ile gerçekleştirildiği çalışmaların sayısı çoktur.(14-16). Yeri oluşturan kayaçların elektriksel parametrelerine sıcaklık, nem, kar ve buzlanmanın etkisinin örtücü etki yaptığı düşünülürse, ölçmelerin bu etkenlerden arınmış yer ve zamanlarda yapılması gerekiği ortaya çıkar.

AUD nin başarılı olmasına etkiyen faktörler gerekçeleri ile birlikte şöyle sıralanabilir.

a) Verici antenin TM modunda ve yeryüzüne yakın olması, Bu birinci bölümde matematiksel olarak da gösterildiği gibi TM modundaki elektromagnetik dalganın TE ye oranla daha büyük uzaklıklarda sönümeye uğramasından, yeryüzüne yakın olması da elektromagnetik dalganın yeryüzüne yaklaşık olarak psödo Brewster açısıyla ($\Psi_B \approx 0$) gelmesi sağlanarak e.m. dalganın doğrudan gelen ve yansıtın bileşeninden kurtularak, yüzey dalgasının etkin olduğu koşulları sağlamak için gereklidir.



b) Kullanılan frekansın yüksek olmaması, ölçmelerin indüksiyon alanı ve dalganın difraksiyona uğradığı uzaklıklardan soyutlanması , Kullanılan frekansın yüksek olması vericiden kısa mesafelerde, hesabın içine, doğrudan gelen ve yansıyan bileşenlerin girmesine neden olması, indüksiyon alanın içinde dalganın küresel dalga karakteri göstermesi, kullanılan ifadelerin de düzlem dalga yaklaşımı içinde geçerli olduğu nedeniyledir. Öyleyse AUD de kullanılabilecek mesafeler verici antenden $5\lambda < r < 80/f^{1/3}$ (r ; km , f ; MHz) uzaklılığı içinde olması gereklidir.

c) Ölçme yapılacak yerin kentsel alanlardan, enerji iletim hatlarından, yeraltı kabloları, yeraltı metal borularından uzakta olması, Kentsel alanlarda büyük yapılar, iletim hatları, alanın difraksiyona uğramasına neden olağanından sağıksız sonuçlar doğurabilir.

d) Yer iletkenliğinin çok az olması yani çölsel arazilerde ($\sigma = 5 \times 10^{-5} - 10^{-3}$) s/m sayısal uzaklığun kısa mesafelerde çok büyük değerler olması, alanın çok hızlı zayıflayacağını ifade eder. Bu durumlarda ya Wave Tilt kavramının kullanılması ya da düşey magnetik dipol (VMD) anten yatay magnetik dipol (HMD) anten kullanarak, VDIF (Variable Distance Interference Fringes), VFIF (Variable Frequency Interference Fringes) yöntemlerinin uygulanması yarar sağlayacaktır.(30,31,42)

İkinci bölümde AUD nin başarılı olmadığı sözedilen koşullarda yüzey dalgasının eğilmesi kavramından yararlanılarak yer değiştirme akımlarının etkisinin küçümsenmeyecek sonuçlar doğurduğu gösterilmiştir. Elektromagnetik dalganın yeryüzüne yalayarak geldiği durumlarda, homojen yarı uzay, yatay tabakanmış ortamlar üzerinde dalga eğilmesinin davranışını analiz edilmiştir. Elde edilen ifadelerin frekansla değişimi bulunarak bunların jeofiziksel açıdan sağlayacağı yararlar, veri işlem tekniklerinin ve anten teorisinde antenlerin maksimum verimde çalışmasına yardımcı olan radome'lerin kalınlıklarının bulunmasına olanak veren optik bağıntılar kullanılarak gösterilmiş, dalga eğilmesi sonuçlarının değerlendirilmesine etkiyen faktörler tartışılmıştır. Ancak AUD de tek bir frekansta yayının yeterli olması, alan şiddetinin önemi olmakla birlikte, dalga eğilmesinde, alan bileşenlerinin oranlarının önemi ve birden çok frekansa gereksinme vardır. Dalga eğilmesinin birden çok frekansı gerektirmesi taşınabilir vericiler kullanımmasını zorunlu kılmaktadır. Yerel süreksizliklerin bulunmasında ise süreksızlığın elektriksel parametreleri hassas olarak bulunamasa bile yerinin belirlenmesi için tek bir frekansta dalga eğilmesi ölçmelerinin yeterli olabileceği ifade edilmiştir. Verilen ifa-

delerin geniş bir frekans aralığında geçerli olmasına özen gösterilmiştir.

Üçüncü bölümde yüzey dalgası antenlerinin üzerindeki düşey süreksızlıkların ışırma yapma olanaklarının incelenmesi (11,35) sırasında çıkan problemin jeofizik koşullara uygulanması sonucu düşey süreksızlıkların bulunabileceği hesaplarla açıklanmıştır.

Dördüncü bölümde ise yatay süreksızlıkların ortaya çıkarılması için dalga eğilmesi ölçmelerinde birden çok frekansa gereksinme olduğu sınırlamasının oluşturduğu zorluğu kısmen ortadan kaldırabilecek, AUD-Wave tilt karışımı ve en fazla iki frekansta ölçme yapmayı gerektirecek bir yol önerilmiştir. Bu AUD ile yapılacak geniş alan örtü jeofizik değerlendirme çalışmalarının alt yapı jeofizik değerlendirme çalışmalarına kolaylık sağlayacağını demektir.



FILE: C4 FORTRAN A1 YILDIZ UNIVERSITESI E H B ARASTIRMA MEFK

```
COMPLEX G1,G2,Q,G1U,G2U,W0,WE,DEL
REAL KS
READ(5,*) ER1,SIG1,ER2,SIG2,Y1
DO 2 N=1,200
F=.1*N
B0=3.14159*F/150.
X1=18000.*SIG1/F
X2=18000.*SIG2/F
AG1U=-ER1*(B0**2)
BG1U=X1*(B0**2)
G1U=CMPLX(AG1U,BG1U)
G1=G1U**.5
G1M=CABS(G1)
AG2U=-ER2*(B0**2)
BG2U=X2*(B0**2)
G2U=CMPLX(AG2U,BG2U)
G1MY1=G1M*Y1
G2=G2U**.5
DRAN=CABS(G1/G2)
Q=( G1/G2+ (1.-CEXP(-2*G1*Y1))/(1.+CEXP(-2*G1*Y1)))/(1+*
*(G1/G2)* (1.-CEXP(-2*G1*Y1))/(1.+CEXP(-2*G1*Y1)))
T=.5*ATAN((X1/(1.-ER1)))+ATAN(X1/ER1)
KS=((ER1-1)**2+X1**2)**.5/((X1**2+ER1**2)**.5)
A=KS*COS(T)
B=KS*SIN(T)
DEL=CMPLX(A,B)
W0=DEL/(1.-DEL**2)**.5
W0R=REAL(W0)
W0I=AIMAG(W0)
W0F=ATAN(W0I/W0R)
W0M=CABS(W0)
QR=REAL(Q)
QI=AIMAG(Q)
QF=ATAN(QI/WR)
QFD=QF*180./3.1415926
QM=CAES(Q)
WE=W0*Q
WER=REAL(WE)
WEI=AIMAG(WE)
WEF=ATAN(WEI/WER)
WEFD=WEF*.29578
WEM=CABS(WE)
WRITE(6,20) F,ER1,SIG1,ER2,SIG2,DRAN,G1MY1,Y1,QM,QF,QFD,W0M,W0F,
*WEM,WEF,WEFD
20 FORMAT (6X,F6.3,2X,'ER1=',F5.2,1X,'SIG1=',F13.5,4X,'ER2=',F5.2,
*2X,'SIG2=',F13.5,5X,'DRAN=',F12.6,2X,'G1MY1=',F10.6,F5.1,/,1X,'Q'
*=',F10.6,3X,'QF=',F8.5,2X,'QFD=',F8.4,3X,'W0M=',F10.7,2X,'WEF='
*F8.5,1X,'WE1=',F9.6,2X,'WEF=',F6.5,'WEFD=',F6.2)
2 CONTINUE
STOP
END
```



.....PROGRAMDA KULLANILAN SEMEOLLER.....

DEL1:DUSEY SUREKSIZLIK KOSULUNDA 1.ORTAMIN NORMALIZE YUZEY
EMPEDANSI

DEL2:DUSEY SUREKSIZLIK KOSULUNDA 2.ORTAMIN NORMALIZE YUZEY
EMPEDANSI

DELZY:YATAY SUREKSIZLIK KOSULUNDA 2.ORTAMIN NORMALIZE YUZEY
EMPEDANSI

R:DUSEY SUREKSIZLIKten YANSINA KATSAYISI

PE:SAYISAL UZAKLIK

FPE:SOMMERFELD AZALMA FONKSIYONU

WO:HOMOJEN YARI UZAY ICIN TM MODUNDA DALGA E ILMESI

W:HEM YATAY HEMDE DUSEY SUREKSIZLIK KOSULUNDA DALGA E ILMESI

GO:BOSLUKTU DALGANIN YAYILMA SABITI

G1:BIRinci ORTAMDA YAYILMA SABITI

G2:YATAY TABAKALI KOSULUNDA IKinci ORTAMDA YAYILMA SABITI

G1X:DUSEY SUREKSIZLIK KOSULUNDA IKinci ORTAMDA YAYILMA SABITI

F:ELEKTROMAGNETIK DALGANIN FREKANSI

P:VERICININ GUCU

ER1:BIKinci ORTAMIN GORESEL DIELEKTRIK SABITI

ER2:DUSEY SUREKSIZLIK KOSULUNDA IKinci ORTAMIN GORESEL DIELEKTRIK SABITI

ERZY:YATAY SUREKSIZLIK KOSULUNDA IKinci ORTAMIN GORESEL DIELEKTRIK SABITI

SIG1:BIRinci ORTAMIN ELEKTRIKSEL ILETKENLI I

SIG2:DUSEY SUREKSIZLIK KOSULUNDA IKinci ORTAMIN ELEKTRIKSEL ILETKENLI I

SIGZY:YATAY SUREKSIZLIK KOSULUNDA IKinci ORTAMIN ELEKTRIKSEL ILETKENLİ İ

Q:YATAY SUREKSIZLIK KOSULUNDA DUZELTME CARPANI

Y1:YATAY SUREKSIZLIK KO ULUNDA BIRinci ORTAMIN KALINLI İ
REAL KS1,KS2,KS2Y

COMPLEX DEL1,DEL2,R,EXT,EX,J,AD,EXTK,PE,FPE,W0,W,X1,
*G1,G2,Q,G1U,G2U,DELZY,EXU
READ(S,*IP,F,ER1,SIG1,ER2,SIG2,ERZY,SIGZY,Y1,XD
GO=3.14159*F/150.
J=CMPLX(0.,1.)
X1=18000.*S1G1/F
T1=.5*ATAN((X1/(1.+ER1))) + ATAN(X1/ER1)
KS1=((ER1-1.)*2+X1**2)**.25)/((X1**2+ER1**2)**.5)
A1=KS1*COS(T1)
B1=KS1*SIN(T1)
DEL1=CMPLX(A1,B1)
X2=18000.*S2G2/F
T2=.5*ATAN((X2/(1.+ER2))) + ATAN(X2/ER2)
KS2=((ER2-1.)*2+X2**2)**.25)/((X2**2+ER2**2)**.5)
A2=KS2*COS(T2)
B2=KS2*SIN(T2)
DEL2=CMPLX(A2,B2)
XZY=(18000.*SIGZY)/F
TZY=.5*ATAN((XZY/(1.+ERZY))) + ATAN(XZY/ERZY)
KS2Y=((ERZY-1.)*2+XZY**2)**.25)/((XZY**2+ERZY**2)**.5)
A7=KS2Y*COS(TZY)
B7=KS2Y*SIN(TZY)
DELZY=CMPLX(A7,B7)
AG1U= ER1*(S1**2)
AG1U=X1*(C1**2)
G1U=CMPLX(A7U,B7U)
G1=G1U**.5
G1M=CABS(G1)



```

AG2U=-ER2Y*(GD**2)
BG2U=X2Y*(GO**2)
GZU=CMPLX(AG2U,BG2U)
GZ=GZU**.5
G2M=CABS(GZ)
DRAN=CABS(G1/G2)
Q=(G1/G2+(1.-CEXP(-Z*G1*Y1))/(1.+CEXP(-Z*G1*Y1)))/(1+(G1/G2)*(1.-
*CEXP(-G1*Y1))/(1.+CEXP(-Z*G1*Y1)))
R=(DEL1)*(DEL2-DEL1)/((1.-DEL1**2)**.5*((1.-DEL1**2)**.5+
*(1.-DEL2**2)**.5)**.5)
DO 7 N=1,101
D=-XD+(N-1)*100.
DA=XD+(N-1)*100.
IF(D) 4,4,5
5 DEL1=DEL2
R=0
4 A5=(GO*((1.-(DEL1**2))**.5)*D*j)
A6=REAL(A5)
B6=AIMAG(A5)
A5=CMPLX(A6,B6)
W0=DEL1/(1.-DEL1**2)**.5
W1=(1.+R*CEXP(Z*A5))/(1.-R*CEXP(Z*(-A5)))
W=W0*W1*q
WR=REAL(W)
WI=AIMAG(W)
WM=CABS(W)
WFD=(ATAN(WI)/(WR))*180./3.14159
QR=REAL(Q)
QI=AIMAG(Q)
QF=ATAN(QI/JR)
QFD=QF*180./3.1415925
QM=CABS(Q)
EX=((DEL1/(1.-(DEL1**2))**.5)*(P**.5)*(3.14))/DA
EXT=EX*(CEXP(-A5)+R*CEXP(A5))
EXTM=CABS(EXT)*1.EE
PE=-J*DA*F*3.14159*(DEL1**2)/300.
PEM=CABS(PE)
PER=REAL(PE)
PE1=AIMAG(PE)
PEF=(ATAN(PE1/PER))*180./3.14159
IF (PEM<10) 11,11,22
11 XI=(1.,0.)
K=1
15 M=1
N1=1
14 M=M+N1
N1=N1+1
IF(N1-K-1) 14,12,12
12 XI=XI+((PE)**K)/(M*(2*K+1))
K=K+1
YI=CABS((PE**K)/(M*(2*K+1)))
IF(YI-.001) 23,20,15
23 FPE=1.-J*(3.14159*P)**.5*CEXP(-PE)-2*PE*CEXP(-PE)*XI
GO TO 31
22 X1=(0.,0.)
K=1
25 M=1
N1=1
24 M=M*(2*N1-1)
N1=N1+1

```



```

32 XI=X1*10**7*2*PI*G0
K=K+1
YI=CABS(XI)
IF(YI=.01) 26,26,24
26 FPE=XI
31 FPEM=CABS(FPE)
FPER=REAL(FPE)
FPEI=AIMAG(FPE)
FPEF=ATAN(FPEI/FPER)
FPED=(FPEF*180.)/3.14159
EXU=EX*FPE*J*CEXP(-J*DA*G0)
EXUM=CABS(EXU)
WRITE(6,10) F,P,D,DA,EF1,SIG1,ER2,SIG2,ER2Y,SIG2Y,Y1,DEL1,DEL2,
*PEM,PEF,FPEM,FPED,QFD,QM,WM,WFD,R,EXUM
10 FORMAT(3X,'F=.',F5.2,1X,'G=',F7.3,1X,'D=',F9.2,1X,'DA=',F9.2
*,1X,'ER1=',F5.2,1X,'SIG1=',F14.7,1X,'ER2=',F5.2,1X,'SIG2=',F14.7,
*,3X,'ER2Y=',F5.2,2X,'SIG2Y=',F14.7,'Y1=',F6.2,2X,'DEL1=',2F10.5,
*2X,'DEL2=',2F10.5,2X,'PEM=',F10.5,2X,'P=',F6.2,1X,'FPEM='
*,F9.3,2X,'FPED=',F6.2,2X,'QFD=',F6.2,2X,'QM=',F10.6,2X,'WM=',F10.6
*,2X,'WFD=',F6.2,'R=',F8.5,2X,'EXUM=',F13.9)
7 CONTINUE
STOP
END

```

DOI: 10.5139/1923-1202-1993-1236, 167
 © 1993 Yıldız Teknik Üniversitesi / İletişim Mühendisliği Dergisi

FILE: C31. FORTRAN A1 YILDIZ UNIVERSITESI E H BILARASTIRMA MERKEZ

```

COMPLEX WOTM,WOTE,NU
REAL ER1,SIG1
READ(5,*) ER1,SIG1
DD 2 N=1,200
F=.1*N
X1=13000.*SIG1/F
NU=CMPLX(ER1,-X1)
WOTM=(NU-1.)***.5/NU
WOTMR=REAL(WOTM)
WOTMI=AIMAG(WOTM)
WOTMF=(ATAN(WOTMI/WOTMR))*57.29578
WOTMM=CABS(WOTM)
WOTE=(NU-1.)***.5
WOTEM=CABS(WOTE)
WOTER=REAL(WOTE)
WOTEI=AIMAG(WOTE)
WOTEF=(ATAN(WOTEI/WOTER))*57.29578
PRINT*,('ER1: SIG1: FRE(MHZ): WOTMM: WOTMF: WOTEM: WOTEF: ')
PRINT*,('***** * * * * * * * * * * * * * * * * * * * * * * * * * * *')
10 FORMAT(1X,F5.0,1X,F8.6,4X,F5.1,5X,F8.5,1X,F8.5,4X,F9.4,2X,F9.6)
2 CONTINUE
STOP
END

```

YARARLANILAN KAYNAKLAR

- 1 - Ergin,K., "Uygulamalı Jeofizik" İTÜ Yayıncı 1973
- 2 - İlkişik,M., "Behavior of Magnetotelluric Field in the Horizontaly Stratified Medium". "Jefizik Vol.IV, No.2, 1975
- 3 - Ercan, A., "Jefizik Prospeksiyon" Ders notları, 1981
- 4 - Keller, G.V., Frischkneth, F.C."Electrical Methods in Geophysical Prospecting" Pergamon Press 577 pp. NY 1974
- 5 - Stratton,J.A. "Electromagnetic Theory" Mc Grow Hill NY 1941
- 6 - Norton,K.A."The Physical Reality of Space and Surface Waves in the Radiation Field of Radio Antennas" Proc,IRE 25(9) ,1192-1202, 1937
- 7 - Norton,K.A."The Propagation of Radio Waves over the Surface of the Earth and in the Upper Atmosphere" Proc.IRE 25(9), 1203-1236, 1937
- 8 - Norton, K.A."The Colculation of Ground Wave Field Intensity over a Finitely Conducting Spherical Earth" Proc IRE 29, 623-639, 1941
- 9 - Kraus, J.D."Antennas" Mc Graw Hill, 1950
- 10 - Jordan,E.C., Balmain, K.G., "Electromagnetic Waves and Radiating Systems" Prentice-Hall, 1969
- 11 - Jasik., "Antenna Engineering Handbook" Mc Graw Hill.1961
- 12 - Ataman,A.,"Propagasyon" İTÜ Yayıncı, 1982
- 13 - Monteath,G.D., "Applications of the Electromagnetic Reciprocity Principle", Pergamon Press, 1973
- 14 - Fer, A.F., Hızal,A., "Medium Wave Multi-Section Ground Wave Propagation in Marmara and Black-Sea Region Numerical Results" AGARD-CP-305, 1981
- 15 - Biggs, Albert.W., "Terrain Influances on Effective Ground Conductivity" IEEE Trans.Geosc.Electron. Vol.GE-8, No.2, 1970
- 16 - Ott,R.H., "Calculation of Ground Wave Attenuation over Irregular, Inhomogeneous, Layered Media Using Program Wagner" AGARD-LS-131, 1983
- 17 - Lytle,R.J.,Miller,E.K., Lager,D.L."A Physical Explanation of Electromagnetic Surface Wave Formulas" Radio Sc.Vol 11 pp 235-243 Apr.1976
- 18 - Wait,J.R., "Electromagnetic Waves in Stratified Media" Pergamon Press Oxford 1970
- 19 - Lytle,R.J."Measurement of Earth Medium Electrical Characteristics Techniques, Results and Applications" IEEE Trans. Geosc.Electron. GE-12, 81, 1974



- 20 - Lytle,R.J., Lager,D.L.,Laine, E.F."Subsurface Probing by High Frequency Measurements of the Wave Tilt of Electromagnetic Surface Waves" IEEE Trans. Geosci-Electron. GE 14 (4) 1976
- 21 - Thiel, D.V."Relative Wave Tilt Measurements at VLF" Geoexploration, Vol.17, pp.285-292, 1979
- 22 - Thiel,D.V., Park,K.S., and King,R.S."Wave tilt Fluctuations near a Vertical Discontinuity in a Flat Ground Plane," IEEE Trans. Geosci. Remote Sensing, Vol.GE-20, No.1, Jan.1982
- 23 - Schelkunoff."Anatomy of Surface Wave." IRE Trans.Antennas Propagat AP-7, p.133-139 Dec.1959
- 24 - Bahar,E., 1970,"Propagation of Radio Waves over a Non-Uniform Layered Medium", Radio Science, Vol.5 No.7
- 25 - Bahar,E., 1971 c, "Radiation from Layered Structures of Variable Thickness" Radio Science, Vol.6, 1109-1116
- 26 - Lytle,R.J., Lager,D.L., Miller,E.K. "Poynting Vector Behaviour in Lossy Media and Near a Half Space" Radio Science, Vol.11, p-875-883 Nov.1976
- 27 - Grossknopf,J.,Vogt,K., "On the Measurement of Earth Conductivity" Telegrapher und Fernsprech Funk Fernseh Technik" Vol.29, June 1940
- 28 - Biggs,A.W.,"Electromagnetic Wave Propagation From Sources in Composite Media" AGARD-CP-208, 1976
- 29 - Hack,F."The Propagation of Electromagnetic Waves over a Plane Conductor" Annalen der Physik, Vol.27 (1908) p.43
- 30 - El-Said,M.A.E.,"Geophysical Prospection of Underground Water in the Desert by means of Electromagnetic Interference Fringes,"Proc.IRE, Vol.44, pp.24-30, Jan.1956
- 31 - Mahmoud,S.F., Ibrahim,E.A., El-Said,M.A.H., "On the Electromagnetic Interference Fringes Method in Geophysical Prospecting Applications" IEEE Trans.Geosci. Remote Sensing Vol. GE-20,No.2, April 1982
- 32 - King,R.J.,"Wave Tilt Measurement,"IEEE Trans.Antennas Propagat Vol. AP-24, pp.115-119, Jan.1976
- 33 - Bahar,E., 1971 b "Radio Wave Methods for Geophysical Prospecting" Journal Geophy.Research, 70, No.26, 1921-28
- 34 - Barlow,H.M., Brown,J.,"Radio Surface Wave in International Monographs on Radio" 200 pp, Clarendon, Oxford 1962



- 35 - Cullen,A.L., "The Excitation of Plane Surface Waves" Proc.Inst.Elect.
Engrs.101, Part IV p.225-34, 1954
- 36 - Knight,P."Medium Frequency Propagation" AGARD CP-305 (1981)
- 37 - Burrows,C.S., "The Surface Wave in Radio Propagation over Plane Earth"
Proc.IRE Vol.25, No.2, p.219-229, Feb.1937
- 38 - Kay,A.F., "Scattering of a Surface Wave by a Discontinuity in Reactance"
IRE Trans.Antennas Propagat.AP-7, No.1 Jan.1959
- 39 - Canitez,N., "Mathematical Simulation in Resistivity Problems,"
Jeofizik Vol.IV No.3 August.1975
- 40 - Ott,R.H,Berry,L.A., "An Alternative Integral Equation for Propagation
over Irregular Terrain" Radio Science Vol.5, No.5.p.767-771 May 1970
- 41 - Hill,D.A.,Wait,J.R., "Ground Wave Attenuation Function for a Spherical
Earth with Arbitrary No.3, p.637-643 May-June 1980
- 42 - Cheung et.al."Geophysical Subsurface Probing with a Horizontal
Magnetic Dipole" IEEE Trans.Antennas and Propagat Vol.AP-24,
No.6, (1976)



ÖZGEÇMİŞ

Cahit CANBAY 1951 yılında Sivas'ta doğdu. İlkokulu Olkü İlkokulunda, ortaokulu Demir Ortaokulunda okudu. Sivas İlköğretim Okulunun ikinci sınıfından sonra Yüksek Öğretmen Okulu Hazırlık Lisesine seçildi. Y.O.O. Hazırlık Lisesinden sonra 1974'de İstanbul Üniversitesi Teorik Fizik Bölümünden mezun oldu. 1974 'de İ.D.M.M.A.'ne bağlı Vatan Mühendislik Yüksek Okulunda, Kadıköy Mühendislik Yüksek Okulunda asistan olarak çalıştı. 1976 'da Atatürk Eğitim Enstitüsü gece bölümünde görevli olarak ders verdi. 1982 'den beri Yıldız Üniversitesi Elektronik ve Haberleşme Bölümü, Elektromagnetik Alanlar, Mikrodalga Anabilim dalında Araştırma görevlisi olarak çalışmaktadır. 1982 yılında İ.T.Ü.Jeofizik bölümünde, 1983 'de O.D.T.Ü. Uluslararası Anten Propagasyon, Mikrodalga, Elektromagnetik sempozyumunda yüzey dalgalarının jeofizikte uygulanmasına ilişkin bildiriler sundu.

